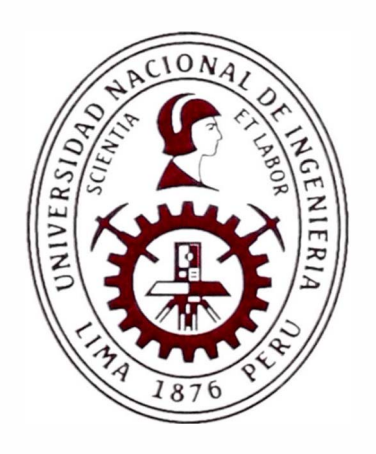
# Universidad Nacional de Ingeniería

Facultad de Ingeniería de Petróleo, Gas Natural y Petroquímica



## TRABAJO DE SUFICIENCIA PROFESIONAL

Diagnosticar y analizar integridad en tuberías de producción e inyección con herramienta multifinger caliper (MFC) para mejorar futuros retrabajos workover

Para obtener el Título Profesional de

Ingeniero de Petróleo y Gas Natural

Elaborado por

Wilfredo Richard Romero Chipana

© 0009-0003**-**2454-9364

Asesor

Ing. César Abraham Pure Núñez

© 0009-0008-8390-9899

LIMA – PERÚ 2024

#### **AGRADECIMIENTOS**

Comenzar en primer lugar, agradecer a Dios por acompañarme, guiarme y protegiéndome continuamente a lo largo de mi vida en los trabajos de alto riesgo.

En segundo lugar, a mis padres Antonia Chipana Choque y Santos Romero Gonzales, gracias a ellos por confiar y su apoyo incondicional, porque inculcaron disciplina, trabajo y valores elementales importantes como la educación superior y que me ayudaron en el logro de mis proyectos, objetivos y metas constantemente.

Agradezco mucho y de todo corazón a cada uno de los profesores de la Facultad de Ingeniería de Petróleo. Gas Natural y Petroquímica, y de mi casa de estudio alma mater Universidad Nacional de Ingeniería, por haber compartido conmigo todas sus experiencias vividas en el sector petrolero y gasífero y conocimientos de altísima calidad durante todos mis años de estudio.

Quiero agradecer a la empresa Equipetrol, que me brindó la oportunidad, el empoderamiento y confianza de conocer con mayor detalle exhaustivo en las operaciones de registro en la selva peruana y en plataformas costa afuera, lo cual me ayudó y consolido un enorme desarrollo como especialista de registros en los trabajos encomendados.

# **DEDICATORIA**

Al regalo más grande que Dios me supo entregar, mis padres, mi hijo y esposa, las personas más importantes de mi vida y que día a día me dieron más fuerzas y motivos para luchar con los desafios y salir adelante.

#### RESUMEN

En la selva peruana, la mayoría de los pozos presentan anomalías y afectaciones en la integridad de tubería de revestimiento de la producción e inyección, que pueden ser causados por diferentes factores al cual están expuestos tales como; cargas operacionales, propiedades mecánicas de los revestimientos y corrosión, llevando a que presenten afectaciones como; deformación, pandeo, ovalización y perdida de metal en revestimiento, entre otros.

La integridad de tubería en pozos de la selva peruana con la herramienta Multifinger Caliper (MFC) son eficientemente utilizados para diagnosticar, analizar, inspeccionar y monitorear el diámetro interno en la tubería de los pozos de producción e inyección. Esta herramienta ha mejorado potencialmente su fiabilidad, medición y precisión en 75% de efectividad en el desempeño y calidad de data obtenida. También para un mejor desarrollo y relación del registro de integridad de tubería (MFC) se está utilizando la tecnología de alambre, slickline, debido a que las condiciones de integridad del pozo han ido constantemente cambiando; por lo que estos cambios requieren ser conocidos y evaluados con tecnología de equipamiento y con herramientas eficaces; con esto se proporciona garantizar la continuidad operativa, alta fiabilidad, sensibilidad y calidad de data obtenida. El objetivo de este trabajo es diagnosticar, analizar, identificar y cuantificar estadísticamente de manera correcta cualquier perdida de metal y grado en porcentaje de corrosión en la tubería de revestimiento. También, realizar un análisis del hallazgo notable e importante en la geometría del pozo e interpretación de la data obtenida y generar un informe integral completo; así mismo del análisis; proponer, desarrollar y mejorar futuros retrabajos de "Workover". Finalmente, con la aplicación de esta tecnología (MFC) y el uso de un equipo de Slickline, se logra satisfacer la necesidad de vigilancia integral mecánica del pozo, además contribuir eficientemente la viabilidad técnicoeconómico en la técnica de corrida de esta herramienta (MFC) mediante operaciones seguras con Slickline.

#### **ABSTRACT**

In the Peruvian jungle, most wells present anomalies and damage to the integrity of the production and injection casing pipe, which can be caused by different factors to which they are exposed, such as; operational loads, mechanical properties of the coatings and corrosion, leading to damage such as; deformation, buckling, ovalization and loss of metal in coating, among others.

Pipe integrity in wells in the Peruvian jungle with the Multifinger Caliper (MFC) tool are efficiently used to diagnose, analyze, inspect and monitor the internal diameter in the pipe of production and injection wells. This tool has potentially improved it is reliability, measurement and precision by 75% effectiveness in performance and quality of data obtained. Also for a better development and relationship of the pipe integrity record (MFC), wire technology, Slickline, is being used, because the integrity conditions of the well have been constantly changing; Therefore, these changes need to be known and evaluated with equipment technology and effective tools; This ensures operational continuity, high reliability, sensitivity and quality of data obtained. The objective of this work is to correctly diagnose, analysis, identify and statistically quantify any metal loss and percentage degree of corrosion in the casing pipe. Also, perform an analysis of the notable and important finding in the geometry of the well and interpretation of the data obtained and generate a complete comprehensive report; likewise of the analysis; propose, develop and improve future of the "Workover" rework in the Peruvian jungle. Finally, with the application of this technology (MFC) and the use of wire, Slickline, it is possible to satisfy the need for comprehensive mechanical surveillance of the well, in addition to efficiently contributing to the technical-economic viability in the running technique of this tool (MFC). through secure operations with Slickline.

Key words: Corrosion, deformation, integrity, quality of data, Multifinger Caliper.

## PRÓLOGO

Mediante este trabajo he demostrado y desarrollado basándome en mis experiencias, formación y competencia profesionales realizadas durante los servicios e interacción continua en el departamento de ingeniería de la compañía Equipetrol y en los campo de la selva remota brindando todo tipo de servicio de registros a pozo entubado (Cased Hole) con la técnica Slickline como: Registros de producción con PLT (Production Logging Tool), registros de presión y temperatura, y la principal el registro de integridad de tubería (Multifinger Caliper de 56 brazos o 24 brazos) con el uso de la técnica Slickline durante la intervención de pozos productores e inyectores ya que ha sido un desafío y motivo significativo para complementar y sostener el servicio en las diversas campañas de pruebas de pozos (Well Testing) desarrolladas con éxito desde el 2012 al 2021 en los campos de la selva del Perú, en la cual está basado el trabajo de suficiencia profesional tomando como referencia los datos de calidad obtenidos, precisa, validando y verificando la calidad de la misma en cada uno de los brazos de la herramienta Multifinger Caliper de los pozos MO-01 y MO-02. Además, considerando las instrucciones y procedimientos para la secuencia operativa de pruebas de integridad de ascenso a lo largo de la tubería de producción (tubing en 4 ½ pulgadas o casing de 7 pulgadas), puede ser en pozo cerrado sin producción o pozo fluyendo en modo producción e inyección.

# INDICE DE TABLAS

Tabla 1. Composición molar de fluidos de producción.	3
Tabla 2. Relación de grados para Tuberías API.	22
Tabla 3. Propiedades Mecánicas de Tuberías de Revestimiento	25
Tabla 4. Grado de corrosión a partir de la Presión Parcial del CO2	27
Tabla 5. Especificaciones Técnicas de las Herramientas de Registro de Integridad de 1	<sup>r</sup> uheria
(MFC).	34
Tabla 6. Cuadro de grados según porcentaje de penetración en tuberías	43
Tabla 7. Cuadro de perdida de metal según porcentaje en tuberías	43
Tabla 8. Tubos con Penetración Notable en tubería de 7" (Máx. Pen%>10%)	47
Tabla 9. Tubos con notable perdida de metal en tuberia de 7'' (Máx. Perd. Metal%>5%	%)47
Tabla 10. Porcentaje de Penetración en toda la sección registrada	48
Tabla 11. Porcentaje de Pérdida de Metal en toda la sección registrada.	49
Tabla 12. Tabla con Identificación del % Penetración de la tubería Nº 50	52
Tabla 13. Tabla con Identificación del % Máxima Perdida de la tubería Nº 07	54
Tabla 14. Tabla con Identificación del % Máxima Perdida de la tubería Nº 60, 62, 65 j	v 66 55
Tabla 15. Valorización MFC56 para tubería de 7"	57
Tabla 16. Cuadro de grados según porcentaje de penetración en tuberías.	58
Tabla 17. Cuadro de perdida de metal según porcentaje en tuberías	58
Tabla 18. Porcentaje de Penetración en toda la sección registrada	60
Tabla 19. Porcentaje de Pérdida de Metal en toda la sección registrada	61
Tabla 20. Tabla de % Penetración de la tubería de grado "A", "B" y "C" (1 al 37)	63
Tabla 21. Tabla de % Penetración de la tubería de grado "A", "B" y "C" (38 al 76).	64
Tabla 22. Tabla de % Penetración de la tubería de grado "A", "B" y "C" (77 al 115)	65
Tabla 23. Tabla de % Penetración de la tubería de grado "A", "B" y "C" (116 al 128	3)66

Tabla 24. Tabla de % Perdida de metal de la tubería de grado "A" y "B" (1 al 37)	68
Tabla 25. Tabla de % Perdida de metal de la tubería de grado "A" y "B" (38 al 76	)69
Tabla 26. Tabla de % Perdida de metal de la tubería de grado "A" y "B" (77 al 11	5)70
Tabla 27. Tabla de % Perdida de metal de la tubería de grado "A" y "B" (116 al 1	28)71
Tabla 28. Resultados promedios de Máx.Pen% y Máx.Perd. Metal % en tubería 4.5	···
Tabla 29. Valorización MFC24 para tuberia de 4.5"	77
Tabla 30. Tabla completa de tubos en tubería de 7 pulgadas con MFC56	112
Tabla 31. Tabla completa de tubos en tubería de 4.5 pulgadas con MFC24	136

# **INDICE DE FIGURAS**

Figura 1. Equipo de Control de Presión en Superficie para Operación en pozo	10
Figura 2. Exteriores de la Cabina de Operaciones con Slickline.	
Figura 3. Interiores de la Cabina de Operaciones con Slickline.	11
Figura 4. Tuberia de Revestimiento (Casing).	12
Figura 5. Arreglos de Tubería de Revestimiento.	13
Figura 6. Efecto de Pandeo o Buckling.	18
Figura 7. Generación de Pandeo exceso de arena, formando "dogleg"	20
Figura 8. Factores que reflejan flexión	20
Figura 9. Cambios de esfuerzos que generan ovalización al revestimiento.	21
Figura 10. Cargas de Tensión	23
Figura 11. Efectos del Colapso en las Tuberías de Revestimiento.	23
Figura 12. Resistencia al Estallido.	24
Figura 13. Corrosión por CO:	26
Figura 14. Corrosión por H <sub>2</sub> S	27
Figura 15. Corrosión Electroquímica.	29
Figura 16. Efecto de la Corrosión por Picadura	29
Figura 17. Efecto de la Corrosión por Fisura o Grietas.	30
Figura 18. Principio de medición	31
Figura 19. Desplazamiento radial del brazo de medición.	32
Figura 20. Herramienta de registro de integridad de tuberia MFC 24 y MFC56	32
Figura 21. Visualización tridimensional 3D de la tubería con MFC24 o MFC56.	33
Figura 22. Centralizador con ruedas Roller Centralizer (CTL)	35
Figura 23. Unidad de alojamiento de Baterías Battery Pack Unit (BPU)	36
Figura 24. Herramienta de terminación de punta Bull Nose Tool (BNT):	36

Figura 25. Módulo de control de memoria Memory Controller (MRL).	36
Figura 26. Panel 99 de adquisición de data profundidad, velocidad y tensión.	37
Figura 27. Panel SLAB de adquisición de data profundidad, velocidad y tensión	37
Figura 28. Dimensiones básicas de la tubería.	38
Figura 29. Máxima penetración en tubería	39
Figura 30. Máxima perdida de metal.	41
Figura 31. Diagrama de completación pozo Cashiriari MO-01	44
Figura 32. Herramienta Multifinger Caliper 56.	45
Figura 33. Configuración de la sarta de herramienta (MFC56)	46
Figura 34. Análisis Penetración de toda la sección registrada.	48
Figura 35. Análisis Pérdida de Metal de toda la sección registrada	49
Figura 36. Vista General del intervalo evaluado en tuberia de 7"	50
Figura 37. Válvula de Seguridad de Subsuperficie ONYX-5 a 57.7 metros.	50
Figura 38. Perfil de porcentaje de penetración de la tubería de 7 pulgadas	51
Figura 39. Perfil de máximo porcentaje de pérdida de metal de la tuberia de 7 pulgadas.	53
Figura 40. Diagrama de completación pozo Los Angeles MÓ-02.	59
Figura 41. Análisis Penetración de toda la sección registrada.	60
Figura 42. Análisis Pérdida de Metal de toda la sección registrada	61
Figura 43. Perfil de porcentaje de penetración de la tubería de 4.5 pulgadas	62
Figura 44. Perfil de máximo porcentaje de pérdida de metal de la tuberia de 4.5 pulgado	ıs67
Figura 45. Multifinger Caliper 24 brazos.	72
Figura 46. Configuración de la sarta de herramienta (MFC24)	73
Figura 47. Vista General del intervalo evaluado en tubería de 4.5	74
Figura 48. Vista Identificación y creación en 3D del Registro de Ascenso	74
Figura 49. Tope No-go Seating Nipple 4-1/2" x 2.812" a 1210 metros	75

Figura 50. Intervalo desde 3130 pies hasta fondo el registro – MFC24	5
Figura 51. Pruebas Pre-operativas con Herramienta Multifinger Caliper	7
Figura 52. Pruebas Pre-operativas en Campo (MFC24 y MFC56)	7
Figura 53. Vista área de campo selva remota operaciones con MFC56	8
Figura 54. Registro de integridad de tubería de producción con MFC56	8
Figura 55. Detección por deformación en tubería con MFC56	9
Figura 56. Impresión rápida en Campo – Pozo MO-01 (MFC-56)9	1
Figura 57. Impresión rápida en campo – Pozo MO-02 (MFC-24)11	6

# INDICE

AGRADECIMIENT	OS	î
DEDICATORIA		ii
RESUMEN		
ABSTRACT		iv
PRÓLOGO		······································
INDICE DE TABLA	\S	vi
INDICE DE FIGUR.	AS	viii
INDICE		xi
CAPITULO I: INTR	ODUCCIÓN	1
1.1 Antecedentes	üinnain.	oese
1.2 Problemática	4 1	3
1.3 Formulación del	Problema	4
1.3.1 Problema Gene	eral	4
1.3.2 Problemas Esp	ecíficos	4
1.4 Objetivos de la I	nvestigación	4
1.4.1 Objetivo Gener	ral	4
1.4.2 Objetivos Espe	ecíficos	5
1.5 Justificación de l	la Investigación	5
1.6 Identificación de	· Variables	6
1.6.1 Variables Indep	pendientes	6
1.6.2 Variables Depe	endientes	6
CAPÍTULO II: MAI	RCO TEÓRICO Y CONCEPTUAL	7
2.1 Marco Teórico		7
2.1.1 Antecedentes d	le los revestimientos y/o tuberías de producción	7
2.1.2 Operación con	unidad Slickline	8
2.1.2.1	Funcionamiento	9
2.1.2.2	Aplicaciones:	
2.1.2.3	Ventajas:	11
2.1.3 Tubería de Rev	estimiento (Casing)	
2.1.4 Tubería Condu	ctora	
2.1.5 Tubería Superf	īcial	
2.1.6 Tubería Interm	edia	14

2.1.7 Tubería	de revestimiento corta (liner)	15
2.1.8 Tuberia	de producción o tubing	16
2.1.9 Cargas C	Operacionales en los Revestimientos	17
2.1.10	Cargas Generadas por el Yacimiento.	18
2.1.11	Propiedades mecánicas de los revestimientos	21
2.1.12	Herramienta de registro de Integridad de Tuberia (Multifinger Caliper)	30
2.1.13	Principios de medición Multifinger Caliper	31
2.1.14	Importancia de los registros de integridad de tubería.	32
2.1.15	Ventajas de la herramienta de integridad de tubería	35
2.1.16	Herramientas de la sarta de registro de integridad de tuberia	35
2.1.16.1	Herramienta de desplazamiento	35
2.1.16.2	Herramienta de almacenamiento para bateria	36
2.1.16.3	Herramienta de terminación de punta	36
2.1.16.4	Herramienta de almacenamiento y/o comunicación	36
2.1.16.5	Paneles de adquisición de data en superficie	37
2.2 Marco Čor	nceptual	38
2.2.1 Dimension	on de la Tuberia:	38
2.2.2 Máxima	penetración de la tuberta	39
2.2.3 Máxima	perdida de metal de la tubería	41
CAPÍTULO II	I: DESARROLLO DEL TRABAJO DE SUFICIENCIA PROFESIONAL	43
Fase 1 - Consid	deraciones iniciales caso de estudio integridad pozo Modelo 01 (MO-01)	43
Fase 2 - Tablas	s de grados en función de porcentaje de penetración y perdida / corrosión	43
Fase 3 - Esque	ma de Completación para toma de registro de integridad (MFC56)	44
Fase 4 - Esque	ma de la Sarta de Herramienta (MFC56)	45
Fase 5 - Anális	is e interpretación del registro de integridad de tubería	47
Fase 6 - Anális	is de Penetraciones vista en la tuberia 7"	48
Fase 7 - Anális	is de corrosión en tuberia 7"	48
Fase 8 - Princij	pales hallazgos del registro de integridad de tuberta	49
Fase 9 - Barras	estadísticas de la tuberia de 7 pulgadas con MFC56	51
Fase 10 – Presi	upuesto técnico-económico del registro de integridad de tuberia 7 pulgada	s con
MFC56		56
Fase 1 - Consid	deraciones iniciales caso de estudio integridad pozo Modelo 02 (MO-02)	58
Fase 2 - Tablas	de grados en función de porcentaje de penetración y perdida / corrosión	58
Fase 3 - Esque	ma de Completación para toma de registro de integridad (MFC24)	59

Fase 4 - Barras estadísticas de la tuberia de 4 ½ pulgadas con MFC24	62
Fase 5 - Esquema de la Sarta de Herramienta (MFC24)	72
Fase 6 - Análisis e interpretación del registro de integridad de tubería	73
Fase 7 - Principales hallazgos del registro de integridad de tubería	74
Fase 8 - Presupuesto técnico-económico del registro de integridad de tubería 4 ½ p	ulgadas con
MFC24	
CAPITULO IV: CONCLUSIONES Y RECOMENDACIONES	78
CAPÍTULO V: REFERENCIAS BIBLI OGRÁFICA	80
CAPÍTULO VI: ANEXOS	. 85

## CAPITULO I: INTRODUCCIÓN

#### 1.1 Antecedentes

Kinley (1988), trabajó en el "Diseño de una herramienta mecánica en integridad de tubería de 30 brazos de medición MegaData Caliper 30" para detectar la corrosión en un pozo de tubería 10-3/4 pulgadas de diámetro y desviación de 23 grados en Texas", se propone mejoras para la herramienta con el fin de maximizar la cobertura interna en 360 grados, que trabaje en un medio ácido (H<sub>2</sub>S), que funcione en lodo y que trabaje con Slickline, sin limites de temperatura y presiones conocidas, para monitoreo y medición.

Maxted et al. (1995), trabajó en el "Desarrollo y en los resultados de pruebas de campo de la herramienta de integridad Multifinger Caliper de 40 brazos de medición en el marco del proyecto del sector danés del Mar del Norte, para una evaluación precisa de la condición tubular en pozos de producción e inyección", se propone que este diseño esta para brindar cobertura, resolución y precisión mejorada, en cualquier fluido, con respecto a la tecnología anterior de 30 brazos de medición, así como proporcionar al ingeniero de campo una respuesta rápida en el sitio del pozo y de fácil mantenimiento seguro.

Billingham et al. (2012), trabajó en la "Relación y el valor de aporte de medición de los dedos múltiples con la herramienta de integridad Multifinger Caliper (MFC)", se propone un programa de monitoreo de estudios extensos de la corrosión en tuberías de producción e indicó que las terminaciones de acero al carbono no eran adecuadas para la producción a largo plazo en este entorno, debido a la identificación en el análisis de composición de gas producido del campo Bangora de Tullow Oil, a partir del pozo de descubrimiento Bangora 1 en la que se identificó que el CO<sub>2</sub> estaba presente en concentraciones de 0.6% en moles.

Xi'an (2019), trabajó en la "Mejora y desarrollo de la herramienta de integridad de tubería de medición Multifinger Caliper (MFC), para detectar e identificar anomalias y defectos en la tubería de revestimiento", se propone implementar con 24 y 56 brazos de

medición radial, trabajar en pozos desviados a 60° con Slickline, que trabaje en condiciones dióxido de carbono (CO<sub>2</sub>) y ácido sulfhídrico (H<sub>2</sub>S), con efectividad del 75%, también complementar con un programa integral y versátil tridimensional (3D), para visualización completa y analizar el volumen creciente de datos en la geometría de la tubería de revestimiento.

Rivas et al. (2016), nos indica que los servicios con Slickline son usados en la toma de profundidad de pozos, detectar tope de tapones de cemento, recuperación de válvulas y optimización de la producción. Salinas (2017), los servicios con Slickline es una de las técnicas más antiguas y seguras utilizadas en la industria petrolera. Enfocadas al reacondicionamiento y terminación de pozos. La empresa de servicios petroleros Equipetrol (2019), indica que la unidad de Slickline ha cubierto operaciones de registros memorizados de presión y temperatura, Production Logging Tool (PLT), Multifinger Caliper (MFC) con el fin de evaluar los pozos y posiblemente destacar su principal ventaja de obtener menores costos y operaciones seguras y menor contaminación medioambiental.

Kotlar (2020), indica que las herramientas de tecnología de diseño Multifinger Caliper (MFC) o calibradores de múltiples dedos de 24 y 56 brazos de medición siguen siendo uno de los medidores continuos y flexibles para el monitoreo, obtener diámetros internos y estadístico de la integridad de tuberías y revestimientos. A pesar de los avances en electrónica y diseño mecánico, los principios de funcionamiento y de respuesta eléctrica de la herramienta (MFC) siguen siendo los mismos.

#### 1.2 Problemática

En la selva peruana, el diagnostico, análisis y monitoreo de la corrosión interna en las tuberías de revestimientos, tuberías de producción o tuberías de inyección, es un factor clave a fin de detectar y remediar, para extender el tiempo de vida de los pozos de alta producción e inyección. La corrosión se debe a la composición de fluidos de producción principalmente al componente dióxido de carbono ( $C_2O$ ). A continuación, se muestra en la **Tabla 1**:

 Tabla 1.

 Composición molar de fluidos de producción.

Composición promedio molar de fluidos de producción % Molar promedio Componentes 1.62%  $N_2$ Nitrógeno 0.32%  $CO_2$ Dióxido de carbono C1Metano 84.20% C2 Etano 7 50% C3 2 90% Propano 0.40%iC4 i-Butano 0.80%nC4 n-Butano 0.32% iC5 i-Pentano  $0.31^{\circ}$ nC5 n-Pentano 0.41% C6 Hexanos 1.21% C7+Heptanos  $100^{\circ}$  o Total

Fuente: Tomado del informe de reservas CAMISEA (2012).

Ochoa Vargas (2008), indica que los revestimientos de pozos son de gran importancia para el desarrollo de cualquier proyecto de exploración y producción de fluidos, ya que básicamente representan una estructura base que soporta la estructura rocosa del pozo y por la cual ingresan diversas herramientas de registros, pero no indica que tipo de herramienta de medición de integridad adecuada ingresar en la tubería de producción.

Palma Pacheco (2019), considera que primero antes, se debe considerar y definir un plan de viabilidad en la herramienta para diagnosticar, analizar y monitorear la corrosión, con

el fin de reducir el error o incertidumbre de data obtenida, reducir costos operativos, malas prácticas asociadas de retrasos programados al diagnóstico y monitoreo del revestimiento de producción y cumplir con la identificación de los mecanismos de daño interno.

Ajgou et al. (2019), proponen un sistema de gestión de la corrosión que permita la mejora del diagnóstico y monitoreo de integridad de tubería del pozo, mejora en el análisis individual por tubería y los cambios circunferenciales de diámetros internos precisos.

Zeghlache et al. (2020), plantean una gestión de diagnóstico, análisis y monitorización de integridad de pozos bajo un enfoque global, mejorando la inversión sustancial de integridad de pozos y, en consecuencia, maximizar el ciclo de vida y eficiencia del pozo.

#### 1.3 Formulación del Problema

#### 1.3.1 Problema General

¿Cuál es la importancia clave de conocer, de modo preciso y consistente, el diagnosticar y analizar la integridad de tuberías de producción e inyección con herramienta Multifinger Caliper (MFC) para mejorar futuros retrabajos workover?

#### 1.3.2 Problemas Específicos

¿De qué forma diagnosticar y analizar la integridad de tuberias de producción e inyección con herramienta Multifinger Caliper (MFC) para mejorar futuros retrabajos workover?

¿Cuál es la ventaja del uso de la herramienta Multifinger Caliper (MFC) para mejorar futuros retrabajos workover?

## 1.4 Objetivos de la Investigación

#### 1.4.1 Objetivo General

Realizar una campaña de pozos candidatos con el propósito de diagnosticar y analizar la integridad en tuberías de producción e inyección con herramienta Multifinger Caliper (MFC) para mejorar futuros retrabajos workover.

#### 1.4.2 Objetivos Específicos

Evaluar la integridad de tubería de producción e inyección con herramienta Multifinger Caliper (MFC) para mejorar futuros retrabajos workover.

Usar la herramienta Multifinger Caliper (MFC) para mejorar futuros retrabajos workover.

## 1.5 Justificación de la Investigación

La aplicación de nuevas tecnologías mejoradas de registro de integridad de tubería MFC en modo memoria con el uso Slickline para el diagnóstico y análisis de los revestimientos de los pozos en la selva peruana permite evaluar y determinar las condiciones internas de la tubería, así mismo identificar características de penetración, perdida de metal, corrosión y geometría integral de visualización en 3D a lo largo de todo el registro de ascenso y proponer pozos candidatos para mejoras de futuros retrabajos de workover.

También resaltar que esta tecnología ha sido aplicada en pozos altamente desviados con dogleg de 60 grados, logrando con éxito en campañas y proyectos de Workover en la selva peruana para pozos de petróleo y gas e inyectores, por su ventaja principal y aplicación de esta herramienta de registro de integridad de tubería (MFC) que permite medir los diámetros máximos y mínimos a tal precisión radial, siendo una característica metrológica especial sensible a los cambios de diámetro interno. Además, los brazos de medición se abren mediante un motor de potencia interno propio de la herramienta con alimentación de batería alojada como parte de la sarta de herramientas; lo que le hace muy versátil operativamente y económico para las operaciones de trabajos con el uso de Slickline.

Otras de las ventajas importante de la herramienta (MFC) una vez obtenida la data, esta es procesada en campo y posteriormente es analizada para tomar decisiones claves presentes o proponer mejoras a futuro retrabajos de Workover. Finalmente, con la herramienta (MFC) por

ser un conjunto de herramientas menores, son de fácil traslado en zonas de difícil acceso en los campos en la selva peruana, lo que permite que la logística sea económicamente viable.

## 1.6 Identificación de Variables

#### 1.6.1 Variables Independientes

- Diámetros internos de la tuberia y drift.
- Diámetro de completación y estado mecánico del pozo.
- Desviación y geometría del pozo.
- Historial de Producción e inyección del pozo (Petróleo, agua, gas y condensado).
- Intervalo de registro de la prueba de integridad durante ascenso de la herramienta Multifinger Caliper (MFC).

# 1.6.2 Variables Dependientes

- Localización de accesorios del pozo (Nipples No-go, Camisas SSD, Packer, entre otros).
- Tiempo de Operación durante la prueba de integridad de tuberia (Main log)
- Presión de fondo del pozo.
- Programa Software View Well 3D (geometria 3D de la tuberia).
- Programa Warrior System (Profundidad, velocidad y tensión).

# CAPÍTULO II: MARCO TEÓRICO Y CONCEPTUAL

#### 2.1 Marco Teórico

## 2.1.1 Antecedentes de los revestimientos y/o tuberías de producción

En la industria del Petróleo los revestimientos y/o tuberías de producción son de vital importancia porque se utilizan en la perforación, completación de pozos y producción de petróleo, según la empresa Tenaris, 16 millones de toneladas al año de Oil Country Tubular Goods (OCTG) se usan en la industria petrolera y 10 millones de toneladas son usadas en líneas de flujo (pipe line). La misma que se conecta entre si mediante conexiones roscadas y acoplamientos (Tenaris, 2013) por esta razón deben tener el grado de máxima atención.

Coronel & Ortiz (2018), la gran mayoría de los pozos presentan afectaciones en los revestimientos y/o tuberías de producción que pueden ser causados por agentes corrosivos como el dióxido de carbono C<sub>2</sub>O y ácido sulfhídrico H<sub>2</sub>S, también por diferentes y notables factores a la que están expuestos en el ambiente, como: Cargas operacionales, corrosión llevando consigo a que presenten afectaciones, entre ellas podemos notar: Deformaciones, pandeo, ovalización, corrosión, fisuras o agrietamiento entre otras.

Este trabajo de suficiencia profesional se basa principalmente en el monitoreo de la integridad de tubería con herramienta (MFC), esto por las afectaciones que pueden ocurrir en el diámetro interno de la tubería de producción o de revestimiento durante su ciclo de producción del pozo, las cuales pueden llevar a problemas operacionales, deterioro y/o fin del ciclo de vida útil de producción, si no se detecta a tiempo. Entonces es importante identificar una descripción técnica profesional rápida, para luego recomendar y proporcionar alternativas de solución que pueda remediar el problema encontrado.

En el diagnóstico, inspección y principalmente en el monitoreo de los diámetros internos en las tuberías de producción o revestimientos, se usa la herramienta de registro de integridad (MFC), dicha herramienta trabaja en modo memoria, y ha sido utilizada con éxito

en los pozos más desviados, en la selva peruana con unidad de Slickline, lo que ha permitido mitigar la evaluación de la corrosión de la tubería de fondo de pozo; además, la detección de perdida de metal que conduce a una resistencia mecánica o falla estructural.

Zeghlache et al. (2020) recomienda que la nueva tecnologia (MFC) tiene su principal ventaja evaluar múltiples barreras en el revestimiento o tubería de los pozos con la unidad Slickline, que son de vital importancia para las evaluaciones rentables futuras, esto permite por ser equipos menores un ahorra de tiempo logístico en traslado, cosa que no sucede para equipos mayores de perforación y unidades de wireline en trasladar de una locación a otra para evaluar las tuberías de revestimiento de producción, siendo esta última generen altos costos y riesgos.

#### 2.1.2 Operación con unidad Slickline

Salinas & Landeta (2017) la unidad Slickline cable de acero son parte integral en la industria petrolera enfocadas directamente al reacondicionamiento y terminación de pozos. La primera operación realizada con esta técnica Slickline fue hecho por Conrad & Marcel Schlumberger en 1927 y a lo largo de la década de 1930.

Son operaciones realizadas en el pozo por medio de un cable de acero no conductor, operaciones independientes de su profundidad y condiciones del pozo, y también por medio de un cable de acero de diferentes diámetros (0.082 pulgadas, 0.092 pulgadas, 0.180 pulgadas, 0.125 pulgadas, 0.160 pulgadas) y cuentan con 23,000 pies de longitud enrollado en un tambor de fábrica. Además, pueden llegar profundidades hasta 22,500 pies o dependiendo de las condiciones geomecánicas y estado del pozo, que soportan el peso de la sarta de herramientas completas, y dependiendo del tipo de operaciones que se vallan a realizar. El cable de acero no conductor se encuentra montado mediante un tambor (drum o double drum) en la misma unidad de operaciones Slickline, para la prestación del servicio a pozos Onshore & Offshore.

#### 2.1.2.1 Funcionamiento

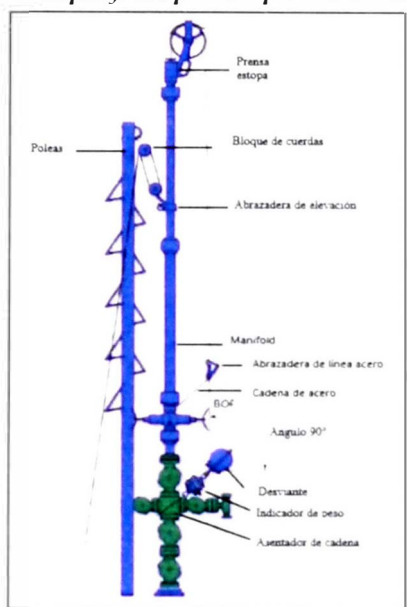
La unidad de Slickline, es accionada por un sistema hidráulico, sobre dicha unidad va montado un tambor o doble tambor en el cual va enrollado un cable de acero no conductor, este cable pasa por un sistema de poleas y a través de un lubricador antes de conectarse a la sarta de herramientas y así poder ser ingresadas hacia el fondo del pozo para realizar la correspondiente operación.

En los trabajos con unidad de Slickline al bajar las herramientas al pozo con presión se requiere un conjunto de equipos de control de presión en superficie y estas son:

- Martin Decker o indicador de Peso (Weight indicator).
- Indicador de profundidad (Odómetro)
- Prensa estopa (Stuffing box).
- Conjunto de lubricadores.
- Preventor de reventones (Blow-out preventer "BOP" Simple, doble o triple).
- Brida adaptadora (Flange).
- Abrazadera de elevación (Lifting clamp).
- Polea de piso desviante (Hay Pullley).

También contar con equipo de izaje (Grúa telescópica, Grúa brazo Hidráulico, Gin Pole, u otros). A continuación, se muestra en la **Figura 1** el equipamiento de trabajo para Slickline.

**Figura 1.** *Equipo de Control de Presión en Superficie para Operación en pozo.* 



Fuente: Tomado del Slickline Operations Training Manual (2009).

**Figura 2.** *Exteriores de la Cabina de Operaciones con Slickline.* 



Fuente: Elaboración Propia.

**Figura 3.** *Interiores de la Cabina de Operaciones con Slickline.* 



Fuente: Elaboración Propia.

## 2.1.2.2 Aplicaciones:

Slickline tiene un amplio rango de procedimientos que se pueden realizar al llevar a cabo operaciones de este tipo entre las operaciones más comunes se tiene:

- Registro de presión y temperatura en modo memoria Memory gauges.
- Registro de corrosión MFC24 o MFC56 en modo memoria.
- Registro de producción PLT en modo memoria.
- Instalación y recuperación de válvulas gas lift, plunger lift, standing valve.
- Calibración y chequeo de tubería de producción.
- Sentado y recuperación de tapones.
- Operaciones de corte de parafina-limpieza de pozo debido a la acumulación o incrustación de parafina en la tubería de producción.
- Operaciones de apertura y cierre de camisas de circulación.
- Verificación y toma de profundidad en fondo de pozo.

## 2.1.2.3 Ventajas:

Las operaciones de Slickline surgen como respuesta a la creciente necesidad en:

- Disminuir costos, esto se refleja en el valor de equipos y herramientas de operación.
- Operaciones menos riesgosas, no hay necesidad de sacar tubería del pozo, lo único es alivianar la presión en la válvula del lubricador.

- Herramientas livianas y de menor tamaño, lo que implica que el transporte sea económico al utilizar medios menos costosos.
- Menor cantidad de personal, lo que implica que estas operaciones se configuran en tiempos cortos.

#### 2.1.3 Tubería de Revestimiento (Casing)

Es aquella tubería de acero de pared, donde el diámetro define su geometría y espesor del cuerpo que lo determina, en función a sus longitudes que varian entre 16 a 40 pies, tal como lo especifica (Martinez, 2011). Estas tuberías de revestimiento se encuentran regidas por el Instituto Americano del Petróleo (API) la cual es la encargada del desarrollo de normas para procedimientos, herramientas y equipos de operación en pozos de petróleo, se encargan de la certificación a fabricantes de equipos de producción y perforación. (Publications, Standards, and Statistics Overview, 2015) (Martinez, 2011). Más específicamente por la API 5CT. Specification for casing and tubing. (Especificación para tuberías de revestimiento y producción).

Figura 4.
Tuberia de Revestimiento (Casing).



Fuente: Elaboración Propia.

La tubería de revestimiento se basa en cualquier sarta de tuberías que se sitúen dentro del pozo, conectándose una a otra para formar un tubo continuo hasta la profundidad deseada. Son utilizadas para mantener la estabilidad del hueco, aislar y controlar fluidos y presiones de

formación con ayuda del cemento que se ubica en el anular exterior entre la tubería y la formación perforada, como lo sugiere (Rabia, 1987).

Una forma de clasificar las tuberías de revestimiento está basada en su tamaño nominal, según las especificaciones de (Martinez, 2011) tenemos:

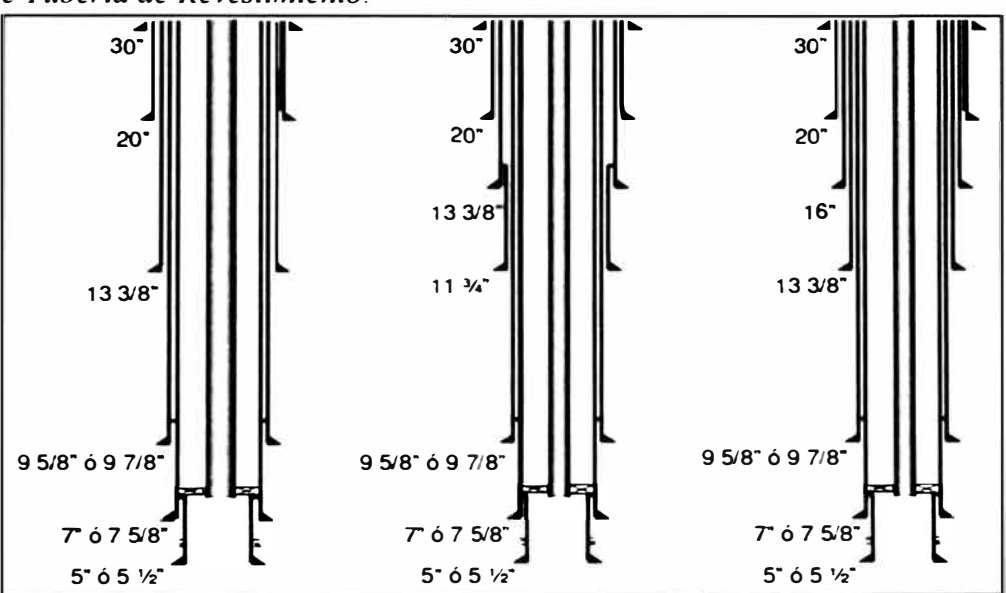
Tubería de revestimiento conductora entre 20 y 18-5/8 de pulgadas.

Tubería de revestimiento de superficie varía entre 13-3/8 y 11-3/4 de pulgadas.

Tubería de revestimiento intermedia varia de 10-3/4 a 9-5/8 de pulgadas.

Tubería de revestimiento corta (liner) por lo general su diámetro es 4-1/2 de pulgadas.

Figura 5.
Arreglos de Tubería de Revestimiento.



Fuente: Diseño de tuberías de revestimiento Tenaris Tamsa (2009).

#### 2.1.4 Tubería Conductora

Su principal función es proporcionar soporte a formaciones no consolidadas, perdidas de circulación en formaciones porosas de baja profundidad y prevenir posibles derrumbes, proteger zonas acuíferas superficiales de la contaminación con los fluidos de perforación, revestir cualquier reservorio poco profundo de gas y proveer un sistema de circulación para el fluido de perforación, según (Martinez, 2011).

#### 2.1.5 Tubería Superficial

Es un componente critico en la ingeniería de perforación de pozos, diseña para instalar conexiones mecánicas y/o hidráulicas superficiales de control, al tiempo que proporcionar protección al pozo. Su instalación es esencial para separar flujos de agua y zonas de perdida de lodo cercanas a la superficie. Según Castro et al, (2011), estas tuberías se emplean a profundidades que varían de 1640.42 pies y 328.084 pies, con el diámetro seleccionado según la profundidad total del pozo.

Funciones Principales de la tubería superficial:

- Prevenir la contaminación de yacimientos de agua dulce: Esto es crucial para la protección ambiental y la preservación de recursos hídricos.
- Suministro de un gradiente de fractura suficiente; Esto permite la perforación segura del siguiente tramo del pozo, asegurando la integridad estructural durante la operación.
- Resistencia al peso del resto de las tuberías: Dado que la tubería superficial debe soportar el peso de las tuberías adicionales que se colocaran posteriormente, se cementa hasta la superficie para proporcionar la estabilidad y soporte necesarios.

La cementación de la tubería superficial hasta superficie es una práctica estándar que asegura la integridad estructural del pozo y previene la migración de fluidos entre diferentes zonas geológicas.

#### 2.1.6 Tubería Intermedia

Es un componente esencial en la perforación de pozos, utilizada principalmente para aislar zonas con presiones normales, derrumbes, flujos de agua y perdidas de circulación. Esta tubería sirve como una capa de protección adicional para el pozo descubierto, conforme a lo descrito por Castro et al. (2011).

Principales características de la tuberia intermedia:

- Control del pozo en zonas de presiones anormales: La tubería intermedia facilita el manejo del pozo cuando se encuentran formaciones con presiones superiores o inferiores a lo esperado, mejorando la seguridad y estabilidad del pozo.
- Aislamiento de formaciones problemáticas: Permite aislar formaciones que puedan causar problemas durante la perforación, como aquellas con flujos de agua salada o que contaminan el fluido de perforación, protegiendo así la integridad del pozo y la calidad del fluido de perforación.
- Facilita la reducción de la densidad del lodo: Permite disminuir la densidad del lodo de perforación para perforar zonas con presiones normales ubicadas debajo de formaciones presurizadas, optimizando el control de presión y la eficiencia de perforación.

## 2.1.7 Tubería de revestimiento corta (liner)

Se utiliza para evitar la instalación de una sarta desde la superficie hasta el fondo del pozo descubierto. Según Castro at al. (2011), estas tuberías de revestimiento se cementan en toda su longitud.

Principal función de la tubería de revestimiento corta:

- Reducción de cargas excesivas: Al colgar el liner del revestimiento intermedio o de producción, se disminuyen las cargas generadas sobre el tope del revestimiento, mejorando la estabilidad del pozo.
- Disminución de la tensión en la tubería de revestimiento: Debido a su menor longitud, el liner reduce la tensión en la tubería de revestimiento, lo que contribuye a una mayor durabilidad y seguridad.
- Remediación de problemas de integridad: El liner puede ser utilizado para solucionar problemas de integridad en los revestimientos anteriores, mejorando la protección y aislamiento del pozo.

- Acortamiento de tiempos de instalación: Al instalar secciones de tuberías corta, se reduce el tiempo para colocar el revestimiento, incrementando la eficiencia operativa.
- Reducción de volúmenes de cemento: Al no requerir cementación hasta la superficie, se disminuyen los volúmenes de cemento utilizados, lo que resulta en una operación más eficiente y económica.

#### 2.1.8 Tubería de producción o tubing

Esta tubería de producción es utilizada para aislar zonas productoras, sostener o contener presiones de formación y también para evitar o prevenir posibles intercambios de fluidos entre zonas. Tiene que estar diseñada para soportar altas presiones, tales como, las generadas en un proceso de cañoneo, fractura e incluso de cementación, según lo plantea (Flórez & Hernández, 2014).

Teniendo en cuenta de que las tuberías te revestimiento tienen una longitud limite, se hace necesario el uso de roscas que sirven de unión entre una y otra junta. Estas roscas se usan (Morales, 2010) para mantener unidas mecánicamente dos piezas de tubería y para mantenerlas como un solo elemento. Las cuales están regidas por la norma API 5B Specification for threading, gauging and thread inspection of casing, tubing and pipe line threads (Especificación para el roscado, calibración e inspección de roscas para tubería de revestimiento, producción y tubería de línea de roscados). (Morales, 2010).

En las operaciones petroleras se debe cuidar la integridad del pozo ya sea de intercambio de fluidos entre la formación y los fluidos de perforación, ya sea de derrumbes ocasionados por formaciones no consolidadas, entre muchos más inconvenientes que se presentan durante la perforación, completamiento y posterior vida productiva del pozo, por tal razón se hace necesario ubicar una tubería de revestimiento dentro del pozo para darle solución a dichos problemas (Vargas, 2008). Es por esto necesaria la determinación de factores que afectan a los revestimientos y la investigación acerca de los tipos de daño que se generan en

los mismos; en el presente trabajo se abordarán los principales factores y tipos de daño que se han estudiado, para este fin se realizará una revisión abordando los principales términos, definiciones, y estudios acerca de la temática en cuestión (Vargas, 2008).

## 2.1.9 Cargas Operacionales en los Revestimientos

Las cargas a las cuales los revestimientos están sometidos se pueden identifican tres categorías, según (Vargas, 2008):

- Diferencia de presión a través de la sección transversal.
- Cargas axiales y tangenciales.
- Concentración de esfuerzos debido a la deformación asociada a la curvatura de los pozos (Vargas, 2008).

Los revestimientos se ven sometidos a esfuerzos, los cuales son el resultado de la acción de presiones de formación y aplicados sobre la cara del revestimiento. Estas tuberias reciben cargas de presiones normales presentes en los espacios porales de la roca. Sin embargo, existen casos en los que formaciones de muy baja permeabilidad ocasionan presiones anormales en zonas que pueden afectar al revestimiento (Vargas, 2008).

Según Carrilo & Lopez (2014) las tuberias de revestimiento experimentan diferenciales de presión debido al aumento de presión de fluidos generados por el mal diseño del completamiento o un proceso de recobro secundario como lo es la inyección de agua.

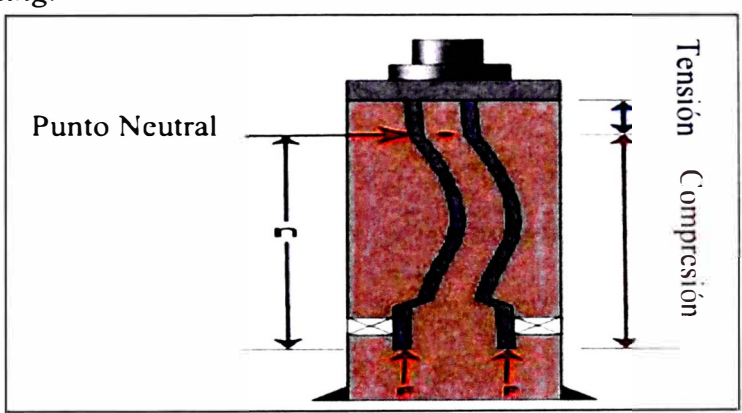
Las cargas axiales son generadas luego de la instalación de la tubería, las cuales se dividen en dos clases según su origen; La primera está relacionada con el aumento de tensión/compresión en una zona donde no soporte el proceso de instalación del revestimiento y cargas no relevantes debido a la sección colgada de *liners*; La segunda clase tiene que ver con el cambio del medio en el cual se instalaron los revestimientos, numerosos casos de fallas de los revestimientos están atribuidos por la acción de tensión y compresión los cuales se generan debido al efecto del cambio de la presión y temperatura (Carrilo Cataño & Lopez

Toledo, 2014). Un aumento o disminución de la temperatura del yacimiento puede causar un alargamiento o reducción en la longitud del revestimiento induciendo esfuerzos de tensión o compresión si sus extremos están fijos, cambios de presión interna en el revestimiento hace que aumente la sección trasversal presionando las caras de la tubería, lo cual genera efecto donde haya cambios de diámetro (Carrilo Cataño & Lopez Toledo, 2014).

En la evaluación de los efectos a los que se expone el revestimiento, se hace importante para la determinación de las posibles fallas que se puedan generar y las posibles soluciones que se pueden encontrar a las mismas (Carrilo Cataño & Lopez Toledo, 2014). Por lo tanto, entre las afectaciones más comunes presentes en las tuberías de revestimiento debido al efecto de las cargas operacionales tenemos:

Desgaste por pandeo Según: Flórez & Hernandez (2014) la presencia de los múltiples factores a los que se somete la tubería de revestimiento en pozo permite que se presente un fenómeno conocido como pandeo o *buckling* (**Figura 6**).

**Figura 6.** *Efecto de Pandeo o Buckling.* 



Fuente: Tomado de PerfoBlogger (2016), cambio en la longitud de tubería debido al buckling.

## 2.1.10 Cargas Generadas por el Yacimiento

Cuando el yacimiento está en producción la variación de las propiedades petrofísicas es inevitable debido al fenómeno de la depleción (disminución de la presión de poro) que induce a una compactación (disminución del volumen del yacimiento) de la roca. Llevando de

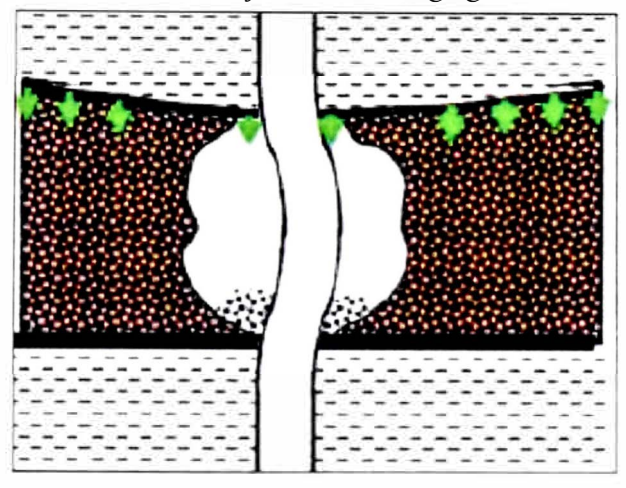
esta manera a la deformación del yacimiento generando el cambiando de dirección de los esfuerzos de manera local, debido a que la tubería del revestimiento se encuentra adherida a la formación gracias a la capa de cemento, existe una transferencia de esfuerzos y deformaciones inducidos por la formación hacia la tubería, la cual termina deformándose por la menor resistencia que tiene en esta zona gracias a las perforaciones hechas en la fase de cañoneo. Como lo sugiere (Escobar, 2013).

Entre las cargas que afectan a los revestimientos se encuentran:

- Altos gradientes de esfuerzos en situ: Los cambios en las tensiones naturales del subsuelo pueden ejercer presiones significativas sobre los revestimientos.
- Variación de la presión de poro: Fluctuaciones en la presión dentro de los poros de la roca circundante pueden impactar la estabilidad del revestimiento.
- Compactación y subsidencia: La compactación de la formación y el subsiguiente asentamiento del terreno pueden causar desplazamiento y presiones adicionales sobre el revestimiento.
- La deformación por pandeo: Es un fenómeno que puede ser inducido por cargas operacionales o por cargas generadas por el yacimiento. Según Escobar (2013), esta deformación ocurre debido a la perdida de soporte lateral por parte de la formación, a menudo derivada de la producción de sólidos, generalmente arenas poco consolidadas con alta permeabilidad y porosidad. Además, una mala cementación que deja espacios vacíos puede agravar el problema, creando cavidades en la cara exterior del revestimiento que son explotadas por las fuerzas compresivas resultantes de la compactación del yacimiento.

Figura 7.

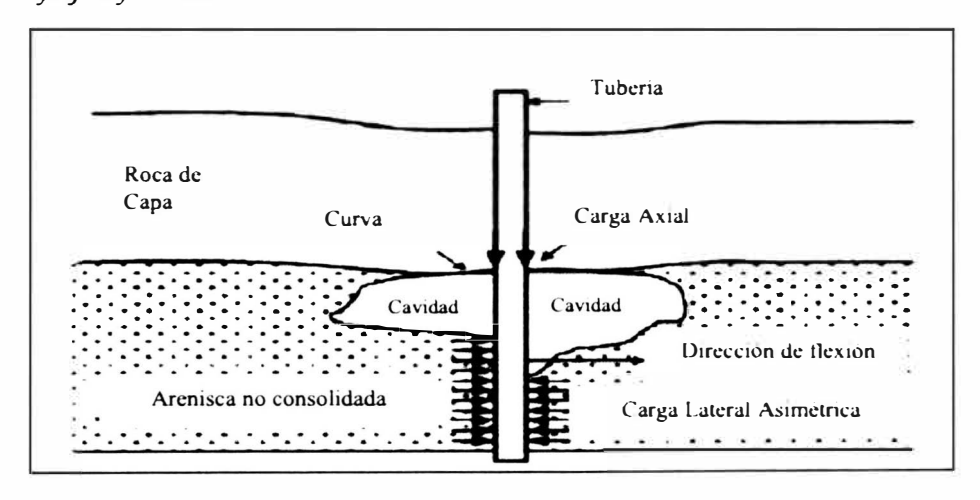
Generación de Pandeo exceso de arena, formando "dogleg".



Fuente: Gutiérrez Escobar, S. (2013) Identificación de problemas de colapso en revestimiento de pozos, ocasionado por efectos geomecánicas.

La deformación por flexión: En la tubería de revestimiento es otro tipo de formación que puede ser causada tanto por variaciones en los esfuerzos axiales como por factores geomecánicas. Según Escobar (2013), esta deformación puede ser incluida por anomalías en la zona, como fallas preexistentes, formaciones salinas con fácil fluencia de roca o arena poco consolidadas. Estos factores pueden provocar movimientos continuos en la roca, que a su vez generan esfuerzos en la tubería de revestimiento.

Figura 8.
Factores que reflejan flexión.

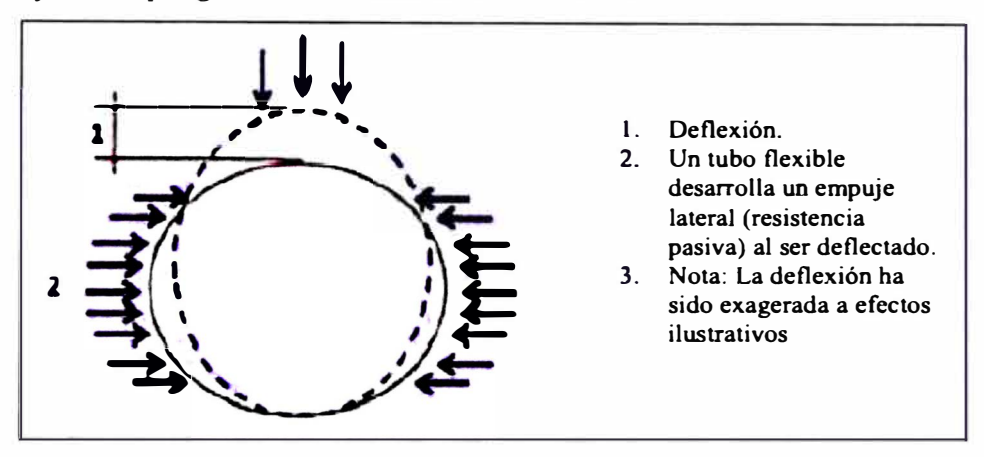


Fuente: Gutiérrez Escobar, S. (2013) otra Identificación de problemas de colapso en revestimiento de pozos, ocasionado por efectos geomecánicas.

El efecto de Ovalización: Es una deformación del revestimiento que se puede asociar a cargas producidas por el ambiente tectónico, particularmente en ausencia de fallas preexistentes o capas sobrepresionadas. Según Escobar (2013), esta deformación se caracteriza por una gran diferencia entre esfuerzos que genera cargas directamente en el revestimiento, para las cuales este no fue diseñado. Este efecto se manifiesta mediante un cambio en la geometría del revestimiento, transformando su sección transversal en una forma elipsoide u ovalada.

Figura 9.

Cambios de esfuerzos que generan ovalización al revestimiento.



Fuente: Canalización Artículos técnicos; Tuberías de orientación molecular de Adequa.

# 2.1.11 Propiedades mecánicas de los revestimientos

En cuanto al comportamiento mecánico de las tuberias de revestimiento hablamos de la capacidad de resistencia, por eso diferentes instituciones han buscado estandarizar el proceso de fabricación y el desempeño mecánico, el comportamiento mecánico está ligado al diseño de tuberías de revestimiento, o sea, cuando se inicia con la aplicación de cualquier diseño hay que determinar la resistencia de los diferentes elementos tubulares, según lo expone Bravo Vallejo et al. (2013) esto lleva a considerar las diferentes situaciones de falla que experimentan las tuberías. Por lo tanto, las principales fallas son básicamente cedencia, colapso, estallido y tensión.

Concepto de Cedencia: Es aquella propiedad o condición del material para soportar la deformación elástica, o bien, la resistencia que opone el material a la deformación ante la exposición de una carga.

Cuando las cargas inducen una deformación permanente, se dice que el material ha alcanzado su punto de cedencia o fluencia. Antes de alcanzar este punto, si la carga se libera, el material recupera su estado original. Sin embargo, cuando la resistencia a la cedencia llega a su máximo valor, el material se fractura o se rompe.

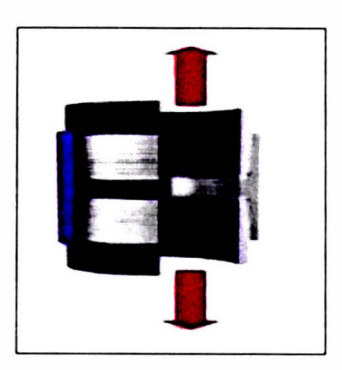
**Tabla 2.** *Relación de grados para Tuberías API.* 

	ios para Tuberias Ai	Hateata	Última	Mínima
Grado	Mínimo esfuerzo a la Cedencia (Psi)		resistencia a la Tensión (Psi)	Elongación (%)
H40	40,000	80,000	60,000	29,5
J55	55,000	80,000	75,000	24,0
K55	55,000	80,000	95,000	19,5
L80	80,000	95,000	95,000	19,5
N80	80,000	110,000	100,000	18,5
C90	90,000	105,00	100,000	18,5
C95	95,000	110,000	105,000	18,0
T95	95,000	110,000	105,000	18,0
P110	110,000	140,000	125,000	15,0
Q125	125,000	150,000	135,000	14,0

Fuente: Tabla tomada Chilingarian, G.V.; Rahman, S.S. (s.f.) Casing theory and practice.

• Concepto de Tensión: La tensión es una condición mecánica que puede llevar a la falla o fractura de una tubería, originada por la acción de cargas axiales que actúan perpendicularmente a la sección transversal del tubo. Según Bravo Vallejo (2013), estas cargas son generadas por efectos gravitacionales y pueden definirse como la capacidad de la tubería para resistir su propio peso cuando es introducida en el pozo.

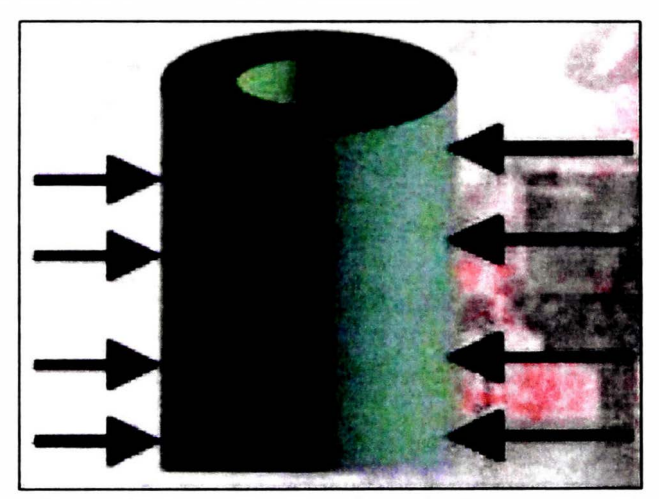
Figura 10. Cargas de Tensión.



Fuente: Tomado de Conceptos generales de conexiones TENARIS-TAMSA.

Concepto de Colapso: El colapso puede definirse como la fuerza mecánica capaz de deformar un tubo debido al efecto resultante de las presiones externas. La presión hidrostática de la columna de fluido en la parte exterior de la sarta de tubería de revestimiento genera cargas de colapso. Según Martínez (2011), estos fluidos son principalmente fluidos de perforación y, en algunos casos, lechadas de cemento.

Figura 11.
Efectos del Colapso en las Tuberias de Revestimiento.



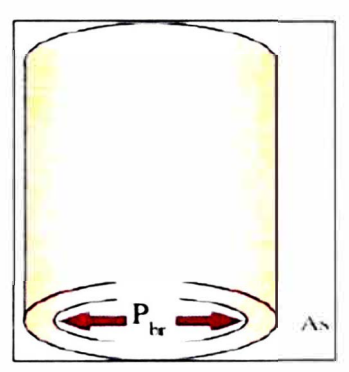
Fuente: Tomado de Bravo Vallejo, C.; García de la Rosa, I.; Leal Orta, A.; Mendoza Vargas, J.; Santiago Ávila, E.; Uribe Hernández, J. (2013) Capacidad de resistencia de tuberías petroleras México. Instituto Politécnico Nacional p. 26.

El efecto de las presiones externas sobre la tubería de revestimiento puede superar el límite de resistencia del mismo produciendo fluencia o deformación plástica, lo que conlleva a una reducción en el diámetro de la tubería generando a su vez el cierre de la sección trasversal

de dicha tubería, impidiendo en algunos casos el paso de fluidos o de herramientas de reparación (Escobar, 2013).

• Concepto de Estallido: Para la selección correcta del tipo de tubería se requiere estudiar la resistencia máxima y el esfuerzo interno sobre las paredes de la tubería, la resistencia al estallido no es más que la mínima presión interna que puede ser aplicada para iniciar con una deformación permanente o causar la cedencia del acero Martínez (2011), la falla por estallido es una condición mecánica que se genera debido a las cargas de presión actuando por el interior de la misma como lo plantea (Bravo Vallejo, y otros, 2013).

Figura 12.
Resistencia al Estallido.



Fuente: Tomado de Bravo Vallejo, C.; García de la Rosa, I.; Leal Orta, A.; Mendoza Vargas, J.; Santiago Ávila, E.; Uribe Hernández, J. (2013) Capacidad de resistencia de tuberías petroleras México. Instituto Politécnico Nacional p. 35.

Efectos de esfuerzos combinados: "Desafortunadamente varias de las propiedades del revestimiento son modificadas por la interacción de todos los esfuerzos al mismo tiempo y en presencia de esfuerzos axiales de tensión, compresión y esfuerzos concentrados debido al doblado de la tubería" (Carrilo Cataño & Lopez Toledo, 2014). Según la norma API 5C3 cuando se trata de diseño de tuberías de revestimiento se establecen cálculos mínimos. Esta norma considera 3 tipos de cargas y factores de seguridad recomendados por la industria como se muestra en la Tabla 3 (Carrilo Cataño & Lopez Toledo, 2014).

**Tabla 3.**Propiedades Mecánicas de Tuberías de Revestimiento.

		Dii	mensione	S								
O.D.	Peso	Espesor	L.D.	Drift	Area transversal	Propiedades mecanicas			Gra	idos de ac	ero	
Pulg.	Lb/ft	Pulg.	Pulg.	Pulg.	Pulg.^2			H40	<b>J</b> 55	K55	N80	P110
9 5/8	36	0.352	8.921	8.765	10.254	Colapso	Psi	1720	2020	2020	2370	
						Tension	b/100	410	564	564	820	
						P. Interna	Psi	2560	3520	3520	5120	
						P. Prueba	Psi	2300	3200	3200	4600	
7	20	0.272	6.456	6.331	5.749	Colapso	Psi	1970	2270	2270	2740	
						Tension	b/100	230	316	316	460	
						P. Interna	Psi	2720	3740	3740	5440	
						P. Prueba	Psi	2500	3400	3400	3400	
	23	0.317	6.366	6.241	6.656	Colapso	Psi		3270	3270	3830	
		0.0	5.555			Tensión	b/1000		366	366	532	
						P. Interna	Psi		4360	4360	6340	
						P. Prueba	Psi		4000	4000	5800	
	26	0.362	6.276	6.151	7.549	Colapso	Psi		4330	4330	5410	6230
		5.552				Tensión	b/1000		415	415	604	830
						P. Interna	Psi		4980	4980	7240	9960
						P. Prueba	Psi		4600	4600	6600	9100
	29	0.408	6.184	6.059	8.449	Colapso	Psi				7030	8530
	20	0.400	0	0.000		Tensión	b/1000				676	929
						P. Interna	Psi				8160	11220
						P. Prueba	Psi				7500	10000
6 5/8	20	0.288	6.049	5.924	5.734	Colapso	Psi	2550	2970	2970		
0 3/0	20	0.200	0.0.0	0.02		Tensión	b/100	229	315	315		
						P. Interna	Psi	3040	4180	4180		
						P. Prueba	Psi	2800	3800	3800		
	24	0.352	5.921	5.796	6.937	Colapso	Psi		4560	4560	5760	6730
	24	0.552	0.021	5.700	0.00.	Tensión	b/1000		382	382	555	763
						P. Interna	Psi		5110	5110	7440	10230
						P. Prueba	Psi		4700	4700	6800	9400

Fuente: Tomado de Hernández Morales, D. (2009) Prontuario México: TENARIS TAMSA.

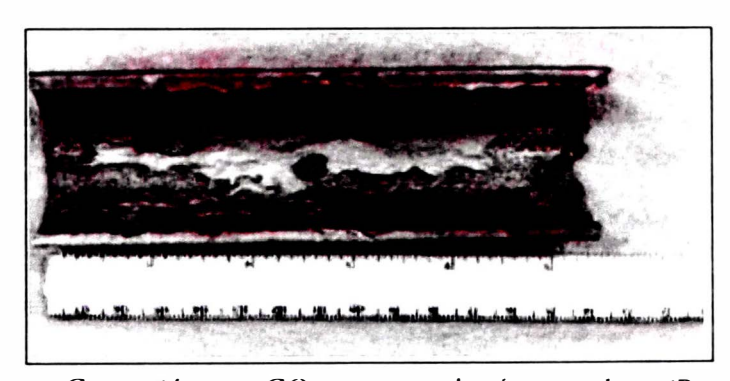
Efectos de la corrosión: La corrosión en los revestimientos suele pasarse por alto durante el diseño y construcción del pozo, donde solo se considera seleccionar los estándares API al carbón (Carrilo Cataño & Lopez Toledo, 2014).

El proceso de corrosión empieza desde que se funde el acero y va aumentando en el campo petrolero debido a especies acidas, tales como el ácido sulfúrico (H<sub>2</sub>S) o el dióxido de carbono que están presentes en el ambiente y desde el punto de vista termodinámico la energía consumida en la fabricación del revestimiento constituye la fuerza automotriz para la corrosión, las cuales producen hoyos y cavidades en las paredes internas y externas del revestimiento (Carrilo Cataño & Lopez Toledo, 2014).

"CO<sub>2</sub>: la corrosión por C O<sub>2</sub> conocida también como corrosión dulce, para que esta se presente, es necesaria la presencia de agua; además de la presión parcial del C O<sub>2</sub> Como lo sugiere (Carrilo Cataño & Lopez Toledo, 2014).

El CO<sub>2</sub> con el agua se denomina agua corrosiva cuando hay exceso de C O<sub>2</sub>, al existir un exceso de C O<sub>2</sub> este tiende a acabar con los carbonatos que en estado de equilibrio hacen parte de una capa protectora de los metales que conforman la tubería de revestimiento de los pozos, ocasionando la formación de orificios que facilitan el acceso arena perteneciente al acuífero, según (Jamaica).

Figura 13. Corrosión por CO<sub>2</sub>.



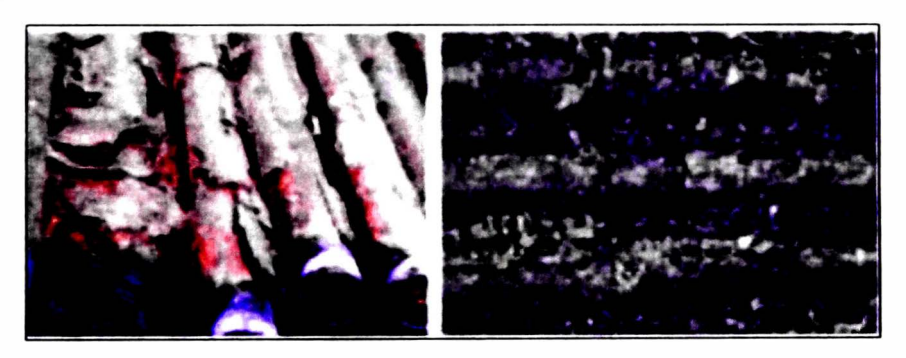
Fuente: Corrosión por CO<sub>2</sub> en una tubería petrolera (Rosas, 2019).

Presión Parcial CO2 (Psi)	Grado de Corrosión
0 - 10	Débil
10 - 30	Moderada
Más de 30	Alta

Fuente: Tomado de: Carrillo Cataño, M. J.; López Toledo, J. E. (2014) Análisis de los colapsos en revestimientos de pozos productores.

H<sub>2</sub>S: la corrosión por H<sub>2</sub>S conocida también como corrosión agria, requiere la presencia de H<sub>2</sub>S para que se presente." Carrilo & Lopez (2014) "para presión parcial del H<sub>2</sub>S mayor que 0.05 psi en la fase gaseosa, puede producirse agrietamiento bajo esfuerzo (Stress Cracking) en aceros y aleaciones de bajo carbono" según (Perez, Cabarcas, Uribe, & Vasquez, 2008).

Figura 14. Corrosión por H<sub>2</sub>S.



Fuente: Corrosión por sulfhídrico H<sub>2</sub>S de alta temperatura (Groysman, 2017)

Según Perez et al. (2008), la presencia de CO<sub>2</sub> y H<sub>2</sub>S determina el tipo de ambiente del pozo, las bacterias y el oxígeno, contribuyen al aumento de la velocidad de la corrosión, como también la presión, temperatura y la variación del porcentaje de las fases.

La presión: Con el aumento de la presión, se incrementa la solubilidad de los gases corrosivos en la fase acuosa y con ello la velocidad de corrosión (Perez, Cabarcas, Uribe, & Vasquez, 2008).

La temperatura: Un aumento de la temperatura, puede influir en la precipitación de depósitos de carbonato (FeCO<sub>3</sub>), la cual dependiendo de sus propiedades físicas puede detener la velocidad de corrosión; sin embargo, si no hay tendencia a la formación de siderita, un incremento en la temperatura puede acelerar la velocidad de corrosión (Perez, Cabarcas, Uribe, & Vasquez, 2008).

Variación en el Porcentaje de las fases: El porcentaje de las fases es importante desde el punto de vista de mojabilidad en la pared de revestimiento de producción. Altos porcentajes de agua humedecen la superficie del metal y favorecen la corrosión, la velocidad de la corrosión aumenta con el contenido de iones cloruro en un rango de 10000 a 100000 ppm y la temperatura por encima de 150° F. Pozos con cortes de agua mayores al 50% disminuye la vida útil de los Revestimientos debió al contenido de iones cloruros (Perez, Cabarcas, Uribe, & Vasquez, 2008) la corrosión en los revestimientos se puede presentar tanto en la parte interna como en la parte externa.

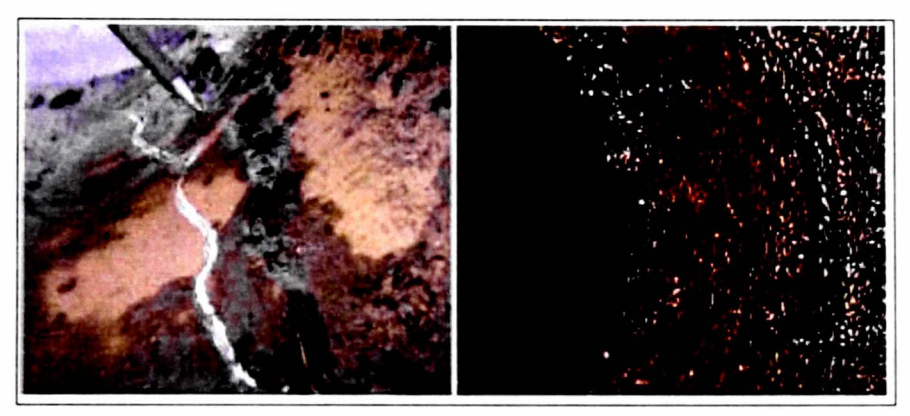
Parte interna: se deteriora la superficie interna debido a la acción de los fluidos manejados o almacenados.

Parte externa: Afecta la pared exterior del revestimiento y la envoltura del cemento por contacto con el agua de formación o agua producida inyectada, que contiene componentes corrosivos.

La apariencia de la corrosión presente en los revestimientos es variable, a continuación, las se expondrán algunas de ellas (Renpu, 2011).

Corrosión electroquímica uniforme: La corrosión electroquímica se presenta en toda la superficie del revestimiento. La evidencia inicial de la corrosión es la rugosidad de la superficie y a medida que esta aumenta disminuye el espesor, como se observa en la Figura 15 (Renpu, 2011).

Figura 15.
Corrosión Electroquímica.

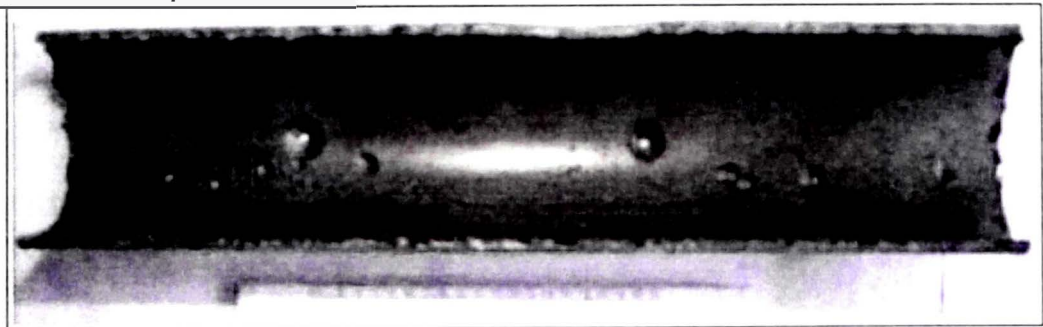


Fuente: Corrosión electroquímica en una tubería petrolera en PDVSA gas (Renpu, 2011).

• Corrosión por picadura (pitting corrosion): Se caracteriza por una alta pérdida localizada de metal. En el caso extremo se manifiesta como un profundo y delgado agujero, el principal factor que provoca y acelera las picaduras es el contacto eléctrico entre metales distintos o entre celdas de concentración, lo que causa una diferencia de potencial, el inicio de una picadura también está asociado con la ruptura de la pelicula protectora sobre la superficie del metal (Schweitzer, 2010).

Los aceros inoxidables, el aluminio y sus aleaciones son susceptibles a picaduras, el acero al carbono es más resistente a las picaduras que el acero inoxidable, por otro lado, el titanio y sus aleaciones proporcionan una excelente resistencia (Schweitzer, 2010).

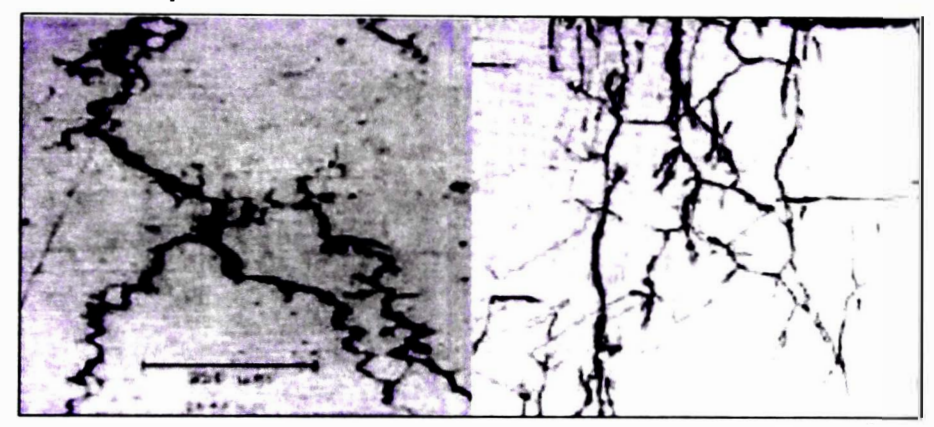
**Figura 16.** *Efecto de la Corrosión por Picadura.* 



Fuente: Corrosión por picadura en una tubería de producción (Pan American Energy, 2007).

Corrosión por fisuras o grietas: La corrosión por grietas puede formar hoyos u orificios profundos de diferentes profundidades y con tamaños de 0,025 – 0.1 micras de ancho, se presenta en forma de ranuras o costuras, la cuales se pueden generar durante las soldaduras, remachados, conexión de roscas y otras operaciones o/y situaciones (Renpu, 2011).

Figura 17. Efecto de la Corrosión por Fisura o Grietas.



Fuente: Tomado en tubería de producción en PDVSA gas (Renpu, 2011).

## 2.1.12 Herramienta de registro de Integridad de Tubería (Multifinger Caliper)

El **Multifinger Caliper** es una herramienta especializada en la inspección y evaluación de la integridad de tuberías de revestimiento. A continuación, se detallan sus características y funcionamiento.

#### Características Principales:

- Precisión Alta: La herramienta mide con alta precisión el diámetro interno de la tubería proporcionando detalles detallados sobre la condición del revestimiento.
- Numero de Brazos: El número de brazos o "dedos" en la herramienta varía según el diámetro de la tubería, con opciones que van de 24 a 56 brazos. La cantidad de brazos afecta la resolución y precisión de la medición.

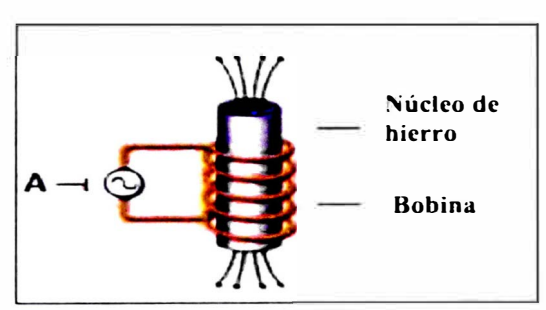
Sensibilidad: La herramienta es extremadamente sensible y puede detectar pequeños cambios en el diámetro interno del revestimiento, lo que hace ideal para identificar irregularidades y problemas potenciales.

De esta manera la herramienta va desplegándose en toda la tubería. Toda la información recolectada se utiliza para generar imágenes en 2D y 3D del casing o tubing (Kappa, 2021).

## 2.1.13 Principios de medición Multifinger Caliper

La herramienta de registro de integridad de tubería (MFC) emplea un mecanismo de inducción electromagnética, como se muestra en la **Figura 18**. Según la empresa GOWell International (2021), cuando se aplica corriente en A, se genera un campo magnético a través del núcleo de hierro; pero el otro caso es cuando un núcleo de hierro magnetizado se mueve en el campo magnético, se producirá corriente a través de la bobina.

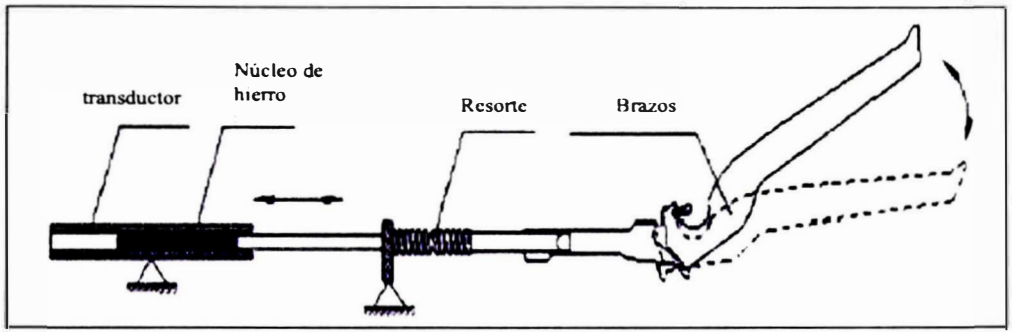
Figura 18.
Principio de medición.



Fuente: Tomado de 56-Finger Imaging Caliper MFC56C-G Operation Manual rev 1.3 (2021).

GOWell International (2021), en **Figura 19**, la herramienta de Integridad de Tubería (MFC), cuando los brazos hacen contacto con la tubería, y a su vez abren o cierran con el cambio de la superficie interna del pozo, la punta de cada brazo de medición tendrá un movimiento radial contra la herramienta misma, y el actuador mecánico, mecanismo de la herramienta que convierte el movimiento radial del brazo en un desplazamiento axial del hierro. Núcleo en el transductor de desplazamiento, el desplazamiento axial del núcleo de hierro se convierte en una señal eléctrica salida a través del transductor de desplazamiento.

Figura 19.
Desplazamiento radial del brazo de medición.

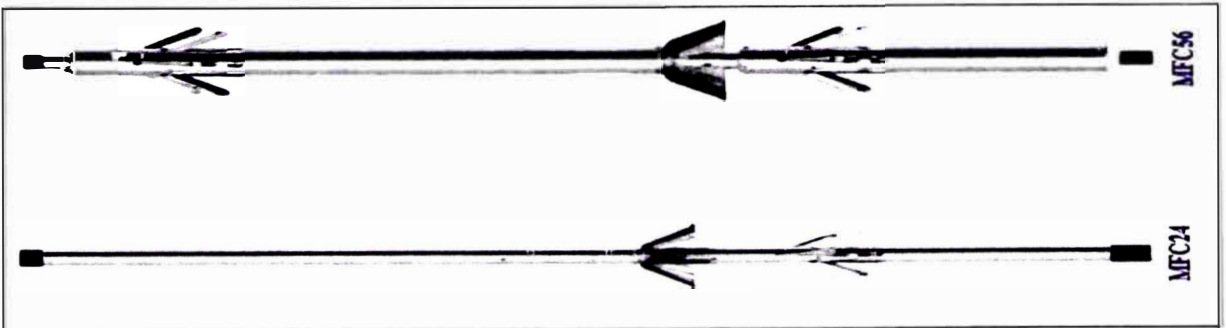


Fuente: Tomado de 56-Finger Imaging Caliper MFC56C-G Operation Manual rev 1.3 (2021).

## 2.1.14 Importancia de los registros de integridad de tubería.

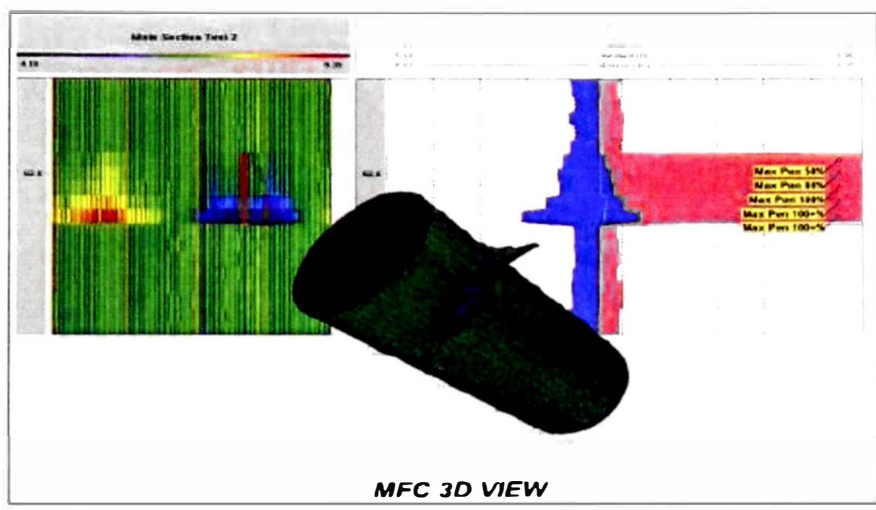
De acuerdo con GOWell International (2021), los registros de integridad de tubería es un factor importante crucial porque proporciona información de corrosión interna de la tubería, donde el revestimiento es una de las razones de las fugas. Además, permitirá conocer la ubicación de las fugas antes de ejecutar trabajos de reparación, reducirá los costos y minimizará las interrupciones en la producción. A su vez brindara una imagen geométrica de visualización del estado de la tubería en 3D de alta resolución precisa y completa generada por sus 24 o 56 brazos de medición. A continuación, se muestran **Figura 20** y **Figura 21**.

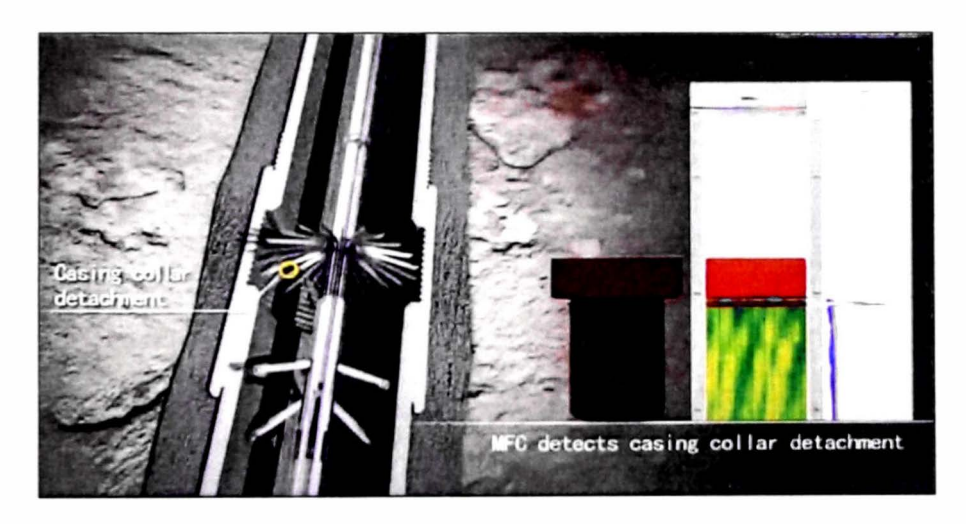
Figura 20. Herramienta de registro de integridad de tubería MFC 24 y MFC 56.



Fuente: Tomado de GOWell Cased Hole Catalogue (2021).

**Figura 21.**Visualización tridimensional 3D de la tubería con MFC24 o MFC56.





Fuente: Tomado de GOWell Cased Hole Catalogue (2021).

**Tabla 5.** *Especificaciones Técnicas de las Herramientas de Registro de Integridad de Tubería (MFC).* 

	MFC24	MFC56
ESPECIFICACIONES GENERALES	The state of the s	
Marca	GOWell	GOWell
Máxima Presión	15000 PSI(103 Mpa)	15000 PSI (103 Mpa)
Máxima Temperatura	350 °F (175 °C)	350 °F (175 °C)
Diametro	1.69 in. (43 mm)	3.54 in. (90 mm)
Longitud de la Herramienta	61,46 in, (1,56 m)	81.85 in.(2.079 m)
Peso de la herramienta	25 4 lbs (11.5kg)	112.4 lbs (51kg)
Resistencia a la Tensión Máxima	10000lbf	10000lbf
Tipo de Material de la Herramienta	17-4 SS & Al-Bronze	17-4 SS & Al-Bronze
TOPE Y FONDO DE CONEXIÓN		
Tope / Fondo	Anillo colector de 4 conductores GOWell	Consider COMON do 12 Diese
Conexión	conexión	Conexión GOWell de 13 Pines
MEDICION DEL CALIBRADOR		
Número de brazos	24 brazos	56 brazos
Diametro Mínimo	2 in. (51 mm)	4 in. (101.6 mm)
Diametro Máximo	7 in. (178 mm)	9-5/8 in. (244.5 mm)
Presición Radial	±0.02 in. (0.5 mm)	±0.02 in. (0, mm)
Resolución	0.0039 in (0.1mm)	0.0039 in (0.1mm)
Tipo de sensor	Sensor de desplazamiento lineal	Sensor de desplazamiento lineal
RANGO DE MEDICION DE TEMPERATU	IRA .	
Mínimo		13° F (-25° C)
Máximo	N/A	347 °F (175°C)
Exactitud		± 2° C
MEDICION DE INCLINACION		
Mínimo	0°	0°
Máximo	180°	180°
Exactitud	±5.0°	±5.0°
MEDICION DE AZIMUT RELATIVO		
Mínimo	0°	0°
Máximo	360°	360°
Exactitud	±5.0° (Dev 5.0°)	±5.0° (Dev 5.0°)
RESOLUCION VERTICAL		
Velocidad tipica del Registro	30 fl/min (9 14 m/min)	30 ft/min (9.14 m/min)
Resolucion vertical @ 600 m/hr	0.12 in. (3.05mm)	0.12 in. (3.05mm)
CENTRALIZADOR		
Centralizador del cuerpo	Por debajo	Por encima / Por debajo

Fuente: Tabla de especificaciones de las herramientas de registro de integridad de tubería Multifinger Caliper MFC24 y MFC56 Técnicas GOWell (2023).

## 2.1.15 Ventajas de la herramienta de integridad de tubería.

- Herramienta relativamente versátil de correr en modo memoria con Slickline y de interpretar.
- Rango de medición desde 4" a 9-5/8" con extensión hasta 13-3/8" para MFC56.
- Rango de medición desde 1-3/4" a 4-1/2" con extensión hasta 7" para MFC24.
- Crea un mapa continuo de perfil de tubería interna del pozo, para verificar la condición del pozo.
- Identifica problemas asociados en la tubería interna como el grado y/o porcentaje de corrosión, penetración en la pared del tubo, perdida de metal, diámetros máximos y mínimos.
- De fácil mantenimiento en la operación, posterior al trabajo.

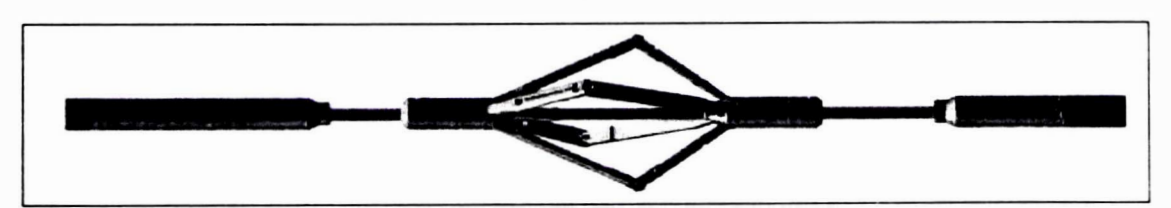
## 2.1.16 Herramientas de la sarta de registro de integridad de tubería

## 2.1.16.1 Herramienta de desplazamiento

Brindan a la sarta a que puedan ser corrida en medida en ubicación de posicionamiento correcto de tal forma que puedan tomarse el registro principal. Según muestra en la **Figura 22**:

Figura 22.

Centralizador con ruedas Roller Centralizer (CTL).

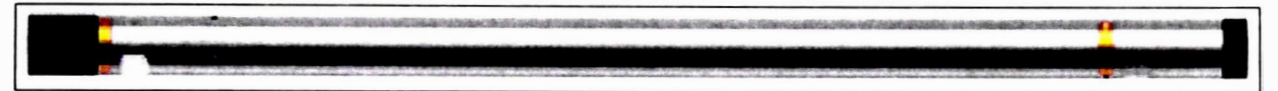


Fuente: Tomado de GOWell Cased Hole Catalogue (2021).

## 2.1.16.2 Herramienta de almacenamiento para batería

Brindan alojamiento al paquete de baterías o fuente según se muestra en la Figura 23 para que la sarta pueda ser corrida en fondo de pozo durante la toma de registro y genere apertura - cierre de los brazos una vez ubicado y posicionado.

Figura 23.
Unidad de alojamiento de Baterías Battery Pack Unit (BPU).



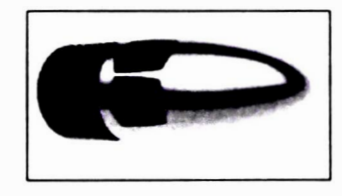
Fuente: Tomado de GOWell Cased Hole Catalogue (2021).

# 2.1.16.3 Herramienta de terminación de punta

Utilizado al final de la Sarta de herramienta. Su función principal es evitar que el flujo entre al extremo inferior de la sarta de herramientas, mientras que su diseño de punta redondeada proporciona una guía a la sarta de herramienta, como se muestra en la **Figura 24**.

Figura 24.

Herramienta de terminación de punta Bull Nose Tool (BNT).



Fuente: Tomado de GOWell Cased Hole Catalogue (2021).

## 2.1.16.4 Herramienta de almacenamiento y/o comunicación

Módulo de herramienta diseñado en la **Figura 25** su función es almacenar data de registro y el programa es predefinido por el usuario para que descarguen en superficie para una mayor conversión de tiempo a profundidad e interpretación.

Figura 25.

Módulo de control de memoria Memory Controller (MRL).



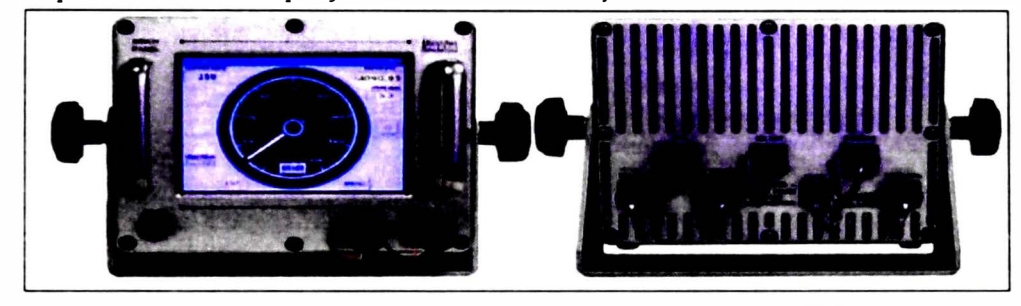
Fuente: Tomado de GOWell Cased Hole Catalogue (2021).

# 2.1.16.5 Paneles de adquisición de data en superficie

Los paneles mostrados en la **Figura 26** y **Figura 27** son utilizados para operaciones con Slickline. Además, brindan registro de data como velocidad, tensión y profundidad que son obtenidas desde un dispositivo que genera pulsos (encoder digital). La información es grabada en función del tiempo.

Figura 26.

Panel 99 de adquisición de data profundidad, velocidad y tensión.



Fuente: Tomado Benchmark AMS4A099 Panel Manual (2013).

Figura 27.

Panel SLAB de adquisición de data profundidad, velocidad y tensión.



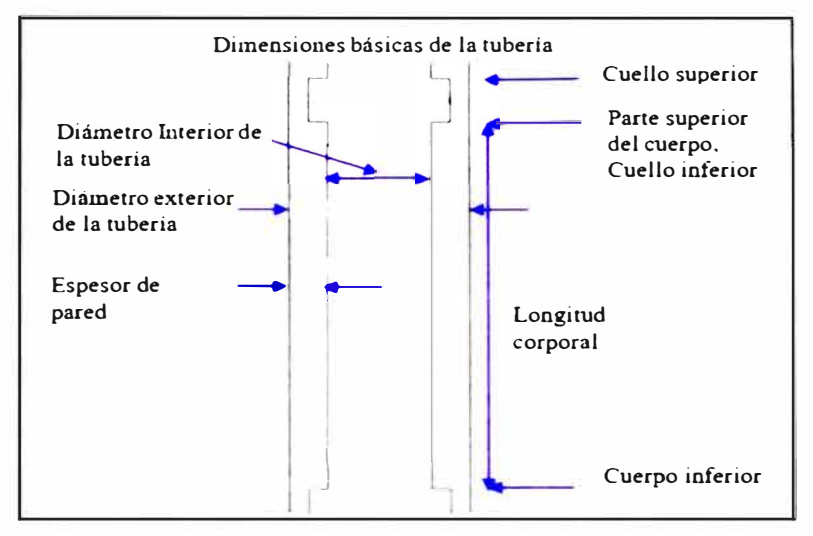
Fuente: Tomado de Scientific Data Systems, inc. Slickline Acquisition Box (2018).

## 2.2 Marco Conceptual

Las principales definiciones de términos en esta investigación serán los siguientes:

#### 2.2.1 Dimensión de la Tubería:

Figura 28.
Dimensiones básicas de la tubería.



Fuente: Elaboración propia.

Profundidad o depth (ft/m) se refiere a la distancia y medida en metros (m) o
pies (ft) existente entre un punto en el pozo y un punto en la superficie.

$$Profundidad = D \tag{1}$$

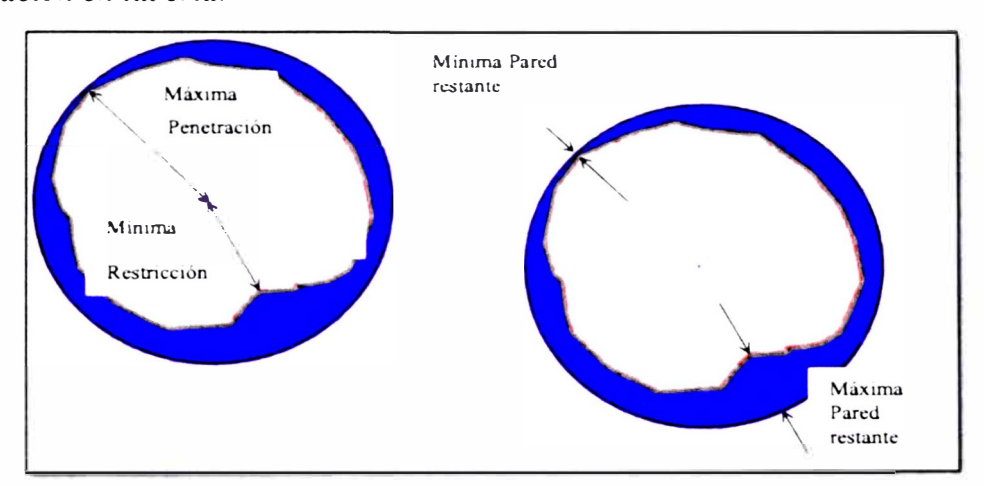
- Tope o tope body (ft/m) se refiere a la profundidad procesada y medida en metros (m) o pies (ft) del tope del tubo.
- Longitud del tubo o body length (ft/m) se refiere a la longitud medida en metros (m) o pies (ft) del tubo.
- Diámetro o mean diameter (ins/mm) se refiere al valor promedio del diámetro medido en pulgadas (ins) o milímetros (mm) a lo largo del tubo.
- Diámetro interno o internal diameter ID (ins/mm) se refiere al valor expresado en pulgadas (ins) o milímetro (mm), del diámetro interno de un borde interior al otro borde interior en el interior del tubo.

- Diámetro externo o external diameter OD (ins/mm) se refiere al valor expresado en pulgadas (ins) o milímetro (mm), del diámetro externo o exterior.
- Diámetro nominal [Diam.Nom] (ins/mm) se refiere al diámetro nominal del tamaño de todos los accesorios de tubería expresado en pulgadas (ins) o milímetro (mm), que indica el diámetro interior de un sistema de canalización.
- Radio máximo [Rad.Máx] (ins/mm) se refiere al máximo alcance expresado en pulgadas (ins) o milímetros (mm) de un segmento lineal que une a un punto cualquiera de la circunferencia o de la superficie de una esfera con su centro.

## 2.2.2 Máxima penetración de la tubería

Figura 29.

Máxima penetración en tubería.



Fuente: Tomado de Equipetrol (2014).

 Máxima penetración [Máx.Pen] (ins/mm) se refiere a dos veces el radio en pulgadas (ins) o milímetros (mm) de la máxima penetración de la pared del tubo en estudio (expresado como el diámetro-dos veces el radio-para la comparación con el diámetro interno nominal y drift).

$$M\acute{a}x. Pen = 2xRadM\acute{a}x$$
 (2)

 Máxima porcentaje penetración [Máx.Pen (%)] se refiere a la máxima penetración en la pared del tubo, expresada como porcentaje relativo (%) a la diferencia entre el espesor nominal en el punto de la máxima penetración.

$$M\acute{a}x.Pen(\%) = M\acute{a}x \left[ 100 \ x \left( \frac{2XRadM\acute{a}x - IDNom}{ODNom - IDNom} \right) \right] \tag{3}$$

• Profundidad de máxima penetración [Máx.Pen Prof.] se refiere a la profundidad (D) en metros (m) o pies (ft) de la máxima penetración en el tubo.

$$[Prof. Máx. Pen] = D Máx. Prof. Pen.$$
 (4)

 Brazo de la máxima penetración [Máx.Pen arm.] (N) se refiere al número del brazo con la máxima penetración en el tubo.

$$[Brazo.Máx.Pen] = NMáx.Brazo$$
 (5)

 Mínima pared restante [Mín.Pared] (ins/mm) se refiere al mínimo espesor de la pared en el tubo, expresado en pulgadas (ins) o milimetros (mm). Valores negativos implican que la pared esta totalmente penetrada.

$$Min.Pared = Min.ODNom - Min.IDNom$$
 (6)

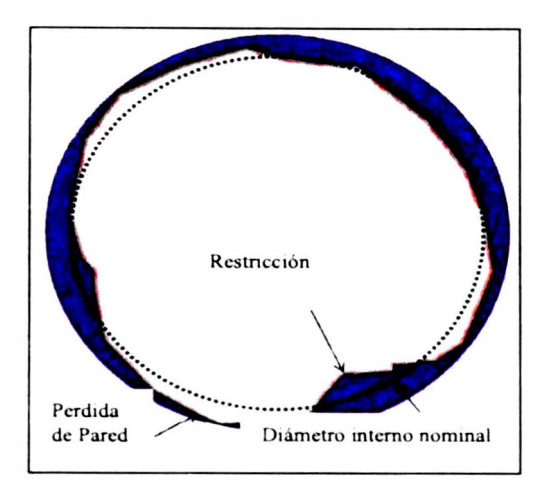
• Mínimo porcentaje pared restante [Mín.Pared (%)] se refiere al mínimo espesor de la pared en el tubo, expresado en porcentaje (%) del espesor al punto máximo de penetración. Valores negativos implican que la pared esta totalmente penetrada.

$$Min.Pared(\%) = Min \left[ \frac{ODNom-2xBrazoRad}{2} \right]$$
 (7)

## 2.2.3 Máxima perdida de metal de la tubería

Figura 30.

Máxima perdida de metal.



Fuente: Tomado de Equipetrol (2014).

• Máxima perdida [Máx. Perdida] (ins²/mm²) se refiere al valor mínimo de la perdida de metal del tubo, expresado como perdida real de la pared del tubo relativo al diámetro externo y diámetro interno nominal. Por cada muestra de profundidad la perdida de metal (Máx. Perdida) es calculada:

$$M\acute{a}x.Perdida = \left(\frac{\pi}{4N}\right)X\sum(ODNom^2 - IDNom^2) \tag{8}$$

N: es el número de brazos.

 Máximo porcentaje de perdida [Máx. Perdida (%)] se refiere al valor máximo de perdida de metal en el tubo, expresado como porcentaje (%) de perdida de pared relativo al diámetro externo y diámetro interno nominal. Para cada muestra de profundidad en el tubo la perdida de metal es calculada por:

$$M\acute{a}x.Perdida~(\%) = \left(\frac{100}{N}\right)X\frac{\sum(2xBrazoRad^2 - IDNom^2)}{(ODNom^2 - IDNom^2)} \tag{9}$$

 Profundidad de máxima perdida (D) [Máx. Perdida profundidad] (m/ft) se refiere a la profundidad expresado en metros (m) o pies (ft) de la perdida de metal en el tubo.

$$[Prof.Máx.Perdida] = D Máx.Perdida$$
 (10)

 Mínima restricción radial [Mín. Restricción] (ins/mm) se refiere a la lectura menor del brazo en el tubo, expresado en pulgadas (ins) o milímetros (mm) y es (dos veces el radio para la comparación con valores de diámetro interno nominales.

$$[Min. Res. Radial] = DMin. Res. Radial$$
 (11)

• Mínima porcentaje de restricción radial [Mín. Restricción (%)] se refiere a la lectura menor del brazo en el tubo, expresado como un porcentaje relativo al diámetro interno (ID) nominal y el diámetro externo (OD) nominal. Si el porcentaje es negativo, el mínimo radio es menor que el radio interno nominal.

$$Min.Res(\%) = Min \left[ 100 \times Max \left( \frac{IDNom - 2xRad}{ODNom - IDNom} \right) \right]$$
 (12)

Profundidad de la mínima restricción [Mín. Restricción profundidad]
 (m/ft) se refiere a la profundidad, expresado en metros (m) o pies (ft) de la menor lectura del brazo en el tubo.

$$[Prof.Min.Res] = DMin.Res. \tag{13}$$

 Brazo de la mínima restricción radial [Brazo. Mín. Restricción] (N) se refiere al número del brazo que muestra la mínima restricción radial en el tubo.

$$[Min. Res. Arm] = NMin. Res. Arm.$$
 (14)

# CAPÍTULO III: DESARROLLO DEL TRABAJO DE SUFICIENCIA PROFESIONAL Caso 1: Registro de Integridad de tubería de 7 pulgadas con MFC56

#### Fase 1 - Consideraciones iniciales caso de estudio integridad pozo Modelo 01 (MO-01)

El pozo Modelo 01 (MO-01) fue perforado desde el clúster "Cashiriari 1" para desarrollar el lado oeste del Cashiriari estructural. El pozo alcanzo una profundidad total de 2733 m Measurement Depth (MD). En este pozo se completaron con tubería de revestimiento 7 pulgadas y liner de 5 pulgadas. La desviación máxima del pozo es 8.01° grados a 1480 metros Measurement Depth (MD) y severidad máxima dogleg de 5.42° grados a 1305 metros (MD).

## Fase 2 - Tablas de grados en función de porcentaje de penetración y perdida / corrosión

A continuación, para la interpretación del caso en estudio para determinación actual del estado de la tubería de producción de 7", 29 lb/pie, en el intervalo registrado del pozo MO-01 con el uso de la herramienta de integridad de tubería (MFC56) se muestran en las **Tabla 6**. y **Tabla 7** respectivamente:

 Tabla 6.

 Cuadro de grados según porcentaje de penetración en tuberias.

Grado	% Penetración	Comentario
A	0 – 20%	Muy ligero
В	20 – 40%	Ligero
C	40 - 60%	Moderado
D	60 – 80%	Significante
E	>80%	Intensivo
F	<0%	Restricción

Fuente: Tomado de Equipetrol (2014).

**Tabla 7.**Cuadro de perdida de metal según porcentaje en tuberias.

Grado	% Perdida de Metal	Comentario
A	0 – 5%	Muy ligero
В	5 – 10%	Ligero
C	10 – 15%	Moderado
D	15 – 20%	Significante
E	>20%	Intensivo
F	<0%	Restricción

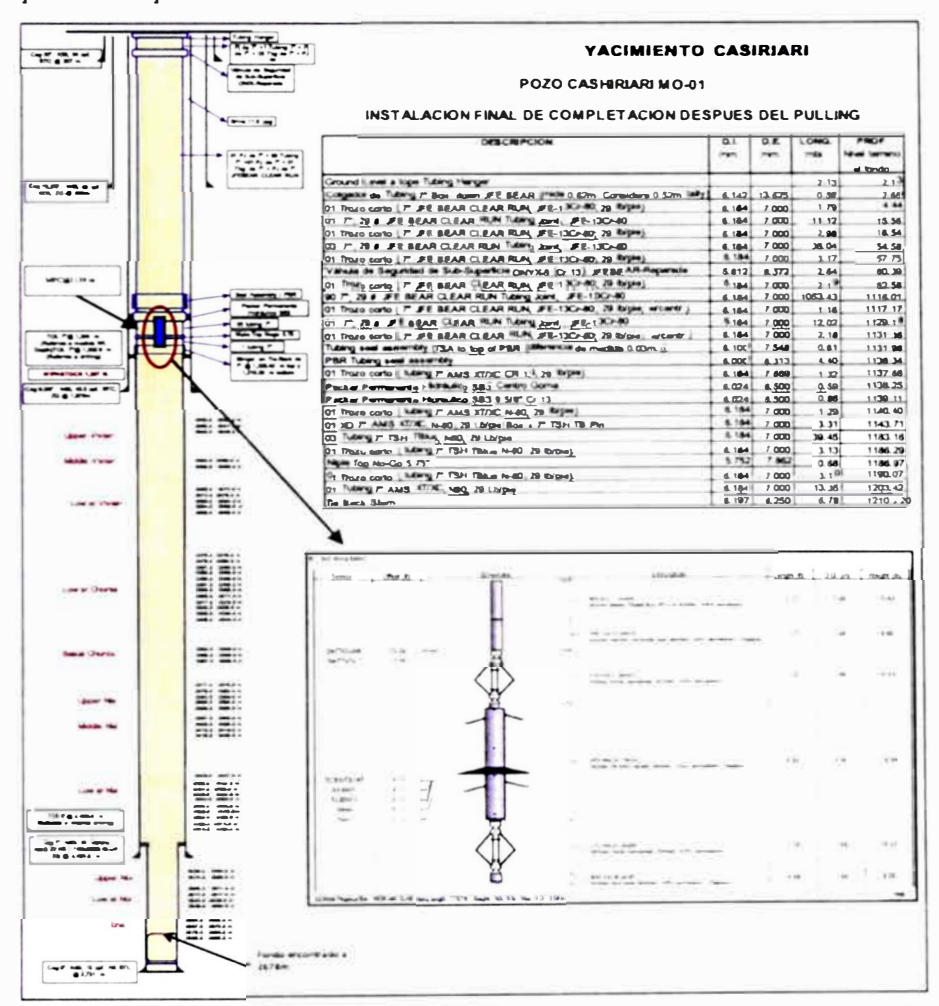
Fuente: Tomado de Equipetrol (2014)

## Fase 3 - Esquema de Completación para toma de registro de integridad (MFC56)

A continuación, se muestra en la **Figura 31** el esquema de completación para el estudio de toma de registro de integridad de tubería del pozo MO-01, esta fue realizada el 09 julio del 2022 corrido con la herramienta (MFC56) desde 1139 metros hasta superficie.

Figura 31.

Diagrama de completación pozo Cashiriari MO-01.

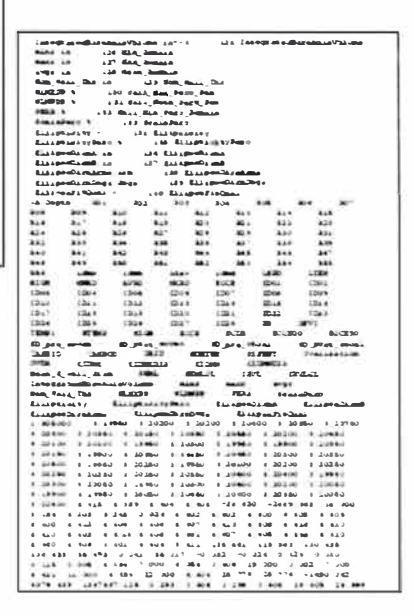


Fuente: Tomado del programa de prueba de pozos Cashiriari (2014).

**Figura 32.** *Herramienta Multifinger Caliper 56.* 



AND NO STO	LAS Version 2 0 We LASSingers gle line per depth step ga
STREET, N. LEUS	
	MIS'M SOLS DESCRIP
STED H 6 005	
KINDER THEFT	DATA MERCHANTON
	MAN 25 MICH VALUE
WILL Block TON	
	DMN-FUC-HTTD_Miras Squipmiros Postu CD-12 proceesse 44_120-12_EDLEBLEC mi 404_Proce_220119_FUT64
320 240 09 70 .	Af G ganaland on Ag Nation 4119
	12-7-1423 LAS face pressure tame
-TENE DIFFERENCE	
FORM ING T	TIRVE DESCRIPTION
SEPT #	1 Copyria
8104 CM	1 Martin serg district Channels I sadd
800 DK	2 Routes - arm, date   Chahrent & cast)
939 DE	1 Mara-arm data   Page 1 1 redia
Aire IN	4 Mainte-arm done . Channel # Fedit
806 DE	6 Roigs - era date . Penned & Fedis
904 DE	E Ruits - erm, data   Cherrent Streets
9:07 DE	* Multi-sequence - Chance : * value
000 DE	* Date: sen area Channel S Code:
9-19- DR	1 Red to arth, date Chance I state !
BALL DE	to these are done   Darman at rode a
BALL DE	at Matter word, derte + Darmon itt baden
913 20	of Posts and man Dames of casts
Ban De	11 Main - and date - Darman is radio
844 DE	
8.4 DE	of State and done - Charmes of radio
BUT DE	i' Maits am man Darmai i' todi i
Aut Dr	of Major-and data - Damest to code
849 06	1) Thirty and the . Defined 1) (1951)
8.20 DV	20 Marris and to the Charmes 20 cents
831 TW	li Maistram, man - Darmes li codis
ALC: DE	23 Rufts and draw Sames III come
838 DE	23 Batta acq and Diames If rolls
834 DE	le Salta am dese Darma le redit
AJA DK	20 Marti-act date - Barmer 18 code:
R24 DK	26 Ph.10.1 arm date   Barmet 16 Facts
421 DE	2" Build will date   Darmi 2" radio
A24 DE	26 Martin came dotto - Charmon 26 cudat
124 DE	29 Bailta nella tata - Marmon 19 redita
830 DE	20 Region orang dates - December 50 codes
KING THE	to the same down in the country of
A-62 29	C Builty was done . Stammer 12 codes
EAST DE	to write the man - proper to today
A.94 29	to Maint well, date in Dantons. He could be
A34 DF	M Bails was dots - Dames 16 codes
8.38 DF 8.36 DF	M Raits was date - Remma H radia 10 Raits and date - Remma H radia If Raits and date - Remma H radia



Fuente: Elaboración propia "data cruda (raw data) obtenida del MFC56".

# Fase 4 - Esquema de la Sarta de Herramienta (MFC56)

A continuación, se muestra en la **Figura 33** la configuración de la sarta de herramienta (MFC56) para el estudio de toma de registro de integridad de tuberia del pozo MO-01 y su data cruda (raw data) procesada y consistencia para el registro del campo Cashiriari 1.

Figura 33.

Configuración de la sarta de herramienta (MFC56)

				10.1	9.5	6.73	(1)	İ	į Į
- 1	Desper Legit	कार्या व्यक्ति प्रकार	Town of	2.95	4.8	1.80	•	+	-
				3	11.40	11.00	13.34	6.73	110
	331 and 40 and 4	4.	0.46	15.55	18.40	2.85	17.10	6.340	7.6 15.0
	County factor had the second of the second o			18 23	30.43	11.60	23.63	45.0	10 10 20
				20.50	42.50	11.92	10.81	673	900
	100 000	77.	10.00	42.63	1,1	11 69	43.11	167.0	0 (9 7 8
	Company of the Line of the Company o			2.6	57.63	2.63	14.15	97.0	36 31
				80.30	42.35	98.7	62.25	0.782	1.0 0.1
				82.76	74.62	11.82	62.70	4233	110
	27-6-29-1	140		1477	64 49	11 73	62.33	2.0	1.9 Ne 190
				1	96.56	11.92	17.33	2077	7.5 10 2
			_	14 71	130 62	11.92	90 94	B 2.00	1 00 1
				138.77	122.73	11.90	110.97	(13)	6.5 111.9
			_	127.88	134.78	_		н	17 133 4
				134.85	146.74	II II	185.80	420	10
			_	146.35	157.59	11.23	06 561	Н	3.6
				157.74	369.05	11.31	19801	6.238	1 4 100 9
		2.64	00.7	269.20	180.47	11.37	217	967.9	. M.
	Sales II and a paragraph of a later of the		9	280.62	191.96	11.35	181.67	412	1.0
				192 11	303 54	11.27	192.40	6 443	1.1 301.9
				200 53	233.43	11.90	305 84	н	44 28N 7
				113 51	327.46	11.63	12 83	1000	× 40.
				277.61	239.46	11.56	239.25	976	6.0 230 3.
				239 81	251.51	11.90	250.07	157.9	1 2 NO 30
				751.86		11.92	252.34	4.730	\$ CME 0.0
	The second secon	*	100	25.22		11.92			N 900
	The same of the same			275.80	247.72	11.92	276.42	4234	6.1 200.0
			_	187.87	14 141	11.92	138.17		12 30 0
	111	1	× 2	I F	311.60	11.86	330.75	6.343	1,1 100 8
	3 114 41111			111 95	323 86	11.92	312.67		6.5 31.14
THE REAL PROPERTY OF THE PERSON NAMED IN COLUMN			1	134.01	135.83	11.82	326.80	624	990

П	3	0 546	9 7 9	6.13.0	6 1 6 3	4.134	6 1 2 5	9	6 119	9 148	9 100	9 340	0.30	6 135	91.0	4 147	001 0	478	907 0	9 730	0.130	4.134	9 1 99	4.144	4 149	9	0 133	9 170	6 133	0 171	9	6 L29	0 10	4 [14	0.157	4 174
1	739.83	747.09	763.94	768.95	784.49	747.54	804.72	82036	811.26	642.30	854.49	24 908	679.12	865.16	903.47	91141	926.60	94021	\$50.72	857.92	\$73.33	963.90	1000 54	1010.44	1022 78	1095.17	07 Sept 70	1054.91	1005.51	1077.28	1086.57	1099 88	1111 20	1118.38	1175 69	1152.61
2	5.9	3.1	3.5	3.5	2.0	3.6	2.3	113	1.1	2.9	2.7	11	3.4	2.6	3.3	2.6	3.0	3.1	2.9	2.5	2.5	23	1.7	1.9	3.5	3.1	7.0	3.2	7.8	3.0	3.4	3.4	3.8	2.4	2.8	4.2
	730.62	752.67	PA 65	745.11	24 (77	788.25	801.25	13.41	874 24	836.38	643 21	16.086	672.18	58.5.80	876 14	914.00	800.03	M2.24	1	956.20	57 996	20.00	89 554	1008.37	1015.95	1027.96	1040.92	1021.09	1063.27	1074 YO	1089 11	1095.43	1106.93	1119 13	1130 36	1183.75
1	3	2.1	6.2	7.4	1.1	4.2	0.0	0.0	1 0	8.2	1.4	7.8	1.1	8.7	1.8	8.5	6.7	17	0.0	6.5	4.9	11	4.5	10	6.3	7.2	6.7	8.5	1.1	9.9	4.9	6.9	0.0	6.6	6.7	6.9
ı	4.75	130	6.251	1534	77.0	4.751	6.233	6.735	477.0	6.751	6.236	6.348	6.143	6.239	157.0	6.253	6.239	6.250	6.341	6.257	6.236	4.231	6.753	6.341	4.34	6.245	6.235	6.253	6243	6.754	177	4.357	6.149	6.238	6.139	6.257
	135.47	744.71	N4 16	76497	788 43	788.88	603.15	815.42	624.80	846.57	24 / 165	860.28	873.18	12 999	835.36	907.42	630 33	235.80	14.37	20 500	947.67	851.14	\$47.02	1014.95	00 9101	M (201	16 6401	1060.45	106.5 30	1074.25	108111	1104.73	1117 71	1119.08	1130.94	1135 25
-	11.58	11.61	11.70	11.77	11.65	11.81	11.73	11.40	11.46	11.65	11 11	11.77	11.73	11.41	11.05	11.65	11.85	11.85	11.83	11.57	11.87	11.09	11.86	11.25	11.67	11.89	11.25	19.61	11.29	1127	10.65	19.74	11.91	0.36	44 11	201
1	340.88	73.266	7. 7.	776.69	788.93	000 30	\$12.MI	834.96	83,518	64753	158.43	27.44	863.46	11.04	227.23	519.17	931.40	943.40	955 43	65.43	979.52	95139	1003.65	1015.09	1627.13	1099 21	1050.44	1061.43	1072.90	1084.34	10001	1106.10	1115 16	1119.33	1131.59	1133.59
1	25.67	141.22	2017	28 790	THEST	788.70	14 000	10.16	47 474	18 843	17 739	17.868	871.75	883.66	825 33	807.34	F25.45	931.50	943.34	957.59	967.85	578.70	77.184	1003.83	12 8101	16.2281	66 6601	1050.82	19 1901	1075.04	1084.52	24 2401	1106.21	36.8111	11 8 21	1131.57

y =	11.82	199	Īŝ	1	i	Z	I WI	į
20 3	00 12	MILL OF	0.75	:	171.00		2 1	9 2
113	11.21	2	6.223	=	171.67		976 N	4.14.
2	18	12 084	6.235	4.0	761.70	2	20.100	1.76
3	8	10 tat	6 Z36	9.0	77 809	3.1	20723	6 157
3	8	AC.7 08	1 100	0.	47.17		629.27	0.00
=	a	A71 PA	97.0	9.9	4,79,77	11	4.75 6.7	0 134
-72	18 11	680.83	0.247	1.2	3	67	41.1 Br	104.0
3	я	W137	6 230		443.67	=	10 20 2	0 130
3	g :	17 150	0.42.7	1.2	4, 170	6 9	2	9. 0
3	877	86.20	1341	7.0	47.10	1.6	472.00	97.7
3	2	55 Care	0.28	1.1	10 mg	0.7	485.84	6 432
13	11.20	17 800	6234	4.0	97 680	7.0	R 18	6 (2)
12	14.27	20.00	1 231	7	3 92	9 7	7	6.
2	11.30	120 96	6.254	9.6	911.0		311	0.151
13	11.30	123 43	67.9	9.6	923 63	1.3	328 00	3
2	2 10	5 M 75	1	F 64	E 105	9.7	14 14	3
-2	1°	911.94	177.0	1.1	12 184 .	5.8	111.13	8
13	8717	SA4 75	A 734	1 9	346.23	2.8	943.10	0.195
3	12.21	11.84	6 233	0.0	\$77.83		3.14.84	0.567
=	211	300 21	0 22	:	168 72	91	363 8	77
3	F. 73	M 208	4.228	1.4	10 C 01	1.9	50,00	6 4 63
3	211	17 608	0.002	2.2	97 800	5.0	62 50	97.0
3	67.17	617 64	10.0	3.6	611 49	5.8	6.17 14	9.791
=	13 11	9	6 Z36	-	40 079	1.3	6 80 3 3	6.154
13	11 80	Bert 79	0.240	10	14 400	÷	941 75	0 , 47
2	211	16 999	B 200	11	2 20	7 0	6.946.0	6 157
2	23 - 60	2	9.765	1.0	i	.,	20 mps	6.139
12	11.23	52 000	9.885	977	12 300	:	477.11	97.0
2	N.	11	6.247		643.87	3.6	16	0 133
2	11.00	70 27	& 233	0.0	20 pag	*1	# 55	1 1 1 1
=	11	73.657	0.10	0.3	725.96	-	733.87	6.3
2	13.29	72.122	N.		727 33		734.84	0.15.1

S.
2
9
z
1
na
~
a
$\sigma$
$\ddot{c}$
3
C
9
2
_
a
77
7
2
$\Xi$
$\ddot{a}$
0
a
D
77
3
_
2
2
$\sigma$
7
2
7
9
5
0
H
Z
e
7
7
0
.23
ă
-
7
2
7
0
0
•
a
2
0
=
7
Z
,0
0
z
5
$\rho$
a
E
1
0
=
-
7
Fue

% Perdida de Metal

Significani Intensivo

#### Fase 5 - Análisis e interpretación del registro de integridad de tubería

Según los resultados arrojados por el registro MFC56, se pudo observar una tubería de producción de 7"x 29 lb/pies, cuyo diámetro interno es 6.184 pulgadas, valor que está muy cerca del valor leído por la herramienta, la tubería 7" se encuentra en buenas condiciones, los valores de penetración no sobrepasaron el 20%, la máxima penetración observada en este registro fue a 536.75 metros con un 19.1% que equivale a 6.340 pulgadas (grado "A"), así mismo, no se registró perdida de metal mayor al 9% (grado "B"). Los valores de penetración y corrosión más notables encontrados en la tubería de 7" dados por el (MFC56) están listados en Tabla 8. (Máx.Pen%-MFC56) y Tabla 9 (Máx.Perd. Metal%-MFC56) respectivamente.

Tabla 8.

Tubos con Penetración Notable en tuberia de 7" (Máx. Pen%>10%).

Tope (metros)	Base (metros)	Máx. Pen. Prof.(metros)	Máx. Pen. (Pulgadas)	Máx. Pen.	Grado	Grado	% Penetración 0 – 20%	Comenta Muy lige
(moneo)	(	r ron (menos)	(1 aiBadas)	(%)		_ D	9 40% 40 60% 60 30% -80%	Ligero Moderac Significa Intensiv
215.58	227.46	226.93	6.267	10.2	A	F	<0*5	Restricci
533.22	544.54	536.75	6.340	19.1	A			
670.81	682.26	680.26	6.282	12.0	А			

Fuente: Elaboración propia.

**Tabla 9.**Tubos con notable perdida de metal en tubería de 7" (Máx. Perd. Metal%>5%).

Tope (metros)	Base (metros)	Máx. Per. Prof.(metros)	Máx. Perd. (%)	Grado
42.65	54.54	43.08	5.0	В
647.90	659.12	658.28	6.2	В
670.81	682.03	680.27	8.8	В
706.37	717.68	716.96	6.4	В
717.83	729.06	727.21	6.4	В

Fuente: Elaboración propia.

## Fase 6 - Análisis de Penetraciones vista en la tubería 7"

Según el análisis, se registró un 100% de las muestras analizadas (102 tubos) con penetraciones "muy ligeras" correspondientes a la letra "A", es decir, no sobrepasan el 20% de penetración. En este sentido, se puede decir que el intervalo evaluado está en buenas condiciones, la mayor penetración vista en la tubería de 7" x 29 lb/pies se ubicó a los 536.75 metros con un 19.1% en penetración.

Figura 34. Análisis Penetración de toda la sección registrada.



Fuente: Tomado de Equipetrol

**Tabla 10.**Porcentaje de Penetración en toda la sección registrada.

Grado	% Penetración	Comentario
Α	<20%	Muy ligero
В	20> - 40%	Ligero
C	40> - 60%	Moderado
D	60> - 80%	Significante
E	>80%	Intensivo
F	<0%	Restricción

Α	102
В	0
C	0
D	0
E	0
F	0

Fuente: Tomado de Equipetrol.

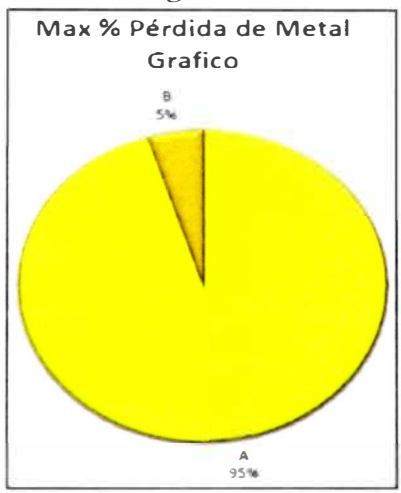
Fase 7 - Análisis de corrosión en tubería 7"

El registro de corrosión muestra una tubería de 7 pulgadas, la cual presento puntos de corrosión muy ligeros y ligeros a lo largo de todo el intervalo evaluado. Como se puede mostrar

en el **Figura 35** a continuación, las muestras analizadas y procesadas (97 tubos) arrojaron un resultado de corrosión "muy ligero" al 95% de perdida de metal. Y el restante 5% (5 tubos) resulto "ligero", es decir son corrosiones que van de 0% - 10%, correspondiente a la letra "A" y "B" según el análisis. Sin embargo, desde el punto de vista esta tubería se encuentra con buena integridad.

Figura 35.

Análisis Pérdida de Metal de toda la sección registrada.



Fuente: Tomado de Equipetrol.

**Tabla 11.**Porcentaje de Pérdida de Metal en toda la sección registrada.

Grado	% Pérdida de Metal	Comentario
A	<5%	Muy ligero
В	5> - 10%	Ligero
C	10> - 15%	Moderado
D	15> - 20%	Significante
Е	>20%	Intensivo
F	<()%	Restricción

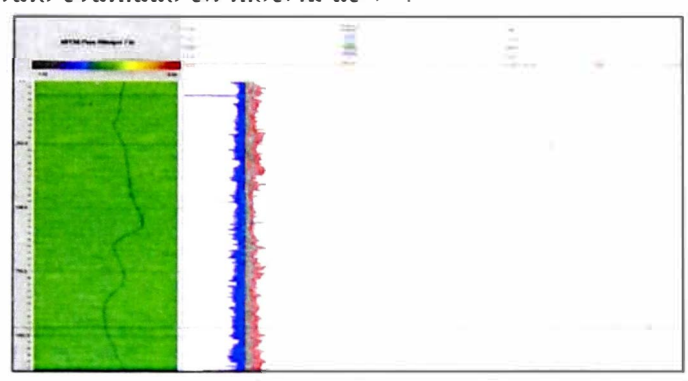
A 97
B 5
0
D 0
F 0

Fuente: Tomado de Equipetrol.

Fase 8 - Principales hallazgos del registro de integridad de tubería

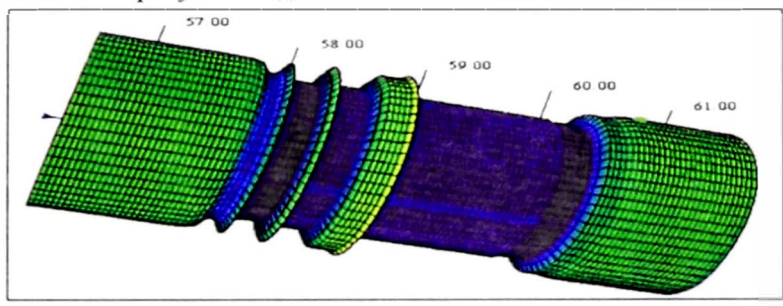
En la **Figura 36** se muestra el registro de ascenso completo para tubería de 7" desde la profundidad 1139 metros hasta superfície, también se muestra en la **Figura 37** la identificación y creación 3D de la Válvula de Seguridad de Subsuperfície a 57.7 metros respectivamente.

**Figura 36.** Vista General del intervalo evaluado en tubería de 7".



Fuente: Tomado de software ViewWell3D v2.0.1157.317.

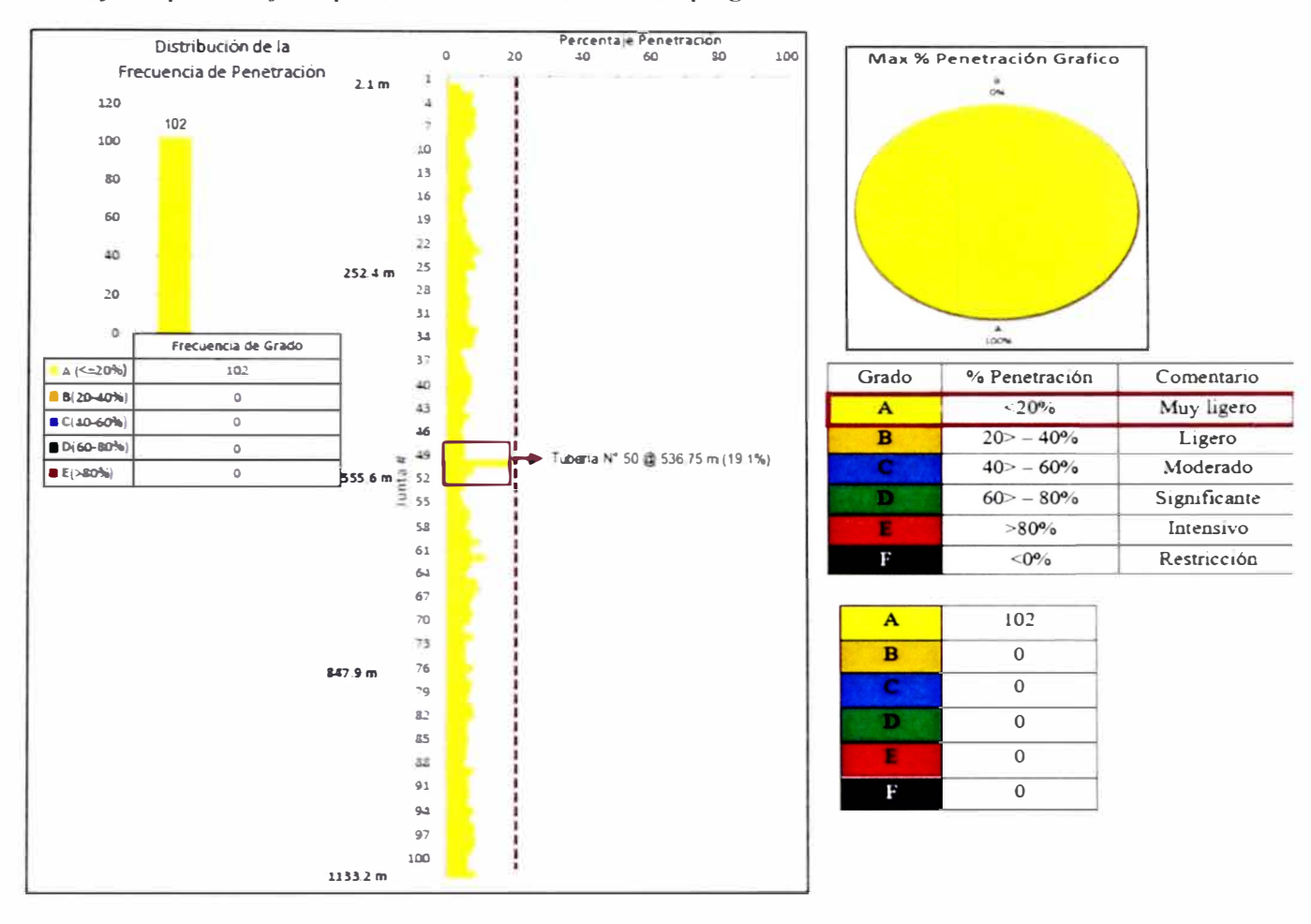
**Figura 37.**Válvula de Seguridad de Subsuperficie ONYX-5 a 57.7 metros.



Fuente: Tomado de software ViewWell3D v2.0.1157.317.

Fase 9 - Barras estadísticas de la tubería de 7 pulgadas con MFC56

**Figura 38.**Perfil de porcentaje de penetración de la tuberia de 7 pulgadas.



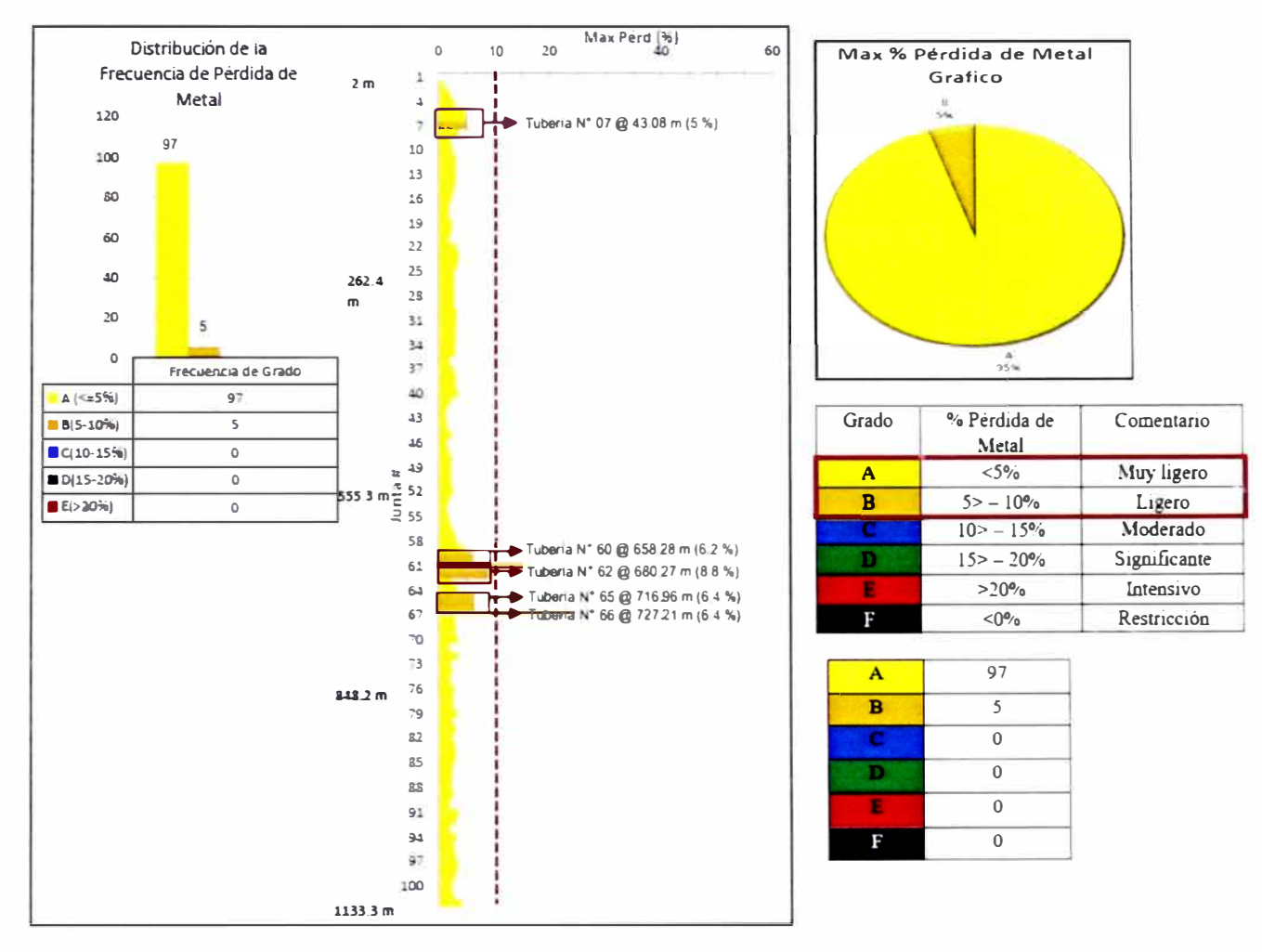
Fuente: Tomado de Equipetrol.

**Tabla 12.** *Tabla con Identificación del % Penetración de la tubería N° 50.* 

			Max Pen	Max	Max	May Dord	Max Pérd	Min Diam	Min
Tope(m)	Base(m)	Largo(m)	Prof.(m)	Pen(in)	Pen(%)	Prof.(m)	(%)	Prof(m)	Diam(in)
335.98	347.90	11.92	345.49	6.261	9.4	337.76	3.1	336.01	6.141
348.05	359.95	11.90	351.13	6.254	8.6	359.43	3.1	359.95	6.149
360.10	371.97	11.87	371.54	6.251	8.2	371.89	3.0	369.23	6.155
372.12	383.43	11.31	373.70	6.223	4.8	373.67	2.0	379.74	6.142
383.58	394.89	11.30	393.21	6.232	5.9	393.29	2.8	391.02	6.143
395.04	406.93	11.90	395.06	6.236	6.4	405.53	3.2	397.51	6.157
407.08	418.98	11.90	407.08	6.248	7.8	407.73	3.1	413.27	6.164
419.13	430.50	11.36	429.94	6.249	8.0	419.77	3.5	425.32	6.154
430.65	441.96	11.31	440.83	6.247	7.7	440.86	2.3	437.86	6.147
442.11	453.38	11.28	453.17	6.238	6.6	443.67	1.5	448.80	6.139
453.53	464.88	11.34	455.11	6.227	5.3	455.24	1.5	453.54	6.134
465.03	476.32	11.29	465.39	6.241	7.0	475.70	1.6	472.52	6.148
476.47	487.20	10.73	485.57	6.229	5.5	485.63	2.5	480.61	6.151
487.35	498.64	11.29	498.41	6.224	4.9	489.14	1.6	491.70	6.155
498.79	510.06	11.27	509.86	6.231	5.8	CO AA		§04.79	6.145
510.33	521.57	11.24	520.96	6.232	5.9	Tuberia	a N° 50	17.08	6.151
521.72	532.97	11.24	523.49	6.23	5.6			<b>28</b> .68	6.144
533.22	544.54	11.33	536.75	6.34	19.1	534.75	2.4	544.54	6.123
544.69	555.94	11.25	555.58	6.251	8.2	555.27	2.5	551.18	6.145
556.09	567.39	11.29	564.78	6.234	6.1	565.22	2.8	563.16	6.135
567.62	578.83	11.21	577.84	6.233	6.0	577.10	2.1	574.84	6.147
579.07	590.34	11.27	590.21	6.22	4.4	588.72	1.6	583.03	6.128
590.49	601.73	11.24	600.58	6.228	5.4	600.45	1.9	597.61	6.151
602.00	613.22	11.22	603.16	6.242	7.1	603.14	2.3	607.23	6.148
613.44	624.74	11.29	613.48	6.244	7.4	613.49	2.9	619.34	6.143
624.89	636.30	11.41	626.10	6.235	6.3	625.05	3.3	630.33	6.158
636.45	647.75	11.30	645.79	6.246	7.6	645.78	4.6	643.70	6.149
647.90	659.12	11.22	658.51	6.264	9.8	658.28	6.2	654.93	6.157
659.27	670.57	11.30	668.50	6.245	7.5	668.53	4.5	666.02	6.135
670.81	682.03	11.22	680.26	6.282	12.0	680.27	8.8	677.11	6.140
682.28	694.08	11.80	682.33	6.247	7.7	682.87	2.4	689.86	6.131
694.23	706.22	11.99	705.22	6.235	6.3	694.93	3.4	703.46	6.154
706.37	717.68	11.30	716.97	6.26	9.3	716.96	6.4	712.67	6.139
717.83	729.06	11.23	727.22	6.264	9.8	727.21	6.4	724.84	6.151

Fuente: Tomado de Equipetrol.

**Figura 39.**Perfil de máximo porcentaje de pérdida de metal de la tubería de 7 pulgadas.



Fuente: Tomado de Equipetrol.

**Tabla 13.** *Tabla con Identificación del % Máxima Perdida de la tubería N° 07.* 

Tope(m)	Base(m)	1200101	Max Pen	Max	Max	Max Pérd	Max Pérd	Min Diam	Min
Tope(m)	base(m)	Largo(m)	Prof.(m)	Pen(in)	Pen(%)	ProL(m)	(%)	Prof(m)	Diam(in)
1.97	2.20	0.23	2.14	6.192	1.0	1.99	0.0	2.17	6.163
2.35	4.25	1.90	4.13	6.221	4.5	2.43	1.3	4.19	6.143
4.40	15.40	11.00	13.38	6.25	8.1	13.44	2.2	11.56	6.143
15.55	18.40	2.85	17.10	6.246	7.6	15.69	2.8	17.16	6.163
18.55	30.43	11.88	23.91	6.257	8.9	19.20	4.7	Tubería N	۱° 07
30.58	42.50	11.92	30.81	6.253	8.5	30.68	4.9		
42.65	54.54	11.89	43.11	6.255	8.7	43.08	5.0	49.70	6.166
54.69	57.63	2.93	56.35	6.249	8.0	55.02	3.7	54.69	6.124
60.59	62.55	1.96	62.15	6.232	5.9	61.52	2.2	61.32	6.165
62.70	74.62	11.92	62.70	6.232	5.9	63.17	2.6	66.36	6.160
74.77	86.49	11.72	82.32	6.24	6.9	74.90	3.4	84.22	6.165
86.64	98.56	11.92	87.33	6.245	7.5	98.21	3.0	86.65	6.147
98.71	110.62	11.92	98.86	6.236	6.4	99.15	3.2	98.71	6.139
110.77	122.73	11.96	110.97	6.237	6.5	111.38	3.2	119.90	6.157
122.88	134.78	11.90	122.93	6.247	7.7	123.48	2.8	128.99	6.162
134.93	146.24	11.31	135.30	6.232	5.9	146.17	2.5	138.70	6.149
146.39	157.59	11.21	155.90	6.225	5.0	155.50	2.1	150.85	6.144
157.74	169.05	11.31	158.01	6.228	5.4	166.95	2.0	161.24	6.145
169.20	180.47	11.27	171.64	6.236	5.4	179.04	2.6	175.57	6.149
180.62	191.96	11.35	181.62	6.232	5.9	181.65	2.4	180.62	6.139
192.11	203.38	11.27	192.60	6.243	7.2	201.57	1.9	196.21	6.148
203.53	215.43	11.90	205.96	6.254	8.6	205.29	3.3	203.54	6.138
215.58	227.46	11.88	226.93	6.267	10.2	226.70	3.7	224.48	6.149
227.61	239.46	11.86	239.25	6.249	8.0	239.33	3.6	236.22	6.150
239.61	251.51	11.90	250.07	6.257	8.9	250.36	2.9	244.76	6.148
251.66	263.58	11.92	252.38	6.233	6.0	262.43	2.9	251.66	6.127
263.73	275.65	11.92	264.34	6.238	6.6	264.36	2.9	270.46	6.136
275.80	287.72	11.92	276.42	6.234	6.1	286.45	3.0	281.46	6.144
287.87	299.79	11.92	296.29	6.243	7.2	298.61	2.8	291.77	6.148
299.94	311.80	11.86	310.75	6.242	7.1	300.60	3.3	307.30	6.142
311.95	323.86	11.92	312.67	6.237	6.5	312.61	3.2	320.83	6.165
324.01	335.83	11.82	326.80	6.24	6.9	324.63	3.1	333.09	6.161

Fuente: Tomado de Equipetrol

**Tabla 14.** *Tabla con Identificación del % Máxima Perdida de la tubería N° 60, 62, 65 y 66.* 

			Max Pen	Max	Max	Max Pérd	Max Pérd	Min Diam	Min
Tope(m)	Base(m)	Largo(m)	Prof.(m)	Pen(in)	Pen(%)	ProL(m)	(%)	Prof(m)	Diam(in)
335.98	347.90	11.92	345.49	6.261	9.4	337.76	3.1	336.01	6.141
348.05	359.95	11.90	351.13	6.254	8.6	359.43	3.1	359.95	6.149
360.10	371.97	11.87	371.54	6.251	8.2	371.89	3.0	369.23	6.155
372.12	383.43	11.31	373.70	6.223	4.8	373.67	2.0	379.74	6.142
383.58	394.89	11.30	393.21	6.232	5.9	393.29	2.8	391.02	6.143
395.04	406.93	11.90	395.06	6.236	6.4	405.53	3.2	397.51	6.157
407.08	418.98	11.90	407.08	6.248	7.8	407.73	3.1	413.27	6.164
419.13	430.50	11.36	429.94	6.249	8.0	419.77	3.5	425.32	6.154
430.65	441.96	11.31	440.83	6.247	7.7	440.86	2.3	437.86	6.147
442.11	453.38	11.28	453.17	6.238	6.6	443.67	1.5	448.80	6.139
453.53	464.88	11.34	455.11	6.227	5.3	455.24	1.5	453.54	6.134
465.03	476.32	11.29	465.39	6.241	7.0	475.70	1.6	472.52	6.148
476.47	487.20	10.73	485.57	6.229	5.5	485.63	2.5	480.61	6.151
487.35	498.64	11.29	498.41	6.224	4.9	489.14	1.6	491.70	6.155
498.79	510.06	11.27	509.86	6.231	5.8	508.88	2,0	504.79	6.145
510.33	521.57	11.24	520.96	6.232	5.9	511.86	2.6	517.08	6.151
521.72	532.97	11.24	523.49	6.23	5.6	523.48	2.3	528.68	6.144
533.22	544.54	11.33	536.75	6.34	19.1	534.75	2.4	544.54	6.123
544.69	555.94	11.25	555.58	6.251	8.2	555.27	2.5	551.18	6.145
556.09	567.39	11.29	564.78	6.234	6.1	565.22	2.8	563.16	6.135
567.62	578.83	11.21	577.84	6.233	6.0	577.10	2.1	574.84	6.147
579.07	590.34	11.27	590.21	6.22	4.4	588.72	1.6	583.03	6.128
590.49	601.73	11.24	600.58	6.228	5.4	600.45	1.9	597.61	6.151
602.00	613.22	11.22	603.16	6.242	7.1	603.14	2.3	607.23	6.148
613.44	624.74	11.29	613.48	6.244	7.4	613.49	2.9	619.34	6.143
624.89	636.30	11.41	626.10	6.235	6.3	625.05	3.3	630.33	6.158
636.45	647.75	11.30	Tubería N	۷° 60	7.6	645.78	4.6	643.70	6.149
647.90	659.12	11.22		0.20	9.8	658.28	6.2	654.93	6.157
659.27	670.57	11.30	668.50	6.245	7.5	668.53	4.5	Tubout	NO 60
670.81	682.03	11.22	680.26	6.282	12.0	680.27	8.8	Tubería	N 02
682.28	694.08	11.80	602.22	6 247	7.7	682.87	2.4	689.36	6.131
694.23	706.22	11.99	Tubería	N° 65	6.3	694.93	3.4	703.46	6.154
706.37	717.68	11.30	716.97	6.26	9.3	716.96	6.4	712.67	6.139
717.83	729.06	11.23	727.22	6.264	9.8	727.21	6.4	Tubería	NIO 66

Fuente: Tomado de Equipetrol

# Fase 10 – Presupuesto técnico-económico del registro de integridad de tubería 7 pulgadas con MFC56.

Los costos para las intervenciones de operaciones de tôma de registro de integridad MFC56 para realizarse en la selva peruana con el uso del Slickline, están asociados al uso de sensores, herramientas, equipamientos de control, unidad de servicio, cuadrilla de trabajo e ingeniero especialista MFC. En la **Tabla 15** se muestran la valorización del costó operativo.

Tabla 15. Valorización MFC56 para tuberia de 7".

	VALORIZ	ACIÓN REGISTRO MFC56 POZO	MODELO-01 - CARGO	OPERATIVO				15
EM	DESCRIPCIÓN DEL CARGO	SUB-CANTIDAD (PERSONAL)	CANTIDAD (DÍAS)		PRECIO TARIO (USD)	UNIDAD		TOTAL (USD)
	PERSONAL SLICKLINE							
	Operador Especialista Slickline - Cargo Operativo	2	1	\$	599.00	DÍA	\$	1,198.00
	Operador Asistente Slickline - Cargo Operativo	4	1	\$	299.00	DÍA	\$	1,196.00
	PERSONAL MULTIFINGER CALIPER	•				•		
	Ingeniero Especialista MFC - Cargo Operativo	1	1	\$	399.00	DÍA	\$	399.00
			VALORIZACIÓN TOTAL	PERSONAL REGI	STRO MFC CON UNIDA	D SLICKLINE	\$	2,793.00
M	DESCRIPCIÓN DEL CARGO	SUB-CANTIDAD	CANTIDAD		PRECIO Tario (USD)	UNIDAD		TOTAL (USD)
	EQUIPO UNIDAD SLICKLINE							
	Unidad de Slickline - Cargo Operativo	1	1	\$	2,999.00	DÍA	\$	2,999.00
	HERRAMIENTAS Y ACCESORIOS SLICKLINE							
	Caja de Herramientas estándar Slickline - Cargo Operativo	1	1	\$	390.00	TRABAJO	\$	390.00
	EQUIPO DE CONTROL DE PRESIÓN SLICKLINE 7"							
	Equipo ce Control de Presión - Cargo Operativo	1	1	\$	2,100.00	DÍA	\$	2,100.00
	Redress Kit de Equipo de Control de Presión	1	1	\$	399.00	TRABAJO	\$	399.00
	REGISTRO DE CORROSIÓN MFC - TUBERÍA 7"							
	Multifinger Caliper - Cargo Operativo	1	1	\$	3,200.00	DÍA	\$	3,200.00
	Multifinger Caliper por metro (m) de registro	1	1139	\$	4.99	TRABAJO	\$	5,683.61
	Redress Kit de sensores Multifinger Caliper	1	1	\$	199.00	TRABAJO	\$	199.00
	Bateria de sensores Multifinger Caliper	1	1	\$	499.00	TRABAJO	\$	499.00
	ACUMULADOR DE CONTROL DE PRESIÓN							
	Equipo Acumulador de Presión - Cargo Operativo	1	1	\$	299.00	DÍA	\$	299.00
	POZO A CARGO PARA INTERVENCIÓN							
	Pozo a Cargo para Intervención - Cargo Operativo	1	1	\$	399.00	POZO	\$	399.00
Ŋ			VALORIZAC	CIÓN TOTAL REGI	STRO MFC CON UNIDA	D SLICKLINE	\$	16,167.61
ī					VALORIZA	CIÓN TOTAL	S	18,960.61

Fuente: Elaboración Propia. Para 02 guardias de operación continua del registro MFC56.

#### Caso 2: Registro de Integridad de tubería de 4.5 pulgadas con MFC24

## Fase 1 - Consideraciones iniciales caso de estudio integridad pozo Modelo 02 (MO-02)

El pozo Modelo 02 (MO-02) fue perforado desde el clúster "Los Angeles" que alcanzo una profundidad de 2660 metros Measurement Depth (MD). En este pozo se completaron con tubería de revestimiento de producción de 4.5 pulgadas. La máxima desviación del pozo alcanzado 43.93 grados a 858.60 metros Measurement Depth (MD) y severidad máxima dogleg es de 3.02° a 90 metros (MD).

## Fase 2 - Tablas de grados en función de porcentaje de penetración y perdida / corrosión

A continuación, para la interpretación del caso de estudio para determinación actual del estado de la tubería de producción de 4.5 pulgadas, 12.6 lb/pie, en el intervalo registrado para trabajos de intervención del pozo MO-02 con el uso de la herramienta de integridad de tubería (MFC24) se muestran en las **Tabla 13** y **Tabla 14** respectivamente.

**Tabla 16.**Cuadro de grados según porcentaje de penetración en tuberías.

Grado	% Penetración	Comentario
Α	0 – 20%	Muy ligero
В	20 – 40%	Ligero
C	40 - 60%	Moderado
D	60 - 80%	Significante
Е	>80%	Intensivo
F	<0%	Restricción

Fuente: Tomado de Equipetrol (2014).

**Tabla 17.**Cuadro de perdida de metal según porcentaje en tuberias.

Grado	% Perdida de Metal	Comentario
Α	0 - 5%	Muy ligero
В	5 – 10%	Ligero
C	10 - 15%	Moderado
D	15 – 20%	Significante
E	>20%	Intensivo
F	<0%	Restricción

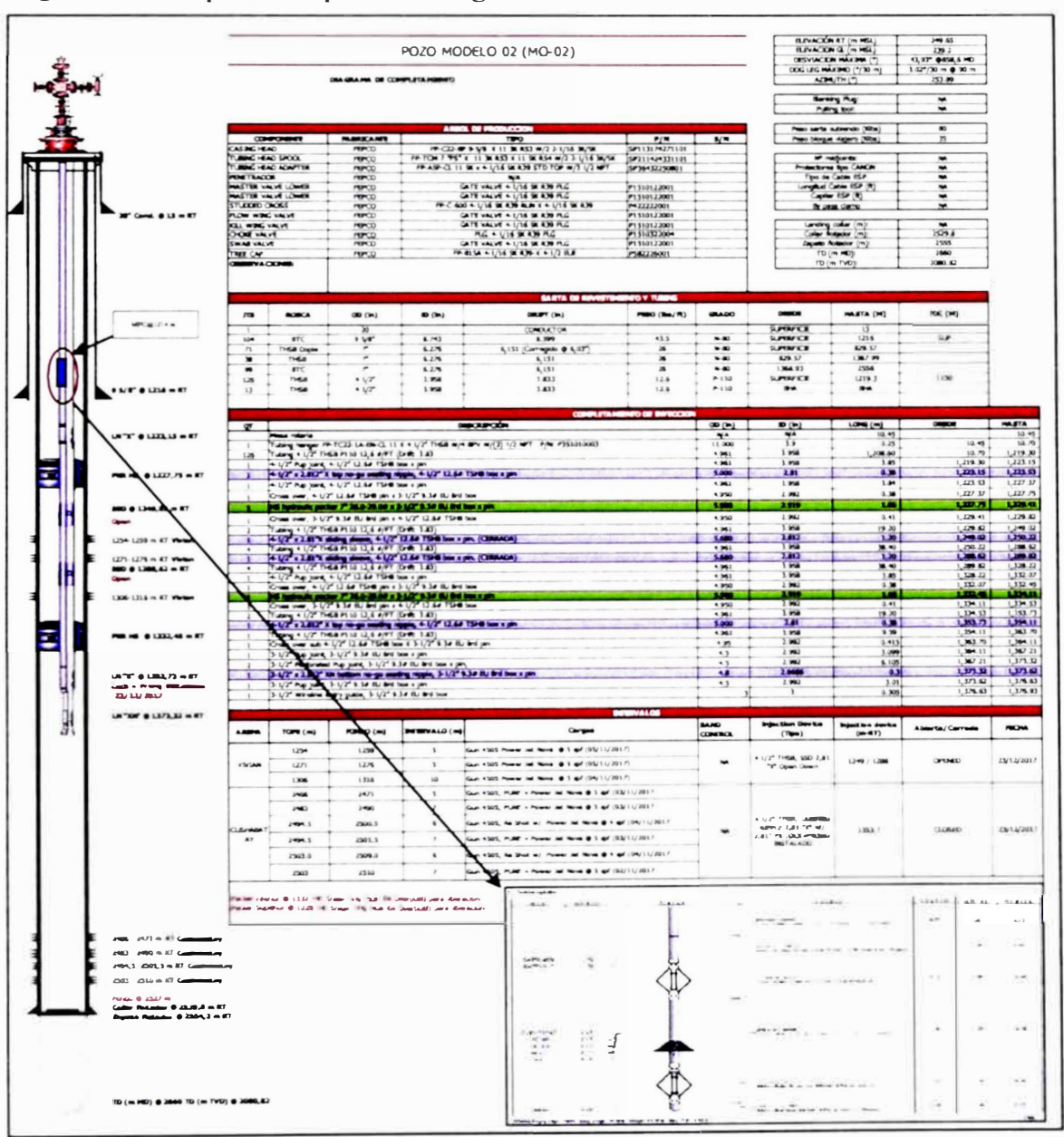
Fuente: Tomado de Equipetrol (2014)

### Fase 3 - Esquema de Completación para toma de registro de integridad (MFC24)

A continuación, se muestra en la **Figura 40** el esquema de completación para el estudio de toma de registro de integridad de tubería del pozo MO-02, esta fue realizada el 26 enero del 2023 corrido con la herramienta (MFC24) desde 1214 metros hasta superficie.

Figura 40.

Diagrama de completación pozo Los Angeles MO-02.



Fuente: Tomado de Diagrama de Pozo Estado Mecánico Los Angeles (2017).

Figura 41. Análisis Penetración de toda la sección registrada.

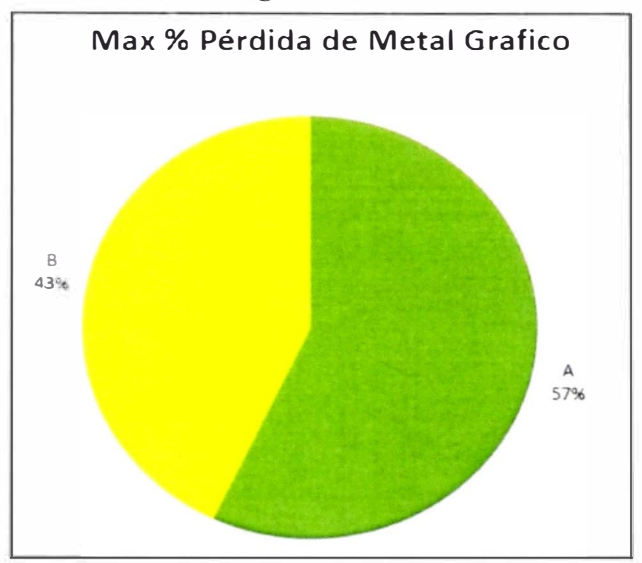


**Tabla 18.**Porcentaje de Penetración en toda la sección registrada.

Grado	% Penetración	Comentario
A	<20%	Muy ligero
В	20> - 40%	Ligero
C	40> - 60%	Moderado
D	60> - 80%	Significante
E	>80%	Intensivo
F	<0%	Restricción

Α	14
В	96
C	18
D	0
Е	0
F	0

**Figura 42.** *Análisis Pérdida de Metal de toda la sección registrada.* 



**Tabla 19.**Porcentaje de Pérdida de Metal en toda la sección registrada.

Grado	% Pérdida de Metal	Comentario
A	<5%	Muy ligero
В	5> - 10%	Ligero
C	10> - 15%	Moderado
D	15> - 20%	Significante
Е	>20%	Intensivo
F	<0%	Restricción

Α	73
В	55
С	0
D	0
E	0
F	0

# Fase 4 - Barras estadísticas de la tubería de 4 ½ pulgadas con MFC24

**Figura 43.**Perfil de porcentaje de penetración de la tubería de 4.5 pulgadas.

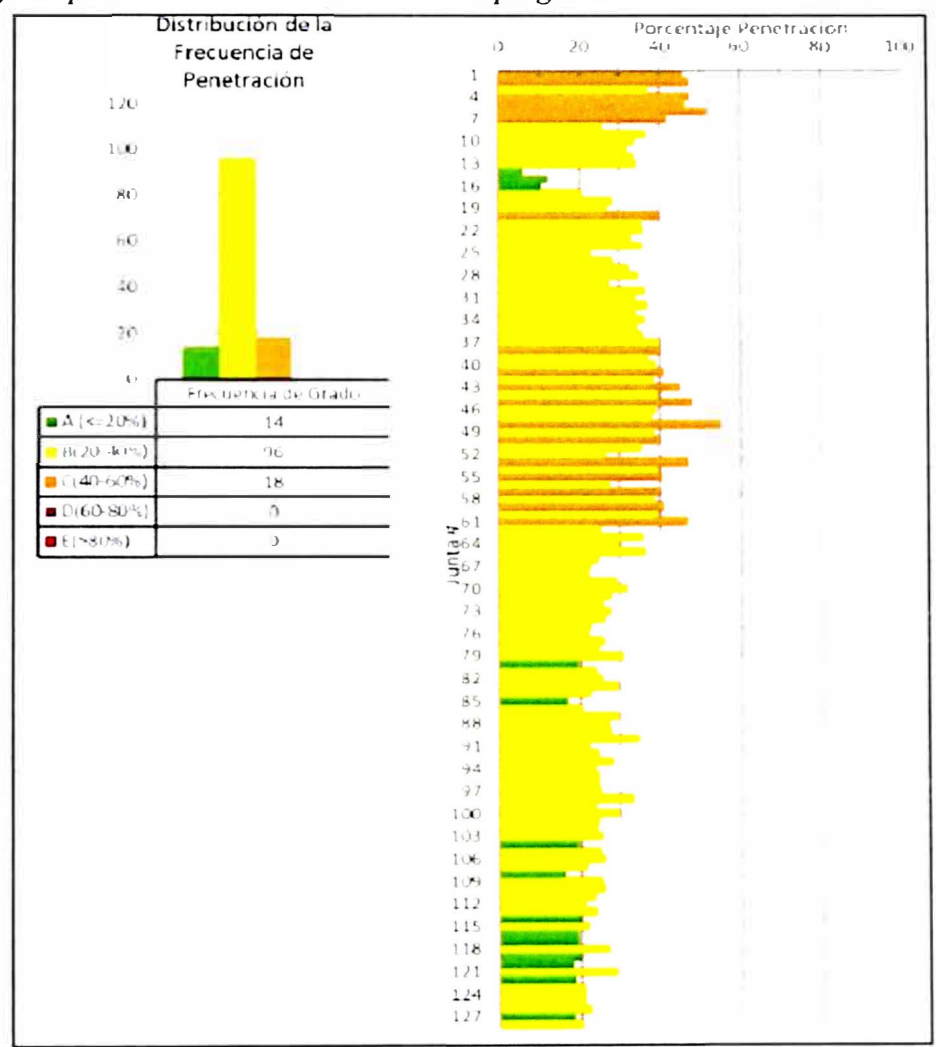


Tabla 20.
Tabla de % Penetración de la tubería de grado "A", "B" y "C" (1 al 37).

•	Tope(pies)	Base(pies)	Largo(pies)	Max Pen Prof.(pies)	Max Pen(pulg)	Max Pen(%)	Pen Grado	Max Pérd Prof.(pies)	Max Pérd (%)	PM Grado	Min Diam Prof (pies)	Min Diam (mag)
1	-3.49	24.03	27.52	12.26	4.205	45 6	С	4.39	5.9	В	19.08	3 389
2	24.41	55.61	31.20	42.68	4.214	47.2	С	55.50	5.9	В	25.04	3.378
3	56.31	86.97	30.67	59.23	4.159	37.1	В	72.34	6.5	В	81.94	3.228
4	87.67	118.57	30.90	90.92	4.215	47.4	С	87.77	5.1	В	96.91	3.308
5	119.27	150.33	31.06	141.97	4.208	46.1	С	137.12	7.7	В	123.32	3.266
6	151.03	181.48	30.45	181.35	4.241	52.2	С	152.19	7.6	В	176.75	2.912
7	182.18	213.70	31.52	182.35	4.184	41.7	С	182.19	4.3	A	187.66	2.931
8	214.33	244.20	29.87	228.41	4.097	25.6	В	228.63	1.7	A	234.55	2.946
9	244.90	275.69	30:79	275.38	4.157	36.7	В	274.87	3.0	A	245.55	3.001
10	276.39	307.38	31.00	292.68	4.141	33.8	В	289.28	3.9	A	284.69	3.073
11	308.08	338.43	30.35	308.09	4.130	31.7	В	337 88	1.8	A	330.48	2.957
12	339.13	370.13	31.00	339.13	4.140	33.6	В	339.13	2.1	A	351.41	2.966
13	370.83	401.53	30 70	401.50	4.143	34.1	В	400.18	5.6	В	384.02	2_876
14	402.04	433.08	31.05	409.98	3.991	6.1	A	409.98	0.2	A	428.97	2.939
15	433.78	464.41	30.63	446.13	4.024	12.2	A	446.13	0.5	A	453.72	3.065
16	465.11	495.57	30.47	495.57	4.015	10.5	A	495.57	1.0	A	473.11	3.008
17	496.27	527.25	30.97	527.25	4.070	20.7	В	527.25	4.1	A	498.46	3.043
18	527.95	558.64	30.70	528.33	4.111	28.2	В	528.08	2.3	A	529.73	2.985
19	559.34	590.45	31 11	590.44	4.103	26.8	В	590 44	2.8	A	570 02	3.016
20	591.15	621.92	30.77	621.30	4_175	40.0	С	591.15	3.6	A	593.22	3.062
21	622.62	653.18	30 56	648.82	4.149	35.2	В	652 69	4:9	A	641.60	3.050
22	653.88	684.67	30.79	683 52	4.152	35.8	В	683.96	5.2	В	672.31	2.924
23	685.37	716.13	30 77	685 49	4.135	32.7	В	685 51	4.5	A	690 87	2.864
24	716.83	747.83	31.00	746.56	4.151	35.6	В	717.96	4.9	A	723.11	3.005
25	748.53	778.81	30.28	778.45	4.080	22.5	В	778.81	1.4	A	753.43	3.094
26	779.51	810.32	30.81	782.82	4.111	28.2	В	779.77	4.7	A	796.56	3.143
27	811.02	841.26	30.24	811.41	4.133	32.3	В	811.24	4.9	A	839.42	3.125
28	841.96	873.39	31.43	872.93	4.145	34.5	В	872.80	4.1	A	853.70	3.085
29	874.09	905.27	31.18	874.27	4.105	27.1	В	874.22	4.8	A	877.68	3.213
30	905.97	936.60	30.63	907,07	4.156	36.5	В	906.49	5.0	В	910.45	3.249
31	937.30	967.74	30.44	938.01	4.141	33.8	В	937 34	3.8	A	941.85	3.081
32	968.44	999.30	30.86	968.50	4.158	36.9	В	968.50	5.4	В	972.76	3.158
33	1000.00	1030.79	30.79	1020.38	4.142	33.9	В	1030.63	5.9	В	1010.42	3.231
34	1031.49	1062.34	30.86	1031.53	4.155	36.3	В	1032.73	5.3	В	1033.63	3.186
35	1063.04	1093.39	30.35	1092.63	4.144	34.3	В	1064.56	3.5	A	1069.81	3.027
36	1094.09	1125.50	31.41	1121.80	4.151	35.6	В	1095.17	4.8	A	1104.96	3.138
37	1126.20	1156.99	30.79	1133.77	4.174	39.9	В	1127 41	5.0	В	1147.72	3.286

**Tabla 21.**Tabla de % Penetración de la tubería de grado "A", "B" y "C" (38 al 76).

		F-16	100			de la place					Min Diam	
	Tope(pies)	Base(pies)	Largo(pies)	Max Pen Prof.(pies)	Max Pen(pulg)	Max Pen(%)	Pen Grado	Max Pérd Prof.(pies)	Max Pérd (%)	PM Grado	Prof	Min Diam (pulg)
44	7.887	4.77	To the								(pies)	ALLE
38	1157.69	1188.43	30.74	1167.88	4.175	40.0	С	1160.72	5.8	В	1168.74	3.248
39	1189.13	1219.60	30.47	1191.88	4.159	37.1	В	1191.88	6.4	В	1214.35	3.242
40	1220.30	1250.88	30.58	1246.55	4.168	38.7	В	1231.24	6.2	В	1226.93	3.343
41	1251.58	1282.69	31.11	1257.59	4.180	41.0	С	1261.54	6.7	В	1256.13	3.222
42	1283.39	1314.41	31.02	1286.48	4.164	38.0	В	1297.93	6.1	8	1289.61	3.437
43	1315.11	1345.78	30.67	1322.82	4.201	44.8	С	1343.73	5.5	В	1319.89	3.287
44	1346.48	1376.98	30.49	1376.38	4.172	39.5	В	1356.56	4.7		1361.70	3.325
45	1377.35	1408.25	30,91	1397.36	4.219	48.2	С	1385.53	5.5	8	1404.34	3.289
46	1408.95	1440.30	31.34	1414.00	4.168	38.7	В	1414.00	5.9	В	1412.50	3.447
47	1441.00	1471.65	30.65	1446.19	4.163	37.8	В	1447 56	5.1	В	1445.55	3.375
48	1472.35	1503.09	30.74	1501.26	4.257	55.2	С	1487.58	5.0	A	1473.75	3.211
49	1503.79	1534.60	30.81	1531.31	4.166	38.4	В	1531.31	3,2		1519.59	3.314
50	1535.30	1566.00	30,70	1558.02	4.175	40.0	С	1565.03	4.6	<b>A</b>	1538.26	3.336
51	1566.70	1597.39	30.70	1582 47	4.149	35.2	В	1597.37	3.5	A	1577.48	3 313
52	1598.09	1629.11	31.02	1601.50	4.101	26.4	В	1624.93	4.0	A	1606.66	3.302
53	1629.81	1660.58	30.77	1655.67	4.213	47.0	С	1629.99	4.1	A	1660.19	3.329
54	1661.28	1691.95	30.67	1666.67	4.171	39.3	В	1661.28	3.5	A	1662.91	3.294
55	1693.43	1723.39	29.96	1695.82	4.178	40.6	С	1695.14	4.0	A	1695.78	3.293
56	1724.09	1754.81	30.72	1749.52	4.105	27.1	В	1724.57	3.7	A	1725.92	3.395
57	1755.51	1786.30	30.79	1785.42	4.175	40.0	С	1755.99	4.1	A	1760.03	3.344
58	1787.00	1817.77	30.77	1787.50	4.166	38.4	В	1787.12	4.1	A	1807.92	3.388
59	1818.37	1849.28	30.92	1836.72	4.179	40.8	С	1847.87	3.4	A	1833.75	3.375
60	1849.78	1880.95	31.17	1851.05	4.170	39.1	В	1880.39	5.5	В	1868.30	3.416
61	1881.64	1912.28	30.64	1882 50	4.211	46.7	С	1882.50	4.1	A	1910.50	3.377
62	1912.78	1943.45	30.67	1942.36	4.093	24.9	В	1943.16	3.1	A	1925.70	3.244
63	1943.95	1975.14	31.19	1973.10	4.151	35.6	В	1968.59	5.0	8	1957.92	3_348
64	1975.77	2005.41	29.64	1984.71	4.120	29.9	В	1980.90	2.2	A	2003.79	3.444
65	2006.29	2038.01	31.72	2037.26	4.156	36.5	В	2038.01	3.1	A	2018.22	3.480
66	2038.51	2069.47	30.97	2040.32	4.091	24.5	В	2068.54	4.0	A	2044.51	3.504
67	2069.97	2101.38	31.40	2083.86	4.082	22.9	В	2071.48	4.1	A	2097.41	3.589
68	2101.88	2132.80	30.92	2105.65	4.077	22.0	В	2102.97	3.6	A	2131.27	3.514
69	2133.30	2164.08	30.78	2162.49	4.117	29.3	В	2134.78	4.3	A	2160.62	3.536
70	2164.58	2195.73	31.15	2171.90	4.130	31.7	В	2195.33	4.6	A	2180.19	3.435
71	2196.23	2227.26	31.03	2222.56	4.108	27.7	В	2227.12	4.7	A	2211.56	3.568
72	2227.76	2258.52	30.76	2238.92	4.098	25.8	В	2230.61	3.8	A	2238.68	3.570
73	2259.02	2290.17	31.15	2262.65	4.108	27.7	В	2261.78	4.1	A	2271.37	3.578
74	2290.67	2321.43	30.76	2300.09	4.101	26.4	В	2314.34	3.4	A	2310.63	3.577
75	2321.93	2352.82	30.90	2331.55	4.081	227	В	2351.57	3.6	A	2342.39	3_549
76	2353.32	2384.61	31.29	2356.98	4.077	22.0	В	2384.20	3.8	A	2357.92	3.543

Tabla 22.

Tabla de % Penetración de la tubería de grado "A", "B" y "C" (77 al 115)

	Tope(pies)	Base(pies)	Largo(pies)	Max Pen Prof.(pies)	Max Pen(pulg)	Max Pen(%)	Pen Grado	Max Pérd Prof.(pies)	Max Pérd (%)	PM Grado	Min Diam Prof (pies)	Min Diam (puls)	
77	2385.11	2415.85	30.73	2393.40	4.100	26.2	В	2385.62	4.6	Α	2411.33	3.565	
78	2416.35	2447.40	31.06	2418.87	4.091	24.5	8	2447.26	4.5	A	2431.82	3.534	
79	2447.90	2478.94	31.03	2476.14	4.125	30.8	8	2449.45	5.2	8	2451.04	3.522	
80	2479.44	2510.50	31.06	2498.40	4.063	19.4	A	2509.58	4.6	A	2488.96	3.545	
81	2511.00	2541.94	30.94	2526.93	4.087	23.8	В	2541.35	4.0	A	2527.48	3.577	
82	2542.44	2573.50	31.06	2566.21	4.096	25.5	В	2542.96	4.6	A	2558.49	3.600	
83	2574.00	2604.71	30.71	2600.09	4.118	29.5	В	2599.91	4.9	A	2587.27	3.557	
84	2605.21	2636.43	31.22	2612.62	4.080	22.5	В	2636.17	4.1	A	2616.27	3.540	
85	2636.93	2667.87	30.94	2653.29	4.050	17.0	A	2637.97	2.0	A	2651.94	3.535	
86	2668.37	2699.13	30.76	2693.95	4.068	20.3	8	2670.14	3.2	A	2689.00	3.526	
87	2699.63	2730.75	31.13	2720.09	4.118	29.5	В	2729.29	4.0	A	2723.62	3.567	
88	2731.25	2762.06	30.80	2735.84	4.104	26.9	В	2761.97	4.7	A	2756.28	3.550	
89	2762.56	2793.73	31.17	2778.67	4.107	27.5	В	2764.60	3.4	A	2773.55	3.555	
90	2794.23	2825.29	31.06	2798.31	4.145	34.5	В	2824.48	5.7	В	2808.93	3.586	
91	2825.79	2856.64	30.85	2829.79	4.078	22.1	В	2826.74	5.6	В	2846.80	3.551	
92	2857.14	2888.19	31.05	2873.37	4.090	24.4	8	2887.79	5.4	В	2879.59	3.518	
93	2888.69	2919.70	31.02	2900.82	4.111	28.2	В	2889.48	4.5	A	2909.60	3.567	
94	2920.20	2950.88	30.68	2946.57	4.084	23.2	В	2920.54	4.1	A	2933.24	3.520	
95	2951.38	2982.61	31 23	2971.89	4.092	24.7	В	2982.34	4.6	A	2972.28	3.520	
96	2983.11	3013.98	30.87	2983.51	4.090	24.4	В	2983.51	5.6	В	2991.26	3.557	
97	3014.48	3045.63	31.15	3026.17	4.094	25.1	В	3015.67	4.4	A	3020.70	3.431	
98	3046.13	3076.89	30.76	3064.13	4.139	33.4	В	3064.13	5.0	В	3069.84	3.669	
99	3077.39	3108.33	30.95	3085.87	4.084	23.2	В	3100.52	4.2	A	3091.07	3.547	
100	3108.83	3139.46	30.62	3118.22	4.120	29.9	В	3132.94	5.3	В	3121.00	3.605	
101	3139.96	3171.12	31 16	3140.35	4.091	24.5	В	3152.61	6.3	В	3145.80	3.613	
102	3171.62	3202.74	31.12	3200 28	4.087	23.8	В	3195.60	5.7	В	3202.57	3.658	
103	3203.24	3234.30	31 06	3206.97	4.097	25.6	В	3206.28	46	A	3208.73	3.660	
104	3234.80	3265.37	30.57	3238.79	4.063	19.4	A	3235.46	5.5	В	3264.90	3.859	
105	3265.87	3297.15	31.29	3280.96	4.095	25.3	В	3276.75	5.4	В	3279.01	3.849	
106	3297.65	3328.63	30.97	3319.81	4.101	26.4	В	3328.22	6.9	В	3305.19	3.803	
107	3329.13	3360.23	31.10	3332.08	4.076	21.8	В	3353.63	3.7	A	3329.18	3.728	
108	3360.73	3391.52	30.80	3379.62	4.045	16.1	A	3370.54	5.1	В	3373.43	3.826	
109	3392.02	3423.04	31 02	3418.10	4.096	25.5	В	3402.05	6.0	8	3412.66	3.877	
110	3423.54	3454.60	31.06	3427.08	4.099	26.0	В	3454.37	5.3	В	3431.44	3.834	
111	3455.10	3485.93	30.84	3460.15	4.085	23.4	В	3485.56	5.9	В	3475.99	3 881	
112	3486.43	3517.29	30.85	3506, 12	4.072	21.0	В	3491.65	6.3	В	3486.80	3.866	
113	3517.79	3548.88	31.10	3525.18	4.088	24.0	В	3539.96	5.8	В	3536.23	3.881	
114	3549.38	3580.26	30.88	3560.34	4.066	19.9	A	3555.62	5.8	В	3563.50	3.885	
115	3580.76	3612.00	31.23	3584.21	4.079	22.3	8	3592.51	4.2	A	3599.86	3 881	

Tabla 23.
Tabla de % Penetración de la tubería de grado "A", "B" y "C" (116 al 128).

	Tope(pies)	Base(pies)	Largo(pies)	Max Pen Prof.(pies)	Max Pen(pulg)	Max Pen(%)	Pen Grado	Max Pérd Prof.(pies)	Max Pérd (%)	PM Grado	Min Diam Prof (pies)	Min Diam (pulg)
116	3612.50	3643.06	30.57	3627.35	4.063	19.4	A	3618.64	5.1	В	3620.64	3.895
117	3643.56	3674.78	31.22	3654.98	4.062	19.2	A	3648.73	5.5	В	3646.67	3.849
118	3675.28	3706.05	30.77	3688.46	4.104	26.9	В	3705.68	5.9	В	3690.58	3.881
119	3706.55	3737.84	31.29	3733.73	4.065	19.7	A	3733.79	6.0	В	3737.15	3.876
120	3738.34	3768.88	30.54	3751.40	4.057	18.3	A	3751.62	5.8	В	3757.04	3.886
121	3769.38	3800.60	31.22	3773.26	4.116	29.2	В	3778.40	6.3	В	3789.68	3.869
122	3801.10	3831.97	30.87	3818.00	4.059	18.6	A	3821.77	5.5	В	3820.47	3.881
123	3832.47	3863.29	30.83	3833.00	4.072	21.0	В	3862.78	4.9	A	3839.97	3.855
124	3863.79	3894.96	31.16	3880.91	4.073	21.2	В	3894.77	6.2	В	3864.81	3.891
125	3895.46	3926.32	30.87	3909.65	4.071	20.8	В	3900.80	6.6	В	3896.63	3.885
126	3926.82	3957.94	31.12	3939.57	4.081	22.7	В	3939.14	6.1	В	3948.39	3.884
127	3958.44	3970.53	12.08	3968.65	4.058	18.5	A	3965.12	6.0	В	3961.48	3.884
128	3971.72	3982.91	11.18	3978.80	4.069	20.5	В	3978.80	7.5	В	3971.96	3.800

Figura 44.
Perfil de máximo porcentaje de pérdida de metal de la tuberia de 4.5 pulgadas.

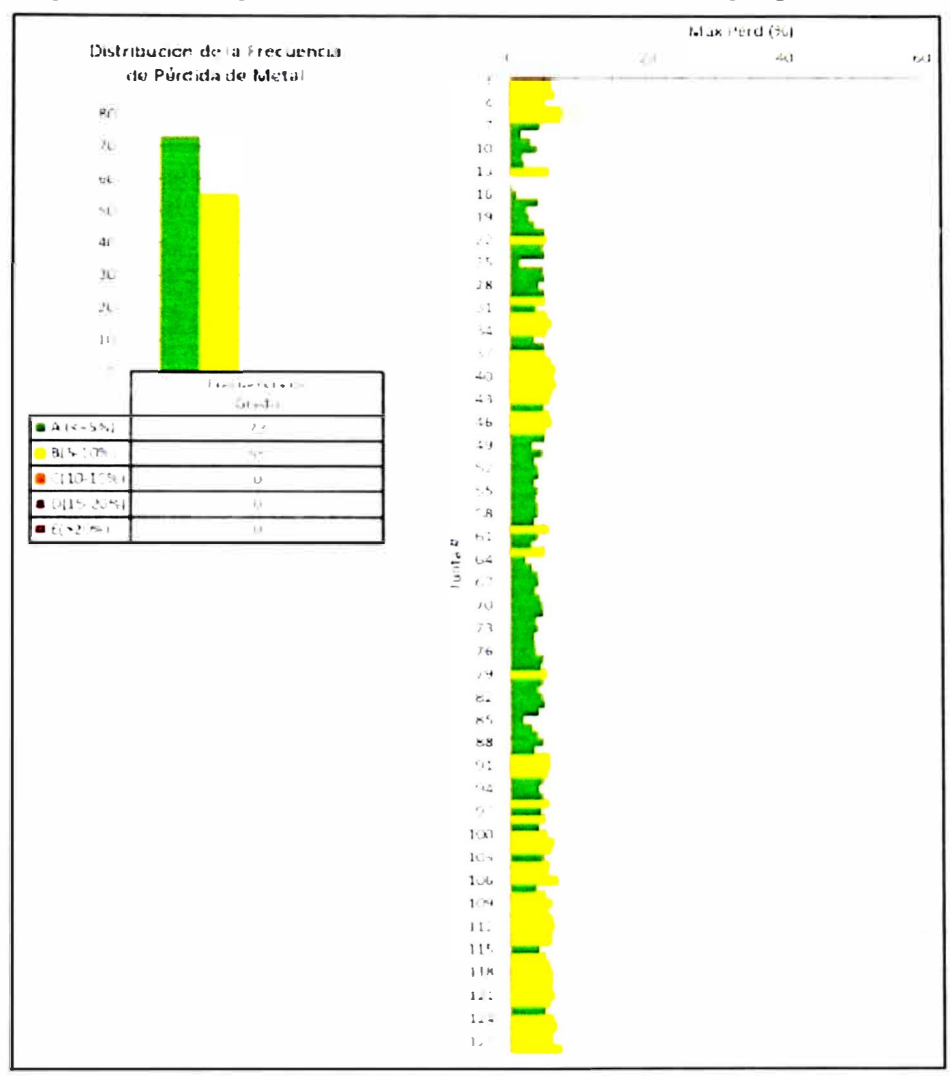


Tabla 24.
Tabla de % Perdida de metal de la tubería de grado "A" y "B" (1 al 37)

•	Tope(pies)	Base(pies)	Largo(pies)	Max Pen Prof.(pies)	Max Pen(pulg)	Max Pen(%)	Pen Grado	Max Pérd Prof.(pies)	Max Pérd (%)	PM Grado	Min Diam Prof (pies)	Min Diam (pulg)
1	-3.49	24.03	27.52	12.26	4.205	45.6	С	4.39	5.9	В	19.08	3.389
2	24.41	55.61	31.20	42.68	4.214	47.2	С	55.50	5.9	В	25.04	3.378
3	56.31	86.97	30.67	59.23	4.159	37.1	В	72.34	6.5	В	81 94	3.228
4	87.67	118.57	30.90	90.92	4.215	47.4	С	87.77	5.1	В	96.91	3.308
5	119.27	150.33	31.06	141.97	4.208	46.1	С	137.12	7.7	В	123.32	3.266
6	151.03	181.48	30.45	181.35	4.241	52.2	С	152.19	7.6	В	176.75	2.912
7	182.18	213.70	31.52	182.35	4.184	41.7	С	182.19	4.3	A	187.66	2.931
8	214.33	244.20	29.87	228.41	4.097	25.6	В	228.63	1.7	A	234.55	2.946
9	244.90	275.69	30.79	275.38	4.157	36.7	В	274.87	3.0	A	245.55	3.001
10	276.39	307.38	31.00	292.68	4.141	33.8	В	289.28	3.9	A	284.69	3.073
11	308.08	338.43	30.35	308.09	4.130	31.7	В	337.88	1.8	A	330.48	2.957
12	339.13	370.13	31,00	339.13	4.140	33.6	В	339.13	2.1	A	351.41	2.966
13	370.83	401.53	30.70	401.50	4.143	34.1	В	400.18	5.6	В	384.02	2.876
14	402.04	433.08	31.05	409 98	3.991	6.1	A	409.98	0.2	_ A	428.97	2 939
15	433.78	464.41	30.63	446.13	4.024	12.2	A	446.13	0.5	A	453.72	3.065
16	465.11	495.57	30.47	495_57	4.015	10.5	A	495.57	1.0	A	473.11	3.008
17	496.27	527 25	30.97	527.25	4 070	20.7	В	527.25	4.1	A	498.46	3.043
18	527.95	558.64	30.70	528.33	4.111	28.2	В	528 08	2.3	A	529.73	2.985
19	559.34	590.45	31.11	590.44	4.103	26.8	В	590.44	2.8	A	570.02	3.016
20	591.15	621.92	30.77	62 130	4.175	40.0	С	591.15	3.6	A	593.22	3.062
21	622.62	653.18	30 56	648.82	4 149	35.2	В	652 69	4.9	A	641.60	3.050
22	653.88	684.67	30.79	683.52	4.152	35.8	В	683.96	5.2	В	672.31	2.924
23	685.37	716.13	30.77	685.49	4.135	32.7	В	685.51	4.5	A	690.87	2.864
24	716.83	747.83	31.00	746.56	4.151	35.6	В	717.96	4.9	A	723.11	3.005
25	748.53	778.81	30.28	778.45	4.080	22.5	В	778.81	1_4	A	75 3.43	3.094
26	779.51	810.32	30.81	782.82	4.111	28.2	В	779.77	4.7	A	796.56	3.143
27	811.02	841.26	30.24	811.41	4.133	32.3	В	811.24	4.9	A	839 42	3.125
28	841.96	873.39	31.43	872.93	4.145	34.5	В	872.80	4.1	A	853.70	3.085
29	874.09	905.27	31.18	874.27	4.105	27.1	В	874 22	4.8	A	877.68	3.213
30	905.97	936.60	30.63	907.07	4,156	36.5	В	906.49	5.0	В	910.45	3.249
31	937.30	967.74	30.44	938.01	4.141	33.8	В	937 34	3.8	A	941.85	3.081
32	968.44	999.30	30.86	968.50	4.158	36.9	В	968.50	5.4	В	972.76	3.158
33	1000.00	1030.79	30.79	1020.38	4.142	33.9	В	1030.63	5.9	В	1010.42	3.231
34	1031.49	1062.34	30.86	1031.53	4.155	36.3	В	1032.73	5.3	В	1033.63	3.186
35	1063.04	1093.39	30.35	1092.63	4.144	34.3	В	1064.56	3.5	A	1069.81	3.027
36	1094.09	1125.50	31.41	1121.80	4.151	35.6	В	1095.17	4.8	A	1104.96	3.138
37	1126.20	1156.99	30.79	1133.77	4.174	39.9	В	1127.41	5.0	В	1147.72	3.286

Tabla 25.
Tabla de % Perdida de metal de la tuberia de grado "A" y "B" (38 al 76).

		-		A4 D						-	Min Diam	
#	Tope(pies)	Base(pies)	Largo(pies)	Max Pen Prof.(pies)	Max Pen(pulg)	Max Pen(%)	Pen Grado	Max Pérd Prof.(pies)	Max Pérd (%)	PM Grado	Prof	Min Diam (pulg)
						1					(pies)	
38	1157.69	1188.43	30.74	1167.88	4.175	40.0	С	1160.72	5.8	В	1168.74	3.248
39	1189.13	1219.60	30.47	1191.88	4.159	37.1	В	1191.88	6.4	В	1214.35	3.242
40	1220.30	1250.88	30.58	1246.55	4.168	38.7	В	1231.24	6.2	В	1226.93	3.343
41	1251.58	1282.69	31.11	1257.59	4.180	41.0	С	1261.54	6.7	В	1256.13	3.222
42	1283.39	1314.41	31.02	1286.48	4.164	38.0	В	1297.93	6.1	В	1289.61	3.437
43	1315.11	1345.78	30.67	1322.82	4.201	44.8	С	1343.73	5.5	В	1319.89	3.287
44	1346.48	1376.98	30.49	1376 38	4.172	39.5	В	1356 56	4.7	A	1361.70	3.325
45	1377.35	1408.25	30.91	1397.36	4.219	48.2	С	1385.53	5.5	В	1404.34	3.289
46	1408.95	1440.30	31.34	1414.00	4.168	38.7	В	1414.00	5.9	В	1412 50	3.447
47	1441.00	1471.65	30 65	1446.19	4.163	37.8	В	1447 56	5.1	В	1445.55	3.375
48	1472.35	1503.09	30.74	1501.26	4.257	55.2	С	1487.58	5.0	A	1473.75	3.211
49	1503.79	1534.60	30 81	1531.31	4.166	38.4	В	1531.31	3.2	A	1519.59	3.314
50	1535.30	1566.00	30.70	1558.02	4.175	40.0	С	1565.03	4.6	A	1538.26	3.336
51	1566.70	1597.39	30.70	1582.47	4.149	35.2	В	1597.37	3.5	A	1577.48	3.313
52	1598.09	1629.11	31.02	1601.50	4.101	26.4	В	1624.93	4.0	. A	1606.66	3.302
53	1629.81	1660.58	30.77	1655.67	4.213	47.0	С	1629.99	4.1	A	1660.19	3.329
54	1661.28	1691.95	30.67	1666,67	4.171	39.3	В	1661.28	3.5	A	1662.91	3.294
55	1693.43	1723.39	29.96	1695.82	4.178	40.6	С	1695.14	4.0	A	1695.78	3.293
56	1724.09	1754.81	30.72	1749.52	4.105	27.1	В	1724.57	3.7	A	1725.92	3.395
57	1755.51	1786.30	30.79	1785.42	4.175	40.0	С	1755 99	4.1	A	1760.03	3.344
58	1787.00	1817.77	30.77	1787.S0	4.166	38.4	В	1787.12	4.1	A	1807.92	3.388
59	1818.37	1849.28	30.92	1836.72	4.179	40.8	С	1847.87	3.4	A	1833.75	3.375
60	1849.78	1880.95	31.17	1851.05	4.170	39.1	В	1880.39	5.5	В	1868.30	3.416
61	1881 64	1912.28	30.64	1882.50	4.211	46.7	С	1882.50	4.1	A	1910.50	3.377
62	1912.78	1943.45	30.67	1942.36	4.093	24.9	В	1943.16	3.1	A	1925.70	3.244
63	1943.95	1975.14	31 19	1973.10	4.151	35.6	В	1968.59	5.0	В	1957.92	3.348
64	1975.77	2005.41	29.64	1984.71	4.120	29.9	В	1980.90	2.2	A	2003.79	3.444
65	2006.29	2038.01	31 72	2037.26	4.156	36.5	В	2038.01	3.1	A	2018.22	3.480
66	2038.51	2069.47	30.97	2040.32	4.091	24.5	В	2068.54	4.0	A	2044.51	3.504
67	2069.97	2101.38	31.40	2083.86	4.082	22.9	В	2071.48	4_1	A	2097.41	3.589
68	2101.88	2132.80	30.92	2105.65	4.077	22.0	В	2102.97	3.6	A	2131.27	3.514
69	2133.30	2164.08	30.78	2162.49	4.117	29.3	В	2134.78	4.3	A	2160.62	3.536
70	2164.58	2195.73	31.15	2171.90	4.130	31.7	В	2195.33	4.6	A	2180.19	3.435
71	2196.23	2227.26	31.03	2222.56	4.108	27.7	В	2227 12	4.7	A	2211.56	3.568
72	2227.76	2258.52	30.76	2238.92	4.098	25.8	В	2230.61	3.8	A	2238.68	3.570
73	2259.02	2290.17	31.15	2262.65	4.108	27.7	В	2261.78	4.1	A	2271.37	3.578
74	2290.67	2321.43	30.76	2300.09	4.101	26.4	В	2314.34	3.4	A	2310.63	3.577
75	2321.93	2352.82	30.90	2331.55	4.081	22.7	В	2351.57	3.6	A	2342.39	3.549
76	2353.32	2384.61	31.29	2356.98	4.077	22.0	В	2384.20	3.8	A	2357.92	3.543

Tabla 26.
Tabla de % Perdida de metal de la tubería de grado "A" y "B" (77 al 115).

•	Tope(pies)	Base(pies)	Largo(pies)	Max Pen Prof.(pies)	Max Pen(pulg)	Max Pen(%)	Pen Grado	Max Pérd Prof.(pies)	Max Pérd (%)	PM Grado	Min Diam Prof (pies)	Atin Diana (pulg)
77	2385.11	2415.85	30.73	2393.40	4 100	26.2	В	2385.62	4.6	A	2411.33	3.565
78	2416.35	2447.40	31.06	2418.87	4.091	24.5	В	2447.26	4.5	A	2431.82	3.534
79	2447.90	2478.94	31.03	2476.14	4.125	30.8	В	2449.45	5.2	В	2451.04	3.522
80	2479.44	2510.50	31.06	2498.40	4.063	19.4	A	2509.58	4.6	A	2488.96	3.545
81	2511.00	2541.94	30.94	2526.93	4.087	23.8	В	2541.35	4.0	A	2527.48	3.577
82	2542.44	2573.50	31.06	2566.21	4.096	25.5	В	2542.96	4.6	A	2558.49	3.600
83	2574.00	2604.71	30.71	2600.09	4.118	29.5	В	2599.91	4.9	A	2587.27	3.557
84	2605.21	2636.43	31.22	2612.62	4.080	22.5	В	2636.17	4.1	A	2616.27	3.540
85	2636.93	2667.87	30 94	2653.29	4.050	17.0	A	2637.97	2.0	A	2651.94	3.535
86	2668.37	2699.13	30.76	2693.95	4.068	20.3	В	2670.14	3.2	A	2689.00	3.526
87	2699.63	2730.75	31.13	2720.09	4.118	29.5	В	2729.29	4.0	A	2723.62	3.567
88	2731.25	2762.06	30.80	2735.84	4.104	26.9	В	2761.97	4.7	A	2756.28	3.550
89	2762,56	2793.73	31.17	2778.67	4.107	27.5	В	2764.60	3.4	A	2773.55	3.555
90	2794.23	2825 29	31.06	2798.31	4.145	34.5	В	2824.48	5.7	В	2808.93	3.586
91	2825.79	2856.64	30.85	2829.79	4.078	22.1	В	2826.74	5.6	В	2846.80	3.551
92	2857.14	2888.19	31.05	2873.37	4.090	24.4	В	2887.79	5.4	В	2879.59	3.518
93	2888.69	2919.70	31 02	2900.82	4.111	28.2	В	2889.48	4.5	A	2909.60	3.567
94	2920.20	2950.88	30.68	2946.57	4.084	23.2	В	2920.54	4.1	A	2933.24	3.520
95	2951.38	2982.61	31.23	2971.89	4.092	24.7	В	2982.34	46	A	2972.28	3.520
96	2983.11	3013.98	30.87	2983.51	4.090	24.4	В	2983.51	5.6	В	2991.26	3.557
97	3014.48	3045.63	31.15	3026.17	4.094	25.1	В	3015.67	4.4	A	3020.70	3.431
98	3046.13	3076.89	30.76	3064_13	4.139	33.4	В	3064.13	5.0	В	3069.84	3.669
99	3077.39	3108.33	30.95	3085.87	4.084	23.2	В	3100.52	4.2	A	3091.07	3.547
100	3108.83	3139.46	30.62	3118.22	4.120	29.9	В	3132.94	5.3	В	3121.00	3.605
101	3139.96	3171.12	31.16	3140.35	4.091	24.5	В	3152.61	6.3	В	3145.80	3.613
102	3171.62	3202.74	31.12	3200.28	4.087	23.8	В	3195.60	5.7	В	3202.57	3.658
103	3203 24	3234.30	3106	3206.97	4.097	25 6	В	3206.28	46	<b>A</b>	3208.73	3.660
104	3234.80	3265.37	30.57	3238.79	4.063	19.4	A	3235.46	5.5	В	3264.90	3.859
105	3265.87	3297.15	31.29	3280.96	4.095	25.3	В	3276.75	5 4	В	3279.01	3.849
106	3297.65	3328.63	30.97	3319.81	4,101	26.4	В	3328.22	6.9	В	3305.19	3.803
107	3329.13	3360.23	31.10	3332.08	4.076	21.8	В	3353.63	3.7	A	3329.18	3.728
108	3360.73	3391_52	30.80	3379.62	4.045	16.1	A	3370.54	5.1	В	3373.43	3.826
109	3392.02	3423.04	31.02	3418.10	4.096	25.5	В	3402.05	6.0	В	3412.66	3.877
110	3423.54	3454.60	31.06	3427.08	4.099	26.0	В	3454.37	5.3	В	3431.44	3.834
111	3455.10	3485.93	30.84	3460.15	4.085	23.4	В	3485.56	5 9	В	3475.99	3.881
112	3486.43	3517.29	30.85	3506.12	4.072	21.0	В	3491.65	6.3	В	3486.80	3.866
113	3517.79	3548.88	31.10	35 25.18	4.088	24.0	В	35 39.96	5.8	В	3536.23	3.881
114	3549.38	3580.26	30.88	3560.34	4.066	19.9	A	3555.62	5.8	В	3563.50	3.885
115	3580.76	3612.00	31 23	3584.21	4.079	22,3	В	3592.51	4.2	A	3599.86	3.881

**Tabla 27.**Tabla de % Perdida de metal de la tubería de grado "A" y "B" (116 al 128).

	Tope(pies)	Base(pies)	Largo(pies)	Max Pen Prof.(pies)	Max Pen(pulg)	Max Pen(%)	Pen Grado	Max Pérd Prof.(pies)	Max Pérd (%)	PM Grado	Min Diam Prof (pies)	Min Diam (pulg)
116	3612.50	3643.06	30.57	3627.35	4.063	19.4	Α	3618.64	5.1	В	3620.64	3.895
117	3643.56	3674.78	31.22	3654.98	4.062	19.2	. A	3648.73	5.5	В	3646.67	3.849
118	3675.28	3706.05	30.77	3688.46	4.104	26.9	В	3705.68	5.9	В	3690.58	3.881
119	3706.55	3737.84	31.29	3733.73	4.065	19.7	A	3733.79	6.0	В	3737.15	3.876
120	3738.34	3768.88	30.54	3751.40	4.057	18.3	A	3751.62	5.8	В	3757.04	3.886
121	3769.38	3800.60	31.22	3773.26	4.116	29.2	В	3778.40	6.3	В	3789.68	3.869
122	3801.10	3831.97	30.87	3818.00	4.059	18.6	A	3821.77	5.5	В	3820.47	3.881
123	3832.47	3863.29	30.83	3833.00	4.072	21.0	В	3862.78	4.9	A	3839.97	3.855
124	3863.79	3894.96	31.16	3880.91	4.073	21.2	В	3894.77	6.2	В	3864.81	3.891
125	3895.46	3926.32	30.87	3909.65	4.071	20.8	В	3900.80	6.6	В	3896.63	3.885
126	3926.82	3957.94	31.12	3939.57	4.081	22.7	В	3939.14	6.1	В	3948.39	3.884
127	3958.44	3970.53	12.08	3968.65	4.058	18.5	A	3965.12	6.0	В	3961.48	3.884
128	3971.72	3982.91	11.18	3978.80	4.069	20.5	В	3978.80	7.5	В	3971.96	3.800

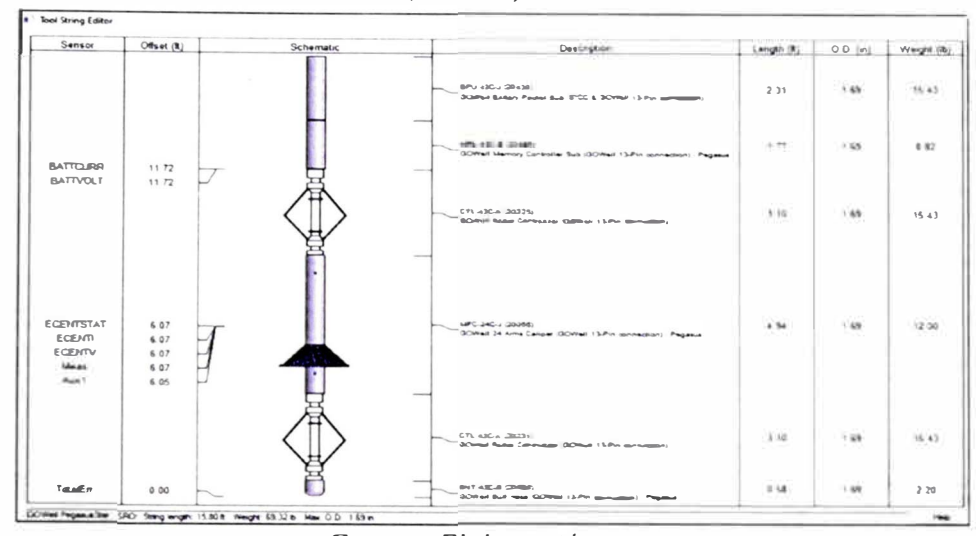
**Figura 45.** *Multifinger Caliper 24 brazos.* 



# Fase 5 - Esquema de la Sarta de Herramienta (MFC24)

A continuación, se muestra en la **Figura 51** la configuración de la sarta de herramienta (MFC24) para el estudio de toma de registro de integridad de tuberia del pozo MO-02, campo Los Ángeles.

Figura 46.
Configuración de la sarta de herramienta (MFC24).



Fase 6 - Análisis e interpretación del registro de integridad de tubería

Los resultados arrojados por el registro MFC56, se pudo observar una tuberia de producción de 4.5 pulgadas x 12.6 lb/pies, cuyo diámetro interno es 3.958 pulgadas, valor que está muy cerca del valor leído por la herramienta, la tubería 4.5 pulgadas se encuentra en buenas condiciones, se estiman perdidas de metal muy ligeras a ligeras y penetraciones ligeras a moderadas. En total se analizaron 128 tubos, de los cuales se pudo identificar que la mayor penetración es de 55.2% a 458 metros (las mayores penetraciones citadas en este análisis se encuentran en la zona donde el Multifinger Caliper registro la mayor cantidad de residuos pegados en las paredes de la tubería), en ese sentido la mayor pérdida de metal está a 42 metros con un 7.7%, se muestra en la Tabla 17. (Máx.Pen%-MFC24) y (Max. Perd.Metal%-MFC24).

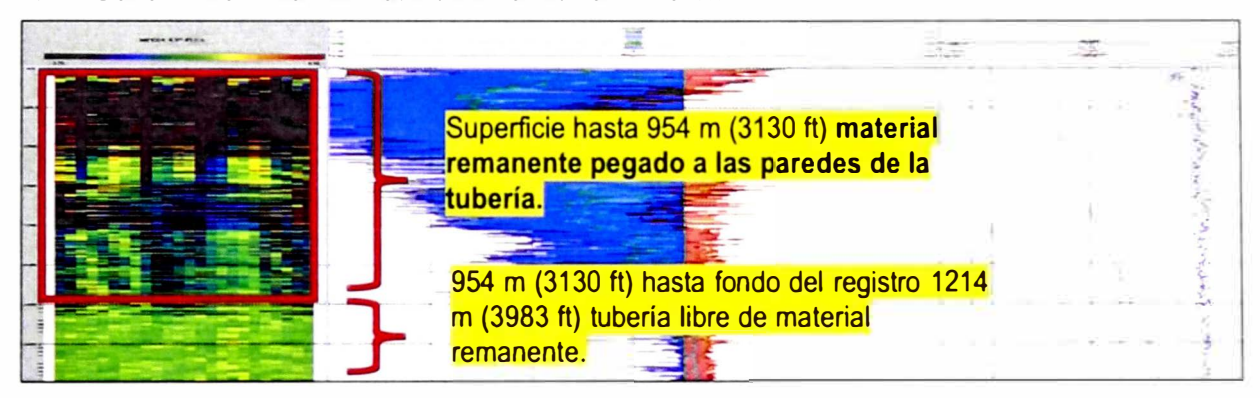
Tabla 28.
Resultados promedios de Máx.Pen% y Máx.Perd. Metal % en tuberia 4.5".

N°	Tope	Base	Diam.	Peso	Diam. Int.	Máx. Pen.	Máx. Perd.
Tubo	(metros)	(metros)	Ext.(pulg)	(Lb/pies)	(Pulg)	(%)	Metal (%)
128	0	1214	4.5	12.6	3.958	55.2	7.7

### Fase 7 - Principales hallazgos del registro de integridad de tubería

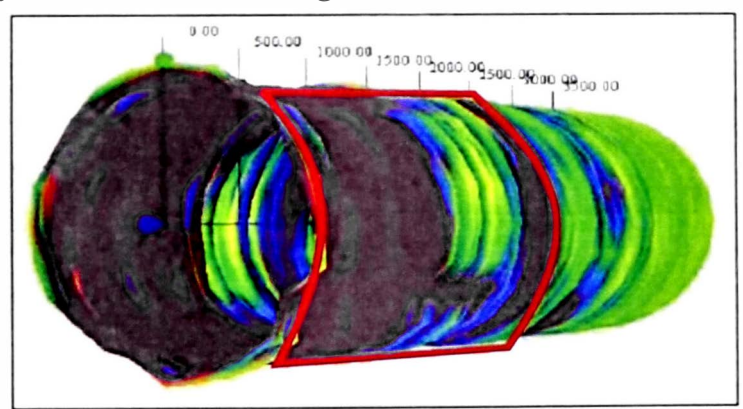
En la **Figura 47 y Figura 48** se muestra el registro de ascenso completo para tubería de 4.5 "desde la profundidad 1214 metros hasta superfície. También se muestra en la **Figura 49** la identificación y creación en 3D para 4-1/2" x 2.812" tope No-go Seating Nipple respectivamente.

**Figura 47.**Vista General del intervalo evaluado en tubería de 4.5".



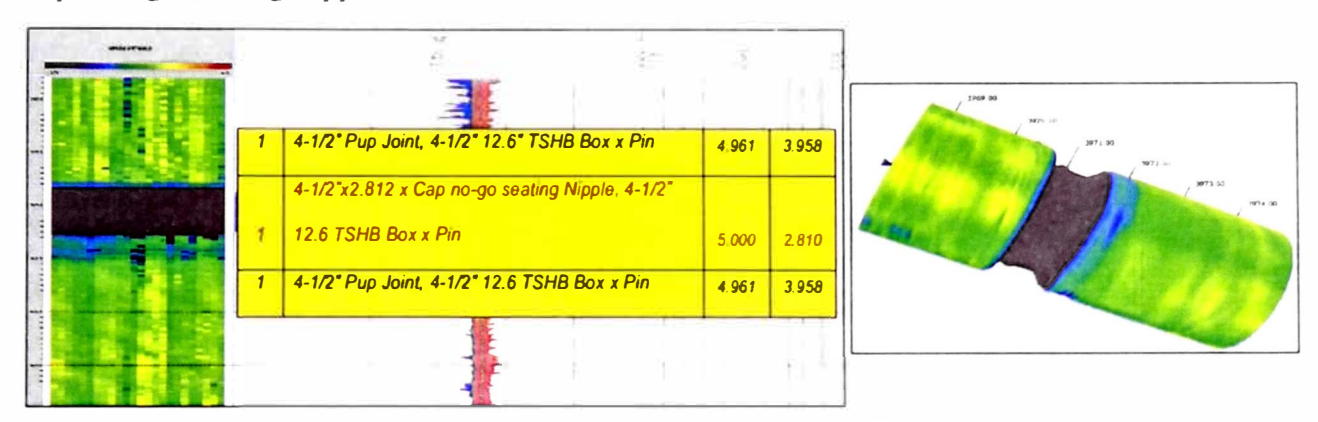
Fuente: Tomado de software ViewWell3D.

Figura 48. Vista Identificación y creación en 3D del Registro de Ascenso.



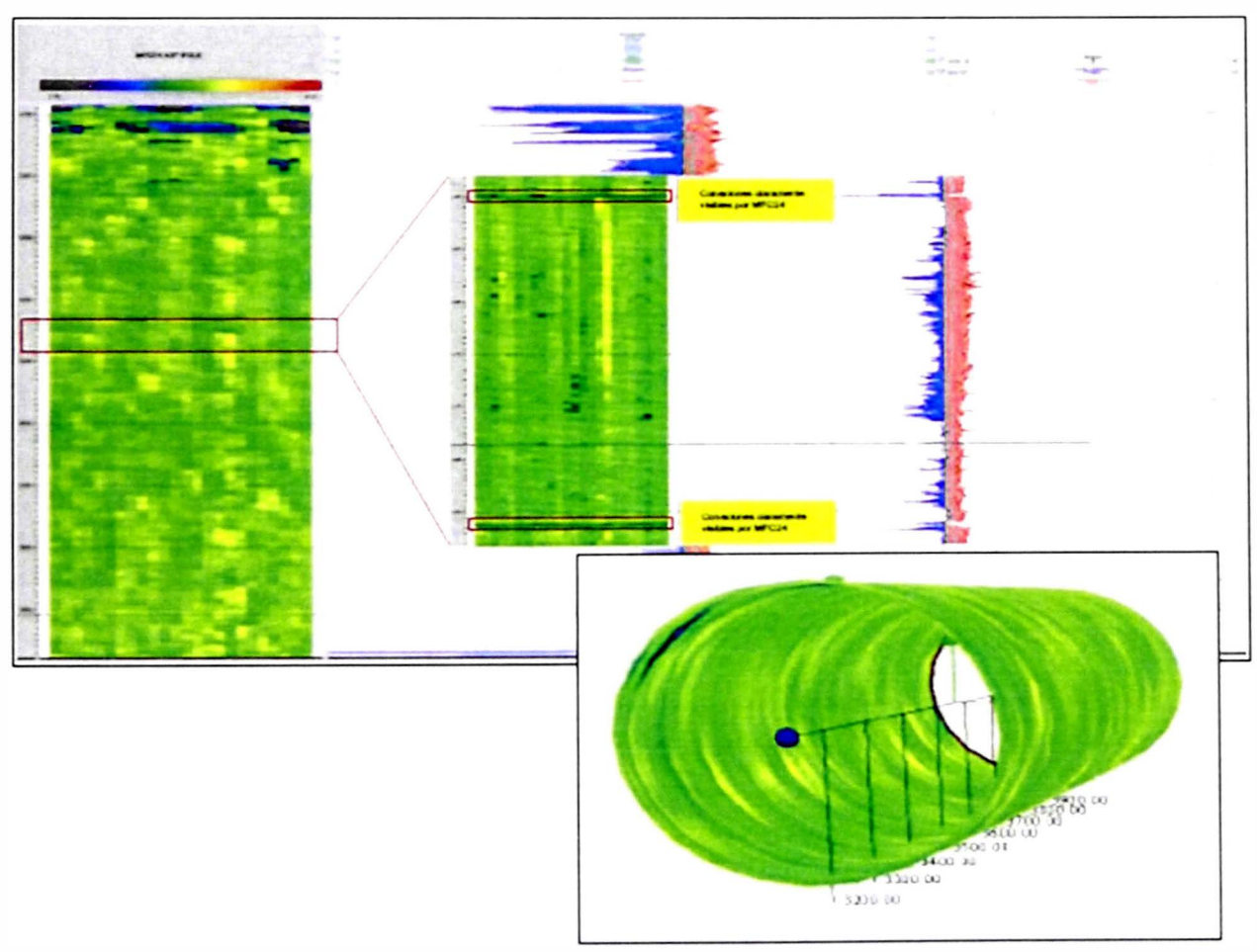
Fuente: Tomado de software ViewWell3D (material remanente pegado a las paredes de la tubería).

Figura 49.
Tope No-go Seating Nipple 4-1/2" x 2.812" a 1210 metros



Fuente: Tomado de software ViewWell3D.

Figura 50. Intervalo desde 3130 pies hasta fondo el registro – MFC24.



Fuente: Tomado de software ViewWell3D v2.0.1157.317.

# Fase 8 - Presupuesto técnico-económico del registro de integridad de tubería 4 ½ pulgadas con MFC24

Los costos para las intervenciones de operaciones de toma de registro de integridad MFC24 para realizarse en la selva peruana con el uso del Slickline, están asociados al uso de sensores, herramientas, equipamientos de control, unidad de servicio, cuadrilla de trabajo e ingeniero especialista MFC. En la **Tabla 29** se muestran la valorización del costó operativo por la intervención del pozo MO-02 con el registro MFC24 usando la unidad de Slickline.

Tabla 29. Valorización MFC24 para tuberia de 4.5"

	VALORIZAC	IÓN REGISTRO MFC24 POZO MO	DDELO-02 - CARGO O	PERATIVO						
ITEM	DESCRIPCIÓN DEL CARGO	SUB-CANTIDAD (PERSONAL)	CANTIDAD (DÍAS)	U	PRECIO NITARIO (USD)	UNIDAD		TOTAL (USD)		
Α.	PERSONAL SLICKLINE									
	Operador Especialista Slickline - Cargo Operativo	2	1	\$	599.00	DÍA	\$	1,198.00		
	Operador Asistente Slickline - Cargo Operativo	4	1	\$	299.00	DÍA	\$	1,196.0		
В.	PERSONAL MULTIFINGER CALIPER		4.	-		1		.,		
	Ingeniero Especialista MFC - Cargo Operativo	1	11	\$	399.00	DÍA	\$	399.00		
		VALOF	RIZACIÓN TOTAL PER	SONAL REGI	STRO MFC CON UNIDA	D SLICKLINE	\$	2,793.00		
ITEM	DESCRIPCIÓN DEL CARGO	SUB-CANTIDAD	CANTIDAD		PRECIO NITARIO (USD)	UNIDAD		TOTAL (USD)		
C.	EQUIPO UNIDAD SLICKLINE									
	Unidad de Slickline - Cargo Operativo	1	1	\$	1,200.00	DÍA	\$	1,200.00		
D.	HERRAMIENTAS Y ACCESORIOS SLICKLINE					*				
	Caja de Herramientas estándar Slickline - Cargo Operativo	1	1	\$	350.00	TRABAJO	\$	350.00		
Е.	EQUIPO DE CONTROL DE PRESIÓN SLICKLINE 4.5"									
	Equipo ce Control de Presión - Cargo Operativo	1	1	\$	2,100.00	DÍA	\$	2,100.00		
	Redress Kit de Equipo de Control de Presión	1	1	\$	399.00	TRABAJO	\$	399.00		
F.	REGISTRO DE CORROSIÓN MFC - TUBERÍA 4.5"									
	Multifinger Caliper - Cargo Operativo	1	1	\$	2,500.00	DÍA	\$	2,500.00		
	Multifinger Caliper por metro (m) de registro	1	1214	\$	4.99	TRABAJO	\$	6,057.86		
	Redress Kit de sensores Multifinger Caliper	1	1	\$	199.00	TRABAJO	\$	199.00		
	Bateria de sensores Multifinger Caliper	1	1	\$	399.00	TRABAJO	\$	399.00		
G.	ACUMULADOR DE CONTROL DE PRESIÓN		·							
	Equipo Acumulador de Presión - Cargo Operativo	1	1	\$	299.00	DÍA	\$	299.00		
Н.	POZO A CARGO PARA INTERVENCIÓN									
	Pozo a Cargo para Intervención - Cargo Operativo	1	1	\$	399.00	POZO	\$	399.00		
4			VALORIZACIÓN	TOTAL REGIS	STRO MFC CON UNIDA	D SLICKLINE	\$	13,902.86		
K(A)		<b>第17 年出一年,他不到一个</b>			VALORIZA	CIÓN TOTAL	\$	16,695.86		

Fuente: Elaboración Propia. Para 02 guardias de operación continua del registro MFC24.

#### CAPITULO IV: CONCLUSIONES Y RECOMENDACIONES

- De la información obtenida de los sensores MFC56 y MFC24 (56 y 24 brazos de medición) y en función del panel SLAB que registra continuamente profundidad, nos permitirá establecer la correlación y validación en profundidad, también el dimensionamiento de la geometría del perfil correcto como por ejemplo el hallazgo en la Figura 37 válvula de seguridad subsuperficie 57.7 metros y también el dimensionamiento de la geometría del perfil correcto como por ejemplo el hallazgo en la Figura 54 Nipple de asiento No-go 4-1/2" de 2.812"
- En efecto, implementando la tecnología Multifinger Caliper MFC56 de 56 brazos de medición para tuberías de 7 pulgadas, se logró un registro de monitoreo continúo permitiendo el menor espacio entre ellos (brazos de medición) y reducir el riesgo de perder detalles.
- Para tuberías con porcentaje de penetración mayor al 80% en correlación con porcentaje de perdida de mayor al 20% de grado "E" necesariamente se tienen que tomar las medidas y acciones para mejorar futuros retrabajos workover.
- Las herramientas MFC56 y MFC24 son combinables con gamma ray (GR), detectores de collares (CCL), y además se pueden bajar en combo con herramientas detectores magnéticos de espesor (MTD) y temperatura entre otras herramientas compatibles de la marca GOWell.
- Una implementación masiva de esta tecnología MFC24 y MFC56 para campañas anuales o proyectos a largo o corto plazo entre 1 a 2 meses, permitirá ser mucho más asertivo en el control, seguimiento de monitoreo de la tubería revestimiento, grado de corrosividad por afectaciones directas del yacimiento (esfuerzos mecánicos durante instalación), para reducir los riesgos asociados a producción o inyección.

- El análisis e interpretación de imágenes en los pozos MO-01 y MO-02 con esta tecnología MFC24 y MFC56, son intuitivas y determina una mejor comprensión inmediata frente a situaciones complejas del fondo del pozo. Es importante precisar e indicar que el servicio pudo diagnosticar y descubrir las condiciones del pozo MO-02 (residuos pegados en la tubería como se indica en el registro de la Figura 52 y Figura 53).
- El proceso de corrosión en ambientes con H<sub>2</sub>S y CO<sub>2</sub> es una de las causas más comunes que vienen afectando a las tuberías de completación, como recomendación frente a las afectaciones y mitigarlos, es usar tuberías de acero al carbono o seguidas de acero inoxidables.
- Finalmente, las herramientas electromagnéticas MFC24 y MFC56 son las mejores opciones a fin de reducir el costo para determinar la integridad de las tuberías de producción y casing, además nos permitirá proponer trabajos workover, mantenimiento y reacondicionamiento de pozos.

## CAPÍTULO V: REFERENCIAS BIBLIOGRÁFICA

- Ajgou, N., Graba, B., Sayah, L., Ismail, M., Yakupov, A., Saada, M., . . . Abdelmoula, M. (2019). Effective Solutions To Well Integrity Management Using Multi Finger Caliper And Electromagnetic Tool. SPE-198570-MS. doi:https://doi.org/10.2118/198570-MS
- Benchmark. (2013). *Benchmark AMS4A099 Panel Manual*. Consultado el 9 de Enero de 2013, de https://benchmarkwireline.com/
- Billingham, M. A., King, B., & Murray, A. (November de 2012). Maximising the Life of Corroding Tubing by Combining Accurate MultiFinger Caliper Data with Corrosion Modelling. SPE-159484-MS. doi:https://doi.org/10.2118/159484-MS
- Bravo Vallejo, García de la Rosa, Leal Orta, Mendoza Vargas, Santiago Avila, & Uribe Hernandez. (2013). Capacidad de resistencia de tuberias petroleras.
- CAMISEA. (2012). *Informe de reservas*. Consultado el 12 de Diciembre de 2012, de Reporte Pluspetrol Camisea: https://www.pluspetrol.net/peru/camisea.php
- Carrilo Cataño, & Lopez Toledo. (2014). Análisis de los colapsos en revestimiento de pozos productores de un campo colombiano debido a la inyección de agua.
- Castro, Y., Illan, C., Lugo, K., Meza, L., & Mondragon, &. (2011). Guia de diseño para el asentamiento y diseño de tuberias de revestimiento. Instituto politecnico nacional. pág. 9.
- Castro, Y., Illan, C., Lugo, K., Meza, L., & Mondragon, &. (2011). Guia de diseño para el asentamiento y diseño de tuberías de revestimiento. Instituto politecnico nacional.
- Castro, Y., Illan, C., Lugo, K., Meza, L., & Mondragon, &. (2011). Guia de diseño para el asentamiento y diseño de tuberías de revestimiento. Instituto politecnico nacional. págs. 12-13.
- CEPSA. (2017). Diagrama de Pozo Estado Mecanico Los Angeles. Programa CEPSA.

  Consultado el 23 de Diciembre de 2017, de https://www.cepsa.com/es/

- Equipetrol. (2014). Clasificación de tuberías, tamaño nominal. Reporte Operativo Equipetrol.

  Consultado el 01 de Marzo de 2014, de https://www.equipetrol.com/
- Equipetrol. (2014). Cuadro de Grados Análisis Porcentaje Penetración en Tuberias. Reporte operativo Equipetrol. Consultado el 01 de Marzo de 2014, de https://www.equipetrol.com/
- Equipetrol. (2019). *Brochure Equipetrol*. Equipo Petrolero del Perú. Obtenido de https://www.equipetrol.com/alianzas-internacionales/equipetrol-peru/
- Equipetrol. (2022). Reporte Operativo Equipetrol Pozo MO-01.
- Equipetrol. (2023). Reporte Operativo Equipetrol Pozo MO-02.
- Escobar, G. (2013). Identificación de problemas de colapso en revestimiento de pozos, ocacionados por efectos geomecanicos.
- Flórez, J., & Hernández, O. (2014). Metodología para el diagnóstico del estado de tuberías de revestimiento y cementación en la determinación de la viabilidad de un proceso de recañoneo de alta penetración en campo escuela colorado. pág. 50. Obtenido de https://es.studenta.com/content/116985258/155751
- GOWell. (2018). Scientific Data Systems, inc. Slickline Acquisition Box. 3401 Bacor Road.

  Recuperado el 5 de Setiembre de 2018, de https://www.warriorsystem.com/public\_download/warrior\_8\_downloads/SLAB.pdf
- GOWell. (2021). 56-Finger Imaging Caliper MFC56C-G Operation Manual rev 1.3.

  Recuperado el 29 de Marzo de 2021, de https://www.gowellpetro.com/history
- GOWell. (2021). 56-Finger Imaging Caliper MFC56C-G Operation Manual rev 1.3. pág. 8.
- GOWell. (2021). Cased Hole Catalogue. Consultado el 29 de Marzo de 2021, de https://www.gowellpetro.com/history
- Groysman, A. (2017). Corrosión por Sulfhidrico a alta temperatura.
- Hernández, D. (Enero de 2009). Diseño de tuberías de revestimiento Tenaris Tamsa.

- Jamaica. (s.f.). Fenimenos de incrustación y corrosión en pozos de agua subterranea.
- Kappa, E. (2021). Visualización imagen 2D y 3D del Casing con Multifinger Caliper.
- Kinley, J. (1988). Casing Wear Measured and Monitored in deviated well by Kinley Caliper Surveys. Tripoint s.a. Ecuador.
- Kotlar, N. (2020). Multifinger Caliper Interpretation and Applications. KAPPA. Obtenido de https://www.kappaeng.com/pdf/Multifinger%20Caliper%20Interpretation%20and%2 0Applications.pdf
- Martinez, J. (2011). Consideraciones técnicas para el diseño y la selección de la tubería de revestemiento del pozo estratigráfico profundo ANH-BVTURA-1-ST-P. págs. 39-41.
- Martinez, J. (2011). Consideraciones técnicas para el diseño y la selección de la tubería de revestemiento del pozo estratigráfico profundo ANH-BVTURA-1-ST-P. págs. 39-41.

  Obtenido de https://docplayer.es/24232272-Consideraciones-tecnicas-para-el-diseno-y-la-seleccion-de-la-tuberia-de-revestimiento-del-pozo-estratigrafico-profundo-anh-bytura-1-st-p.html
- Martinez, J. (2011). Consideraciones técnicas para el diseño y la selección de la tuberia de revestimiento del pozo estratigrafico profundo ANH-BVTURA-1-ST-P. Universidad Industrial de Santander. Obtenido de https://scholar.google.com.pe/scholar?hl=es&as\_sdt=0%2C5&as\_vis=1&q=Consider aciones+tecnicas+para+el+dise%C3%B1o+y+la+seleccion+de+la+tuberia+de+revest emiento+del+pozo+estratigrafico+profundo+ANH-BVTURA-1-ST-P&btnG=
- Maxted, L., Sondex, L., & Hazel, P. (01 de Mayo de 1995). Advances in Multi-Finger Caliper

  Technology and Data Acquisition. Houston, Texas. doi:https://doi.org/10.4043/7871
  MS
- Morales, H. (2010). Conceptos generales de conexiones Tenaris Tamsa.

- Orlando, C., & Danny, O. (2018). Descripcion técnica de herramientas para inspección de revestidores disponibles en el mercado. Universidad Industrial del Santander. Obtenido de https://es.scribd.com/document/373961392/Plan-Trabajo3
- Palma Pacheco, Y. (2019). Control de corrosión en un pozo con alta tendencia de daño por mecanismos combinados de daño interno. Universidad Pedagogica y Tecnológica de Colombia.
- Perez, Cabarcas, Uribe, & Vasquez. (2008). Desarrollo e implementación de una metodología para la evaluación de integridad en pozos con calentamiento eléctrico.
- Pluspetrol. (2014). *Programa de prueba de pozos Cashiriari*. Programa Pluspetrol Camisea.

  Recuperado el 01 de Marzo de 2014, de https://www.pluspetrol.net/peru/camisea.php

  Probe. (2021). Probe Technical Specification Sheet For Terminated Bullnose.
- Rabia, H. (1987). Fundamentals of casing desing. vol 1. Great Britain: Oxford.
- Renpu. (2011). Advanced well completion engineering.
- Rivas. (2016). Real Time Slickline Applications of New Technology in a Mature Field. SPE-180872-MS. doi:https://doi.org/10.2118/180872-MS
- Salinas, C. L. (2017). reacondicionamiento de pozos, unidades de trabajos. Universidad

  Tecnológica Equinoccial. Obtenido de https://www.academia.edu/35107102/Slickline y Wireline
- Salinas, J. (2017). Reacondicionamiento de pozos, unidad de trabajo en pozo: Slickline & Wireline. Obtenido de https://es.scribd.com/document/351126700/Grupo-1-Slickline-y-Wireline#
- Schweitzer. (2010). Fundamentals of corrosion Mechanisms, causes and Preventive Methods.
- Taylor. (2009). Slickline Operations Training Manual. Hydrocarbon services. Obtenido de https://www.academia.edu/37437004/MANUAL\_DE\_OPERACIONES\_SLICKLINE MANUAL\_DE\_OPERACIONES\_SLICKLINE

- Tenaris. (Mayo de 2013). Descripcion general de la empresa, sistema industrial global.

  Obtenido de https://es.scribd.com/document/439212064/Descripcion-Tenaris
- Vargas, O. (2008). Análisis de la deformación y el colapso de la tubería de revestimiento en los campos del Pie de monte Llanero operados por BP. Universidad Industrial de Santander.
- Vargas, O. (2008). Análisis de la deformación y el colapso de la tubería de revestimiento en los campos del Pie de monte Llanero operados por BP. págs. 28-30.
- Xi'an. (2019). Un nuevo tipo de herramienta de registro de corrosión de sartas de tuberías.

  Obtenido de https://www.gowellpetro.com/history
- Zeghlache, M. L., Noui-Mehidi, M., Rourke, M., & Ismail, M. (2020). Enhanced Time Domain EM Technology for Multiple Casing Corrosion Monitoring. SPE-202725-MS. doi:https://doi.org/10.2118/202725-MS

CAPÍTULO VI: ANEXOS

### Anexos 1

Imágenes Fotográficas del Multifinger Caliper de 24 y 56 brazos.

**Figura 51.**Pruebas Pre-operativas con Herramienta Multifinger Caliper.



**Figura 52.**Prueba**s** Pre-operativas en Campo (MFC24 y MFC56).



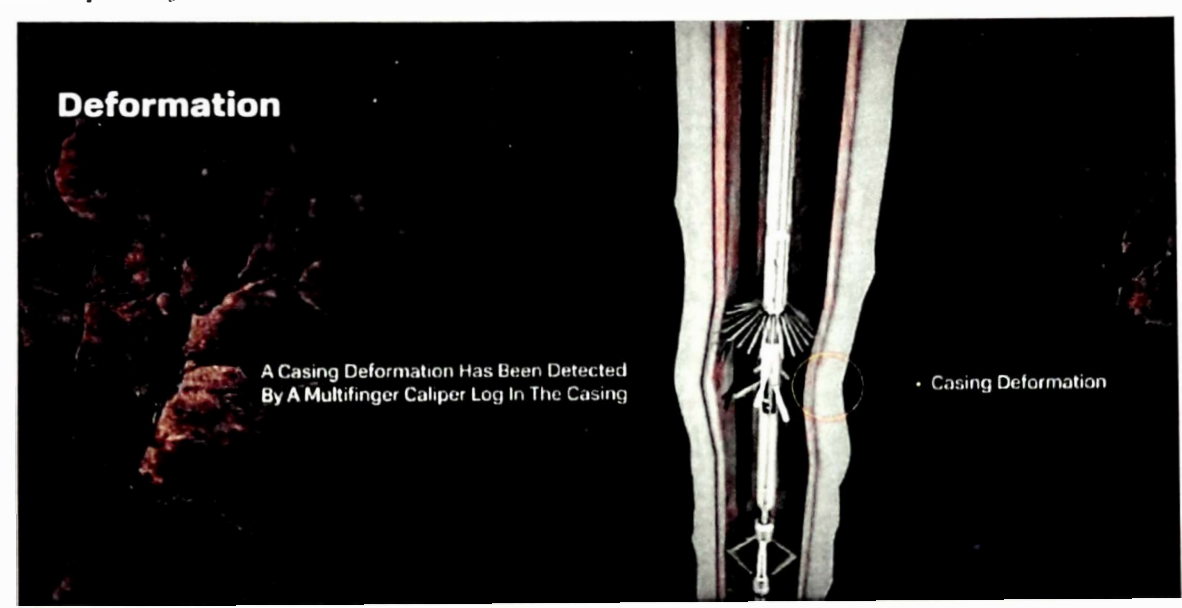
**Figura 53.** Vista área de campo selva remota operaciones con MFC56.



**Figura 54.**Registro de integridad de tubería de producción con MFC56.



**Figura 55.**Detección por deformación en tuberia con MFC56.



# Anexos 2

Impresión rápida en Campo - Pozo MO-01, MFC56

Figura 56. Impresión rápida en Campo – Pozo MO-01 (MFC-56).

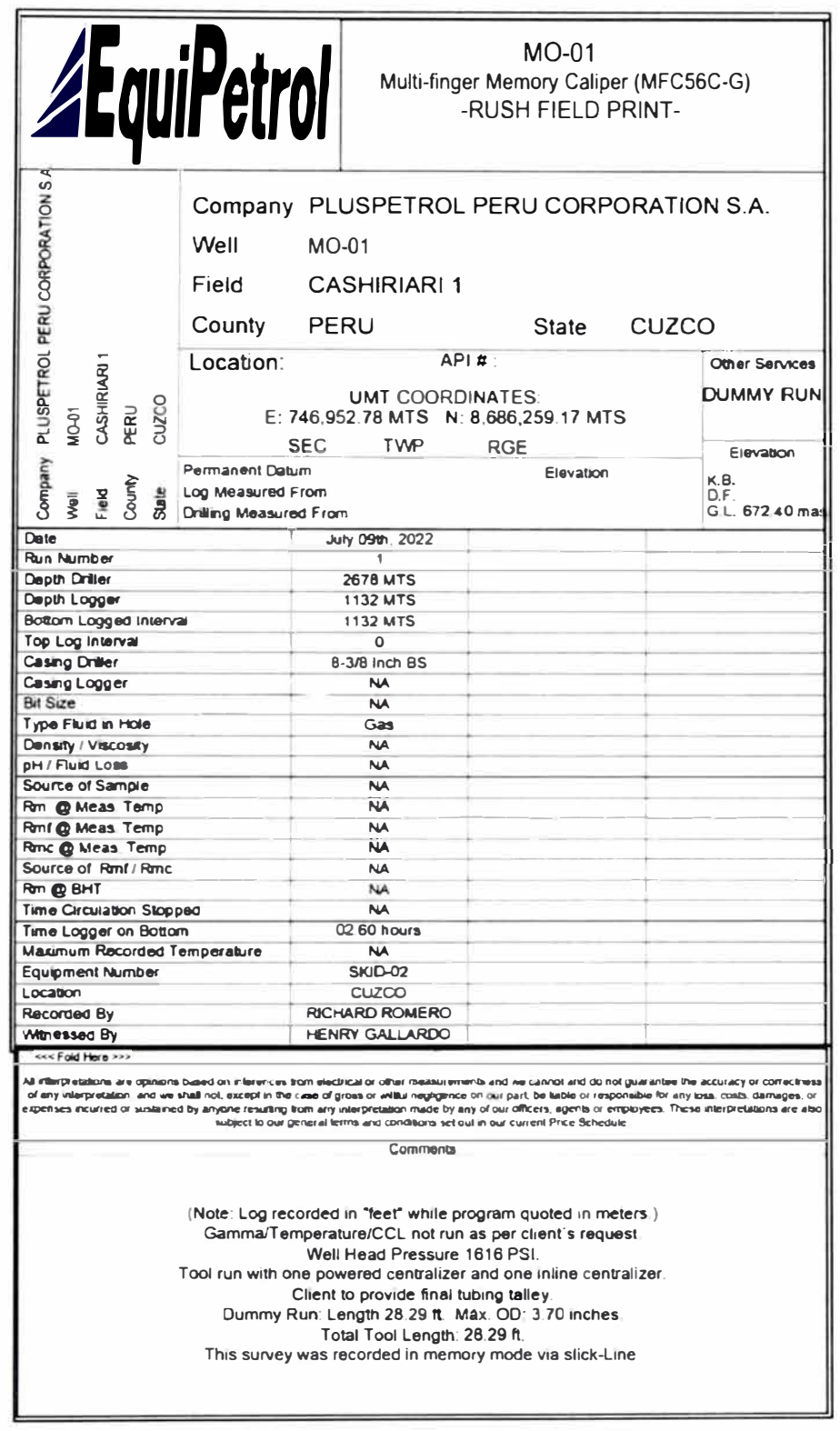


Figura 56 (continua). Impresión rápida en Campo – Pozo MO-01 (MFC-56).

Sensor	Offset (ft)	Schema	tic	Description	Length (ft)	O.D. (in)	Weight (lb
				BPU-43C-J (2042B) 20Wst Detlery Pecket Skip (5°5C & GOWell 1) Pin connection)	2 31	1 69	15 43
BATTCURF BATTVOLT		-		ARL-43C-E (29675) 90/Not Memory Controller Sub (GCWell 13-Pin sannection) - Pegasus	1 77	1 69	8 82
			)	CTL-JC-K (20223) GOWell Roter Centralizer (GOWell 11-Pin connection)	3 10	1.69	15.43
ECENTSTAT ECENTI ECENTV Meas Aux1	6 11 6 11 6 11 6 11 5 13		_(	i#∈C-s#C-G (19333) GO/Net 36 Amrs Casper (GO/Net: 13-pin connection) - Pagatus	6 82	3 54	112.44
			)	CTL-43C-к (20229) gO'Nel Rater Centralizer (20Wel 13-An connection)	3 10	1 69	15.43
		Ö	.0	BNT 43C-B (20087) DOYNE BLE Note (2010e) 13-Pin connection) - Pegewa	0 58	1 69	2.20
		Dataset: Total length Total weight: O D		33_cr-1r_mainlog db_field/well/proc1/i	Dass2		

Figura 56 (continua). Impresión rápida en Campo – Pozo MO-01 (MFC-56).

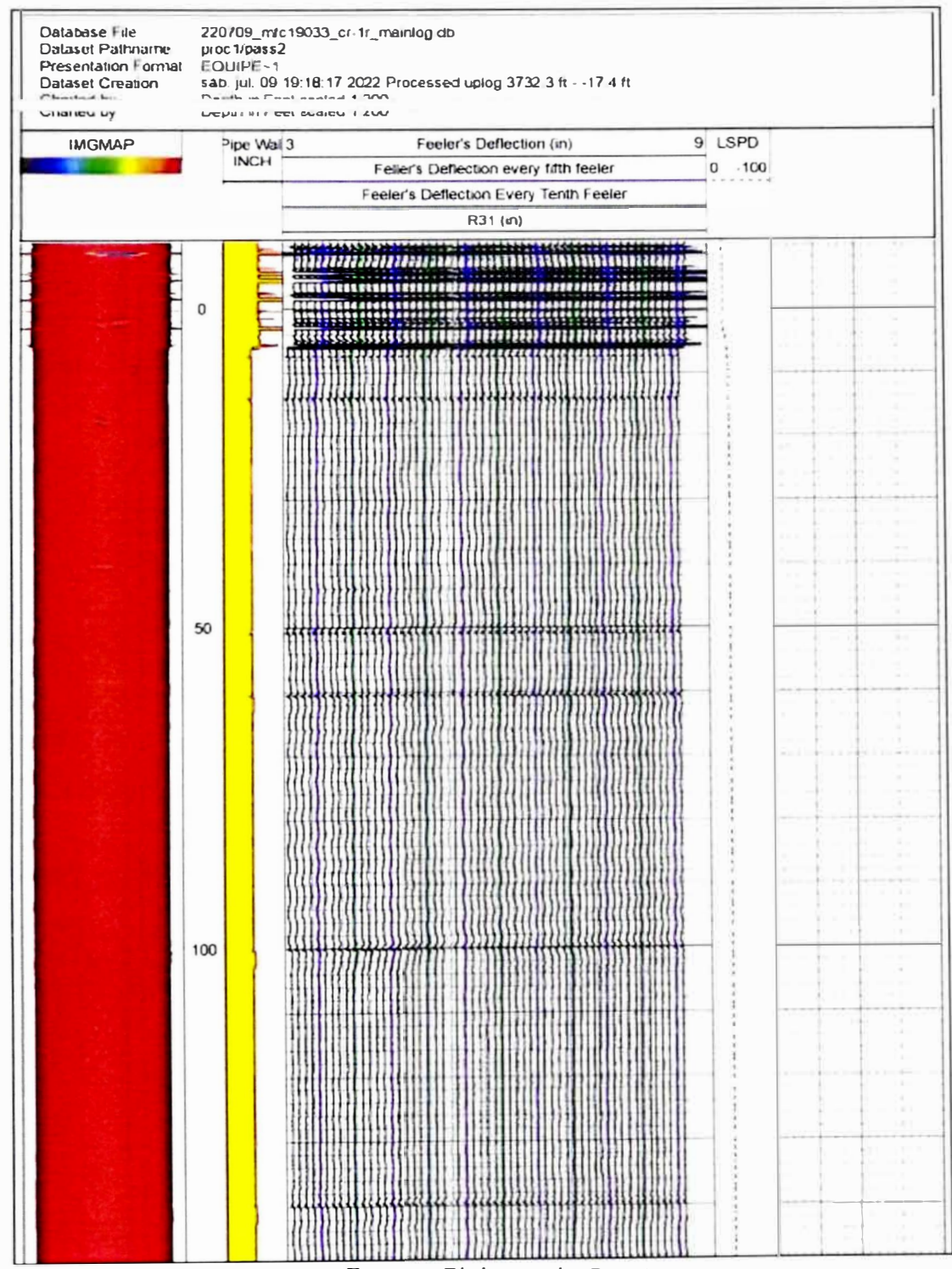


Figura 56 (continua). Impresión rápida en Campo – Pozo MO-01 (MFC-56).

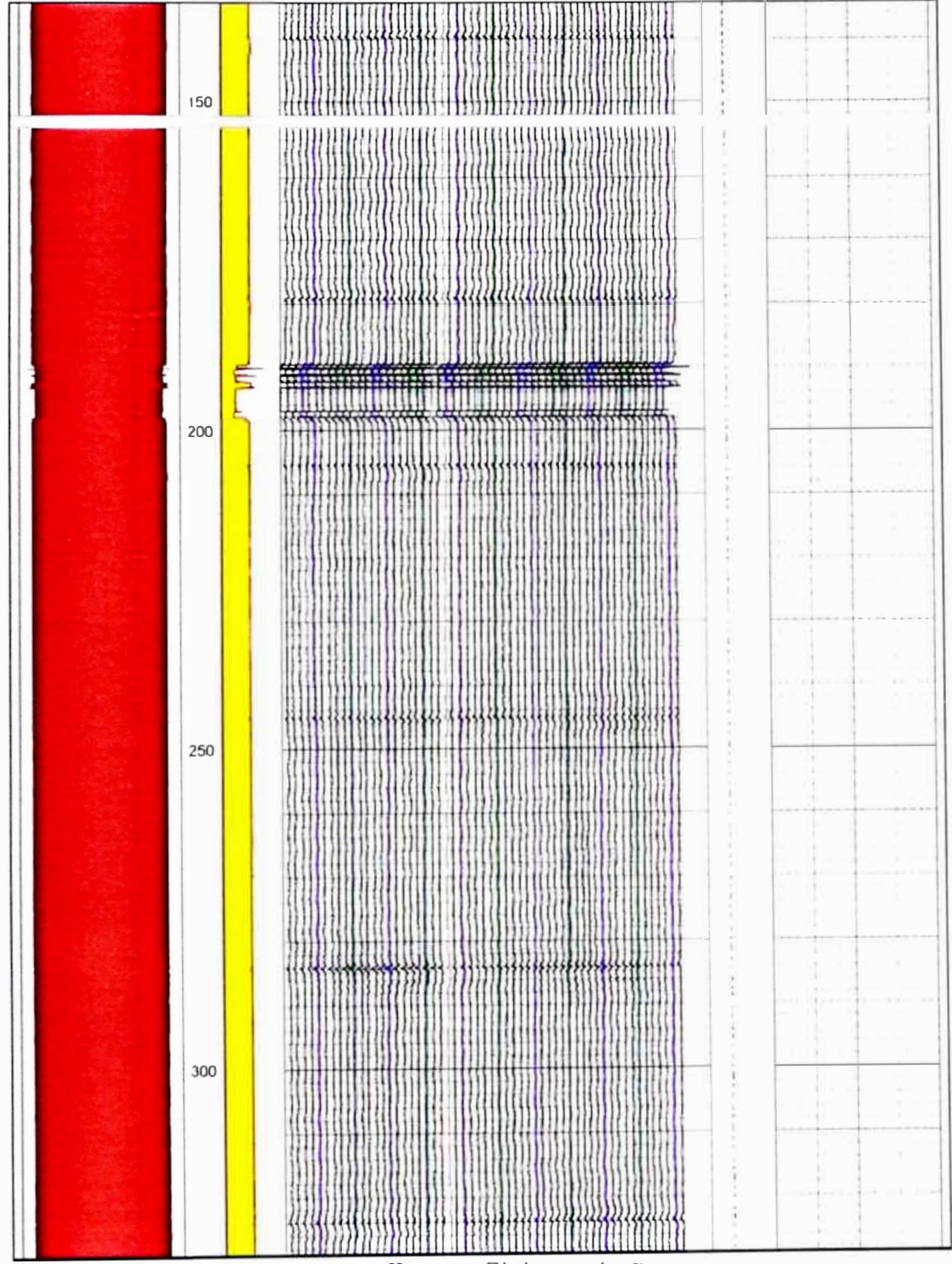


Figura 56 (continua). Impresión rápida en Campo – Pozo MO-01 (MFC-56).

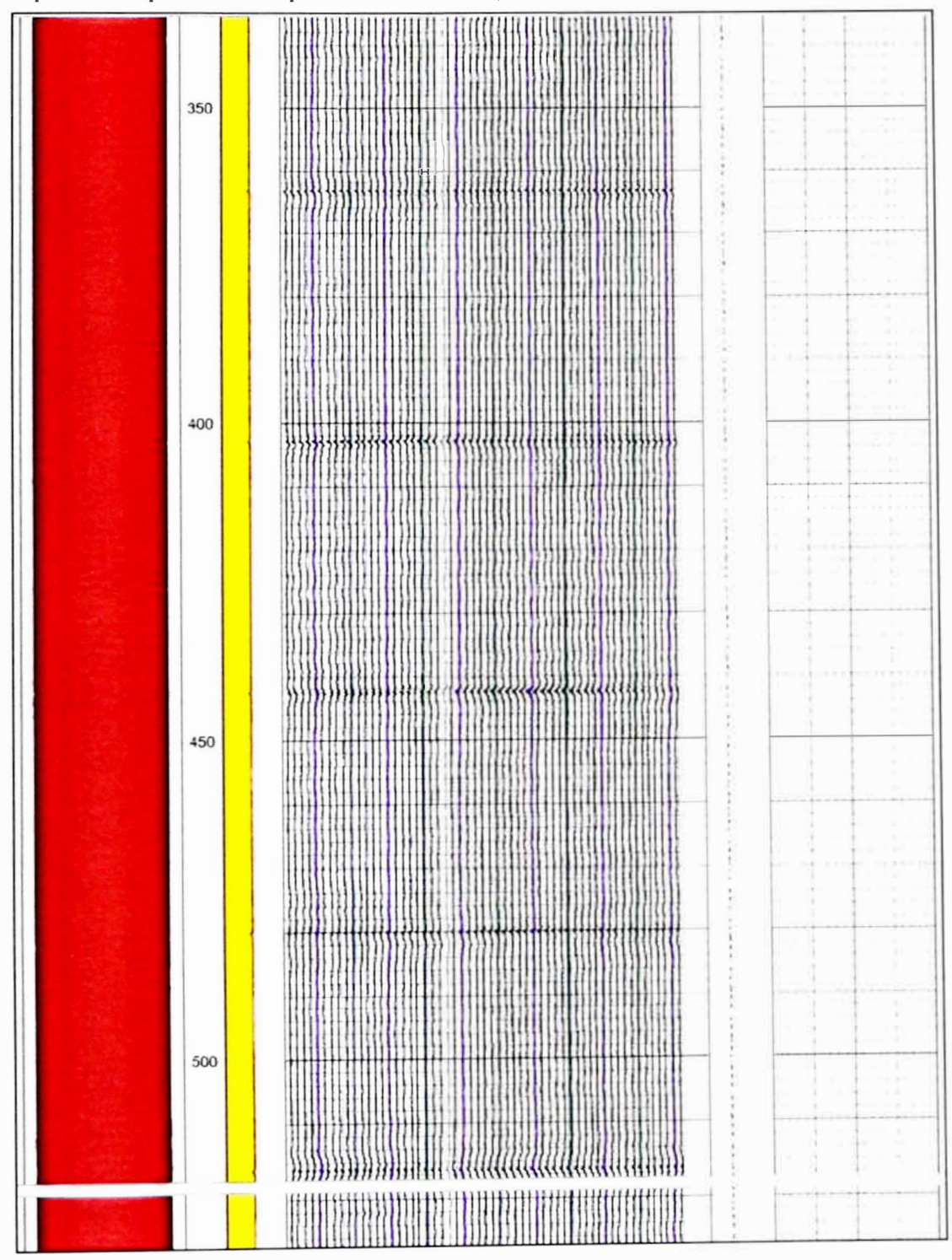


Figura 56 (continua). Impresión rápida en Campo – Pozo MO-01 (MFC-56)-

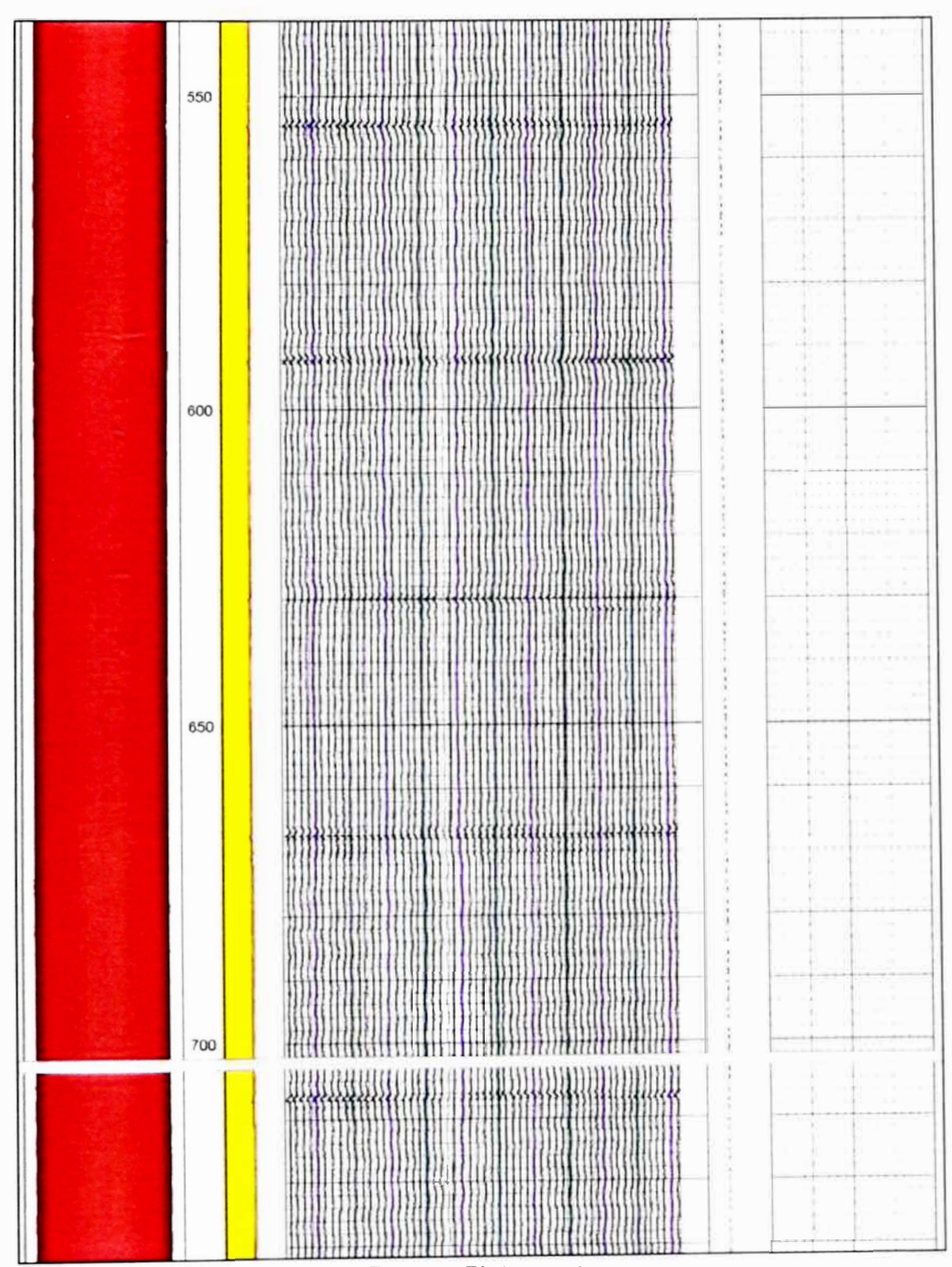


Figura 56 (continua). Impresión rápida en Campo – Pozo MO-01 (MFC-56).

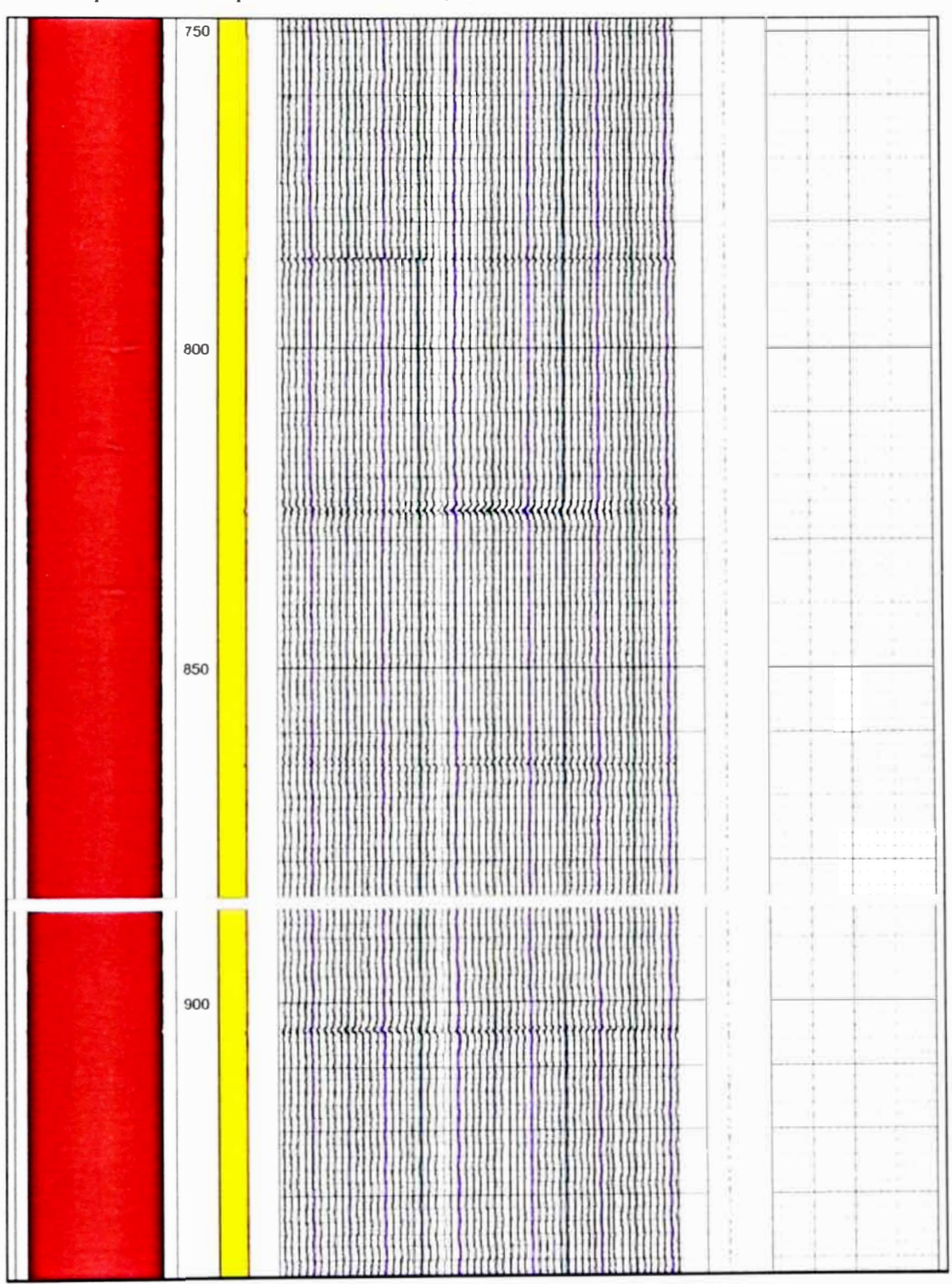


Figura 56 (continua). Impresión rápida en Campo – Pozo MO-01 (MFC-56).

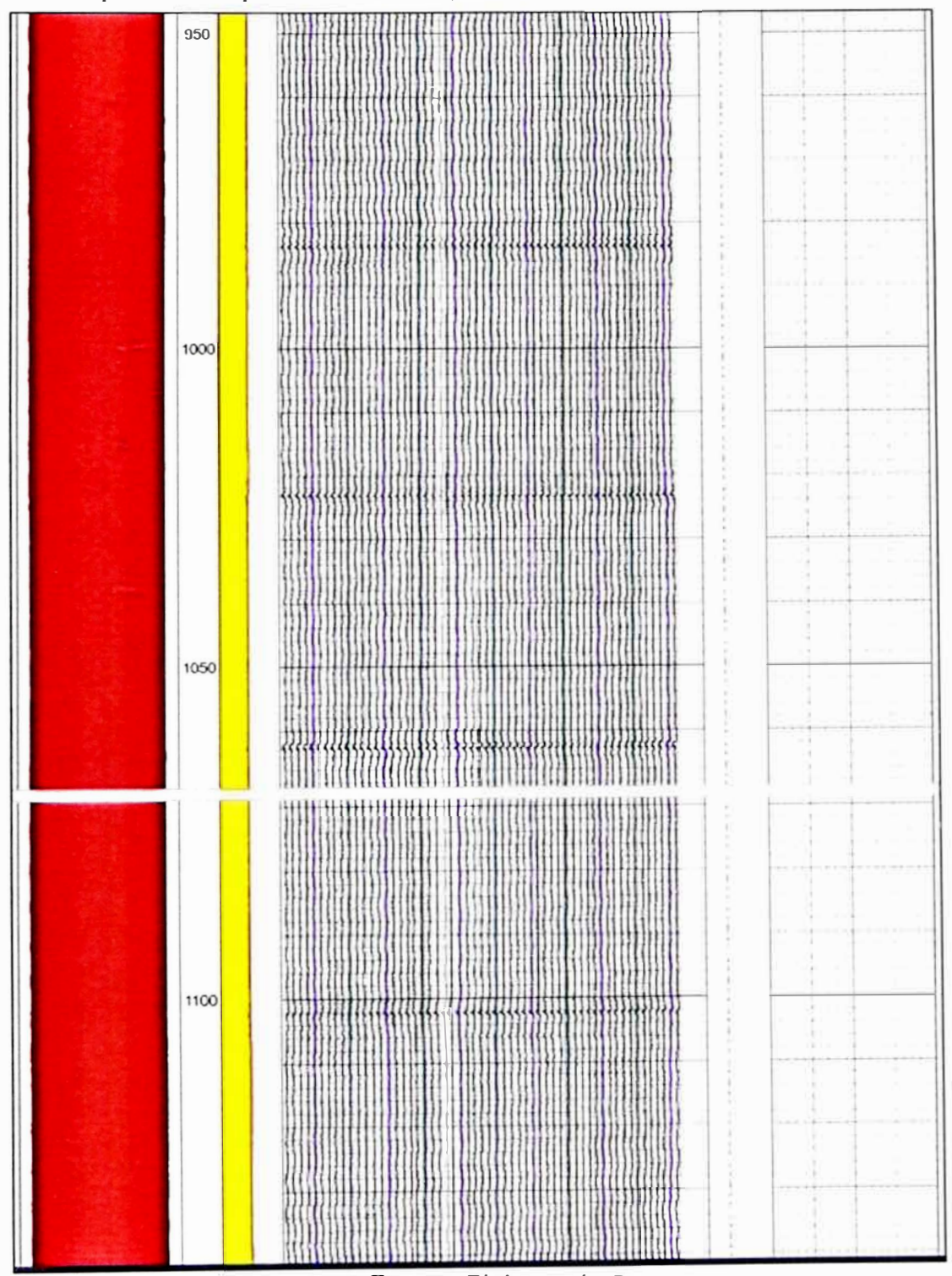


Figura 56 (continua). Impresión rápida en Campo – Pozo MO-01 (MFC-56).

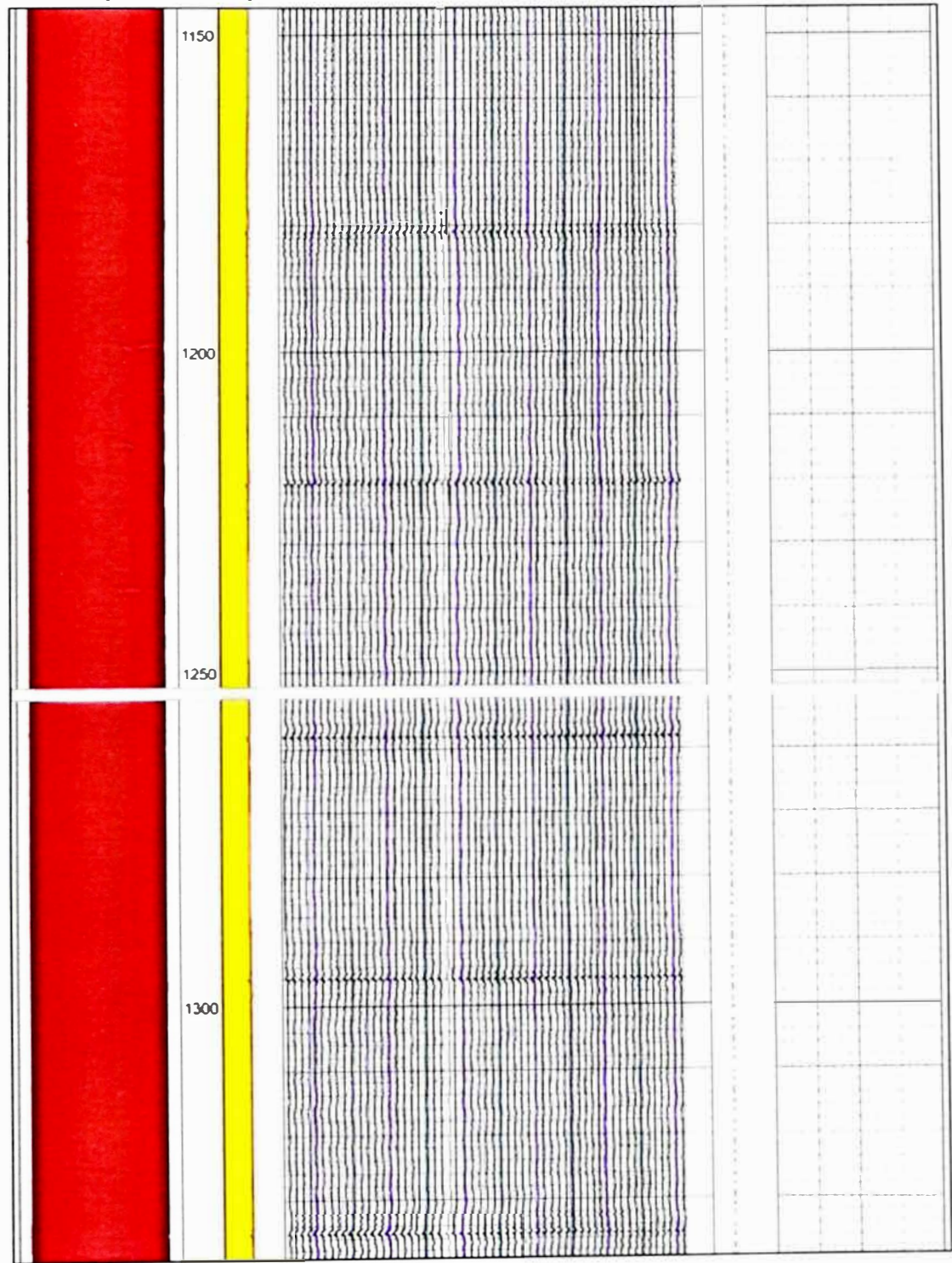


Figura 56 (continua).

Impresión rápida en Campo – Pozo MO-01 (MFC-56).

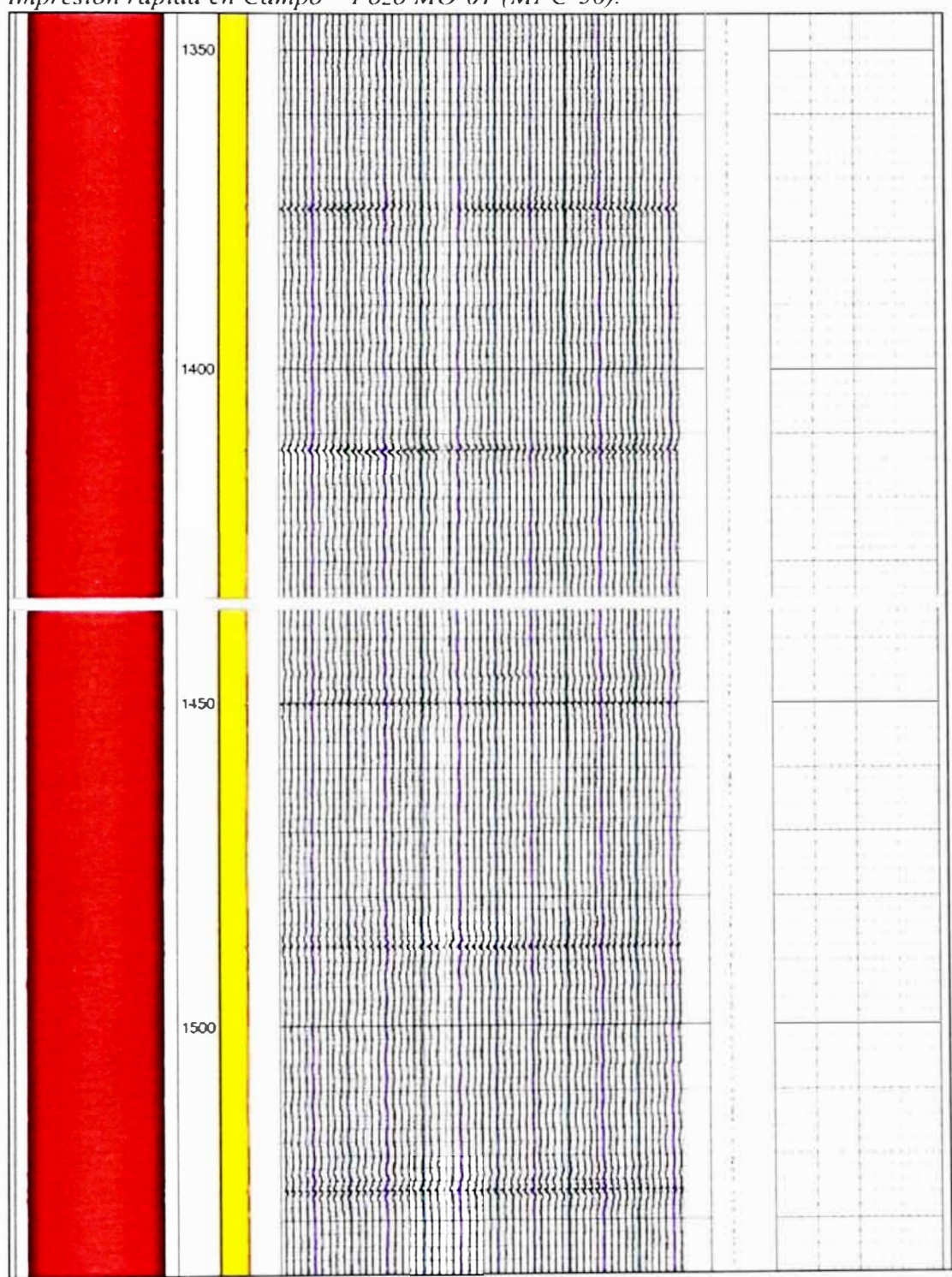


Figura 56 (continua). Impresión rápida en Campo – Pozo MO-01 (MFC-56).

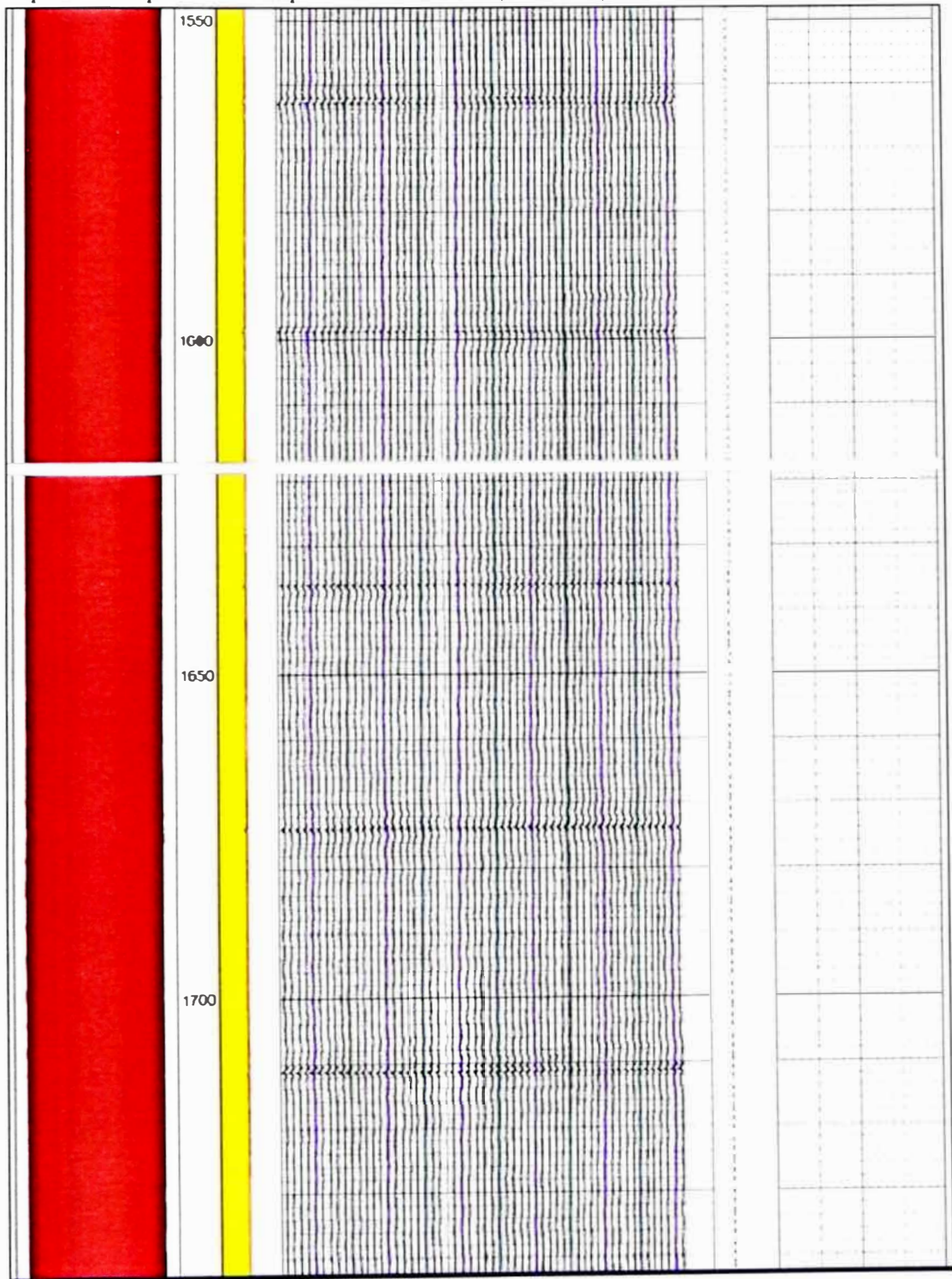


Figura 56 (continua). Impresión rápida en Campo – Pozo MO-01 (MFC-56).

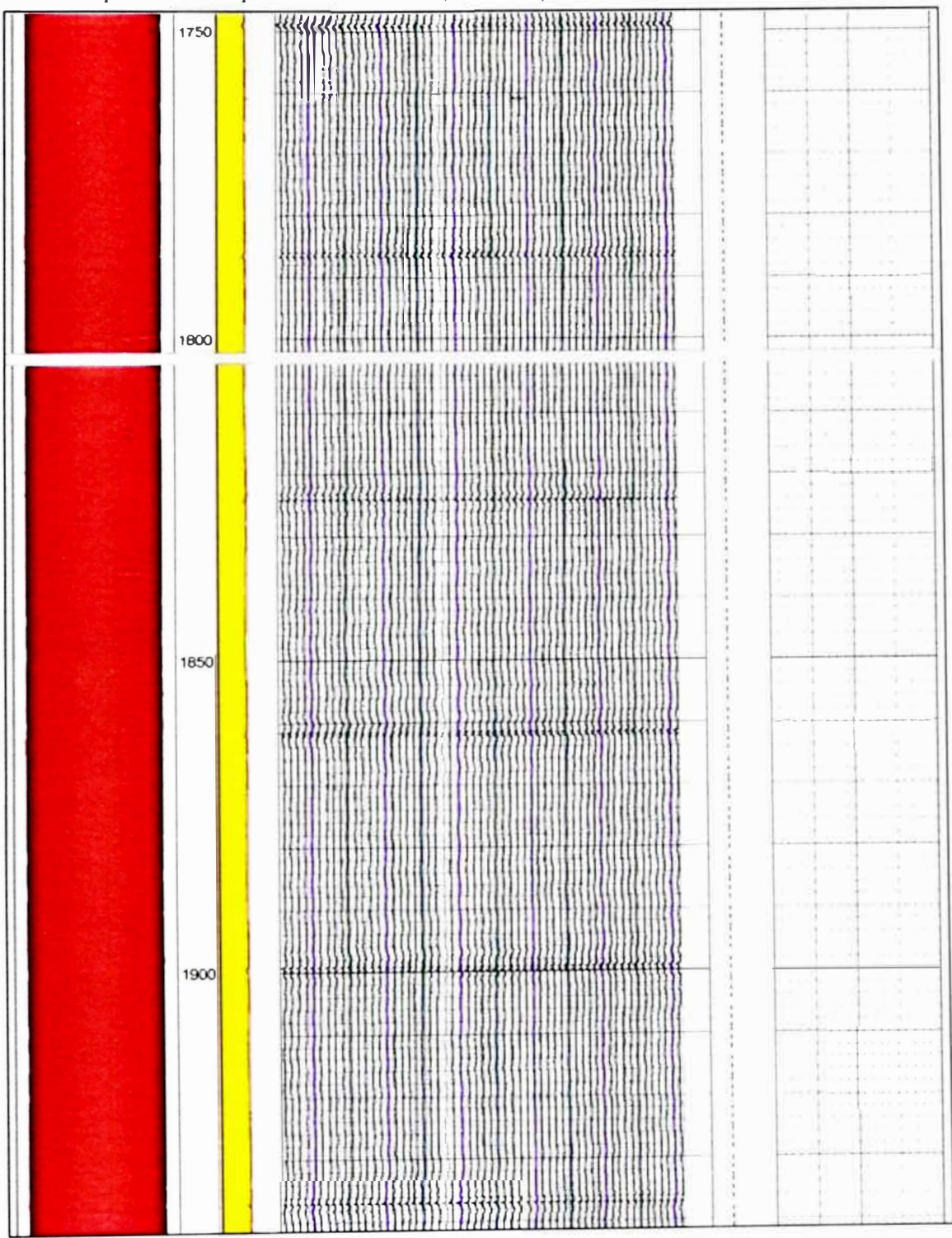


Figura 56 (continua). Impresión rápida en Campo – Pozo MO-01 (MFC-56).

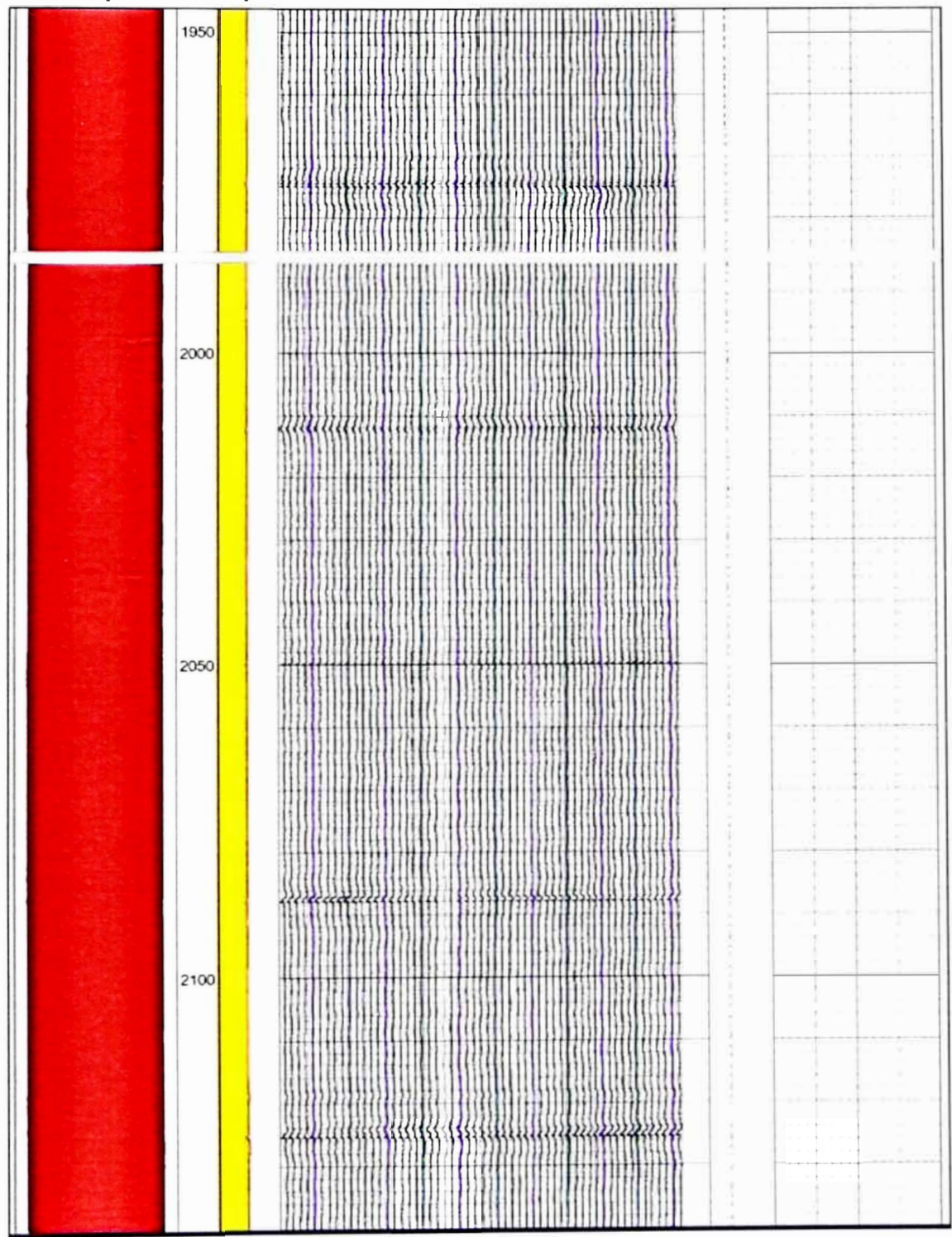


Figura 56 (continua). Impresión rápida en Campo – Pozo MO-01 (MFC-56).

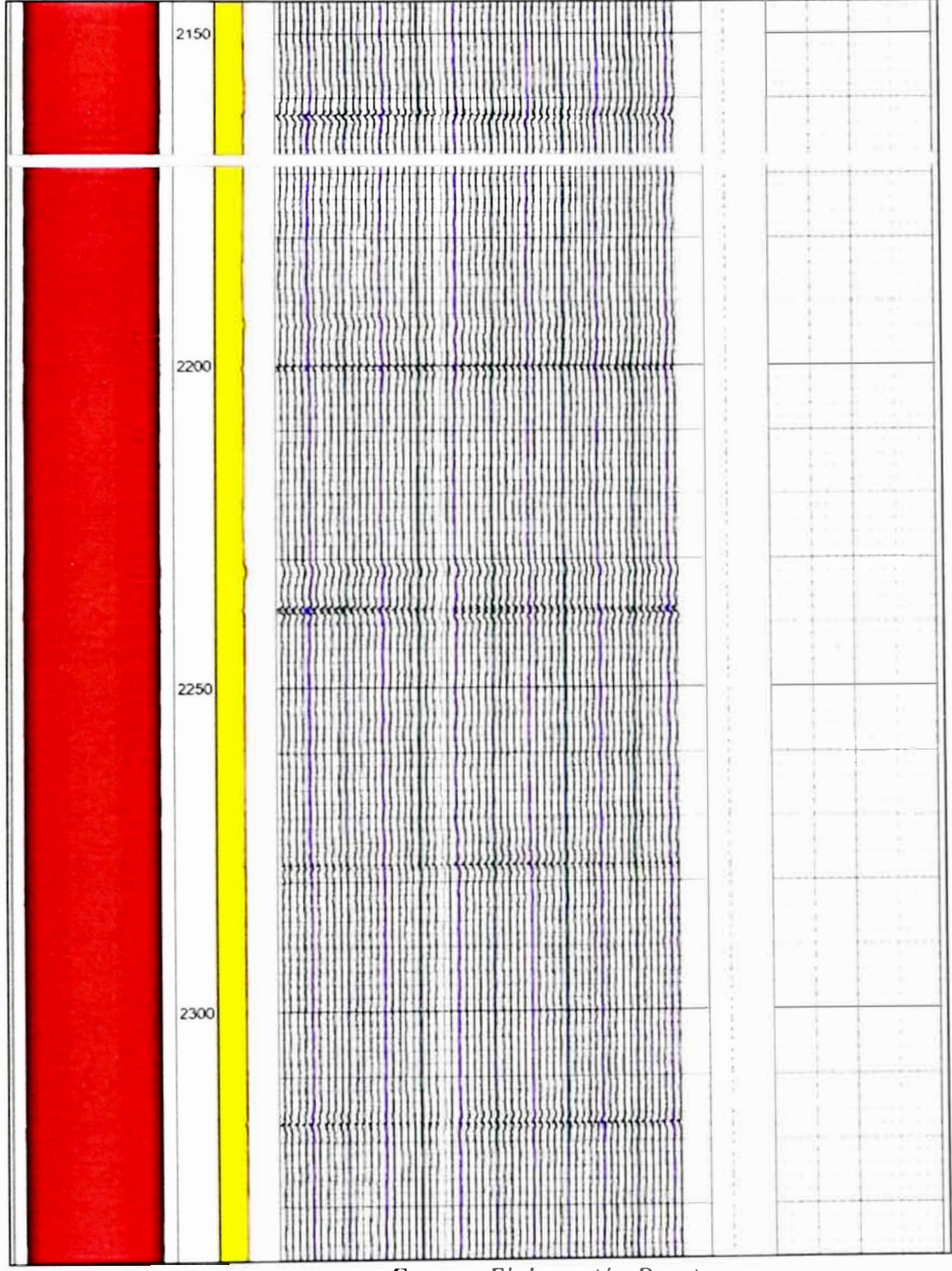


Figura 56 (continua). Impresión rápida en Campo – Pozo MO-01 (MFC-56).

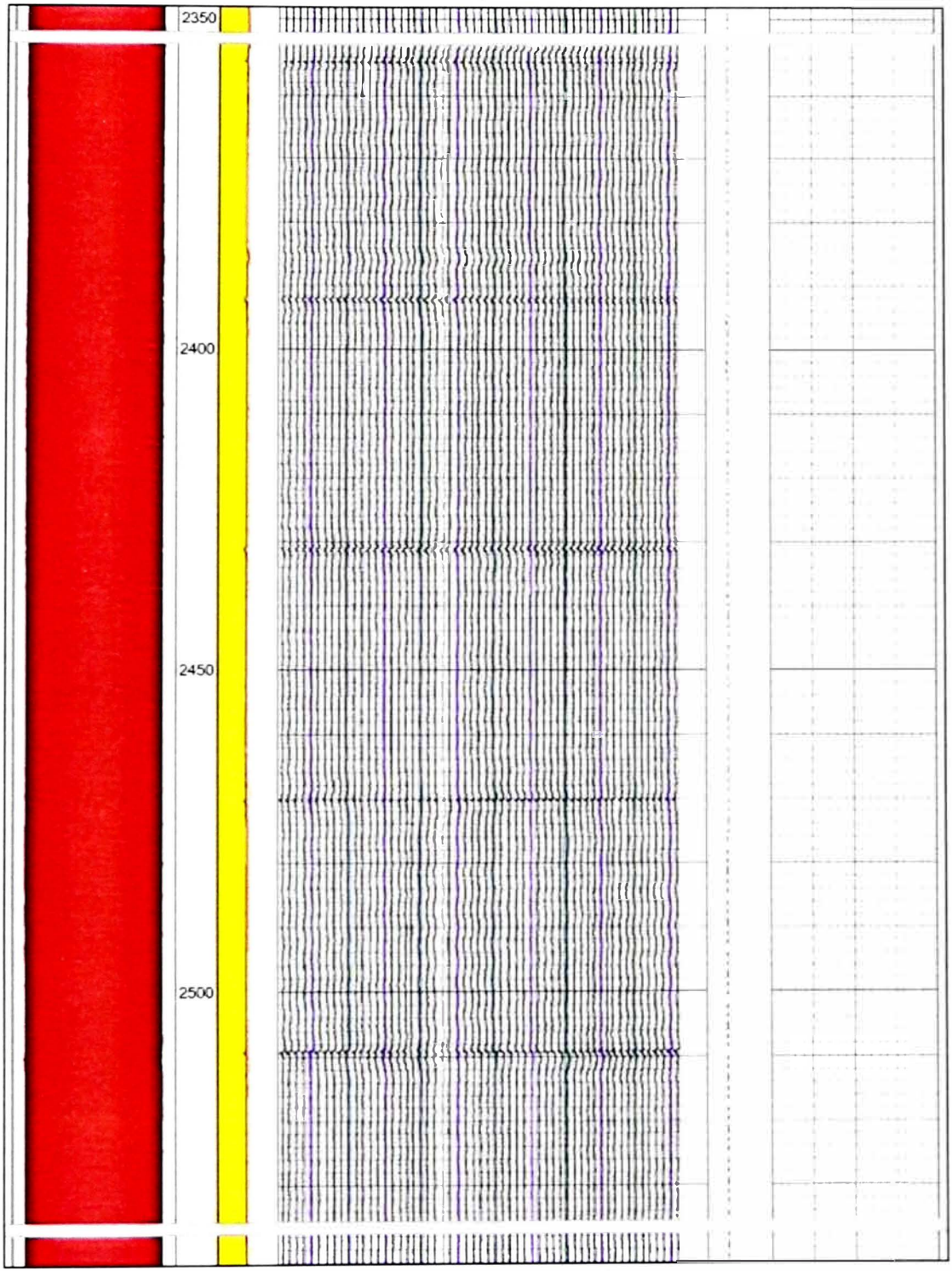


Figura 56 (continua). Impresión rápida en Campo – Pozo MO-01 (MFC-56).

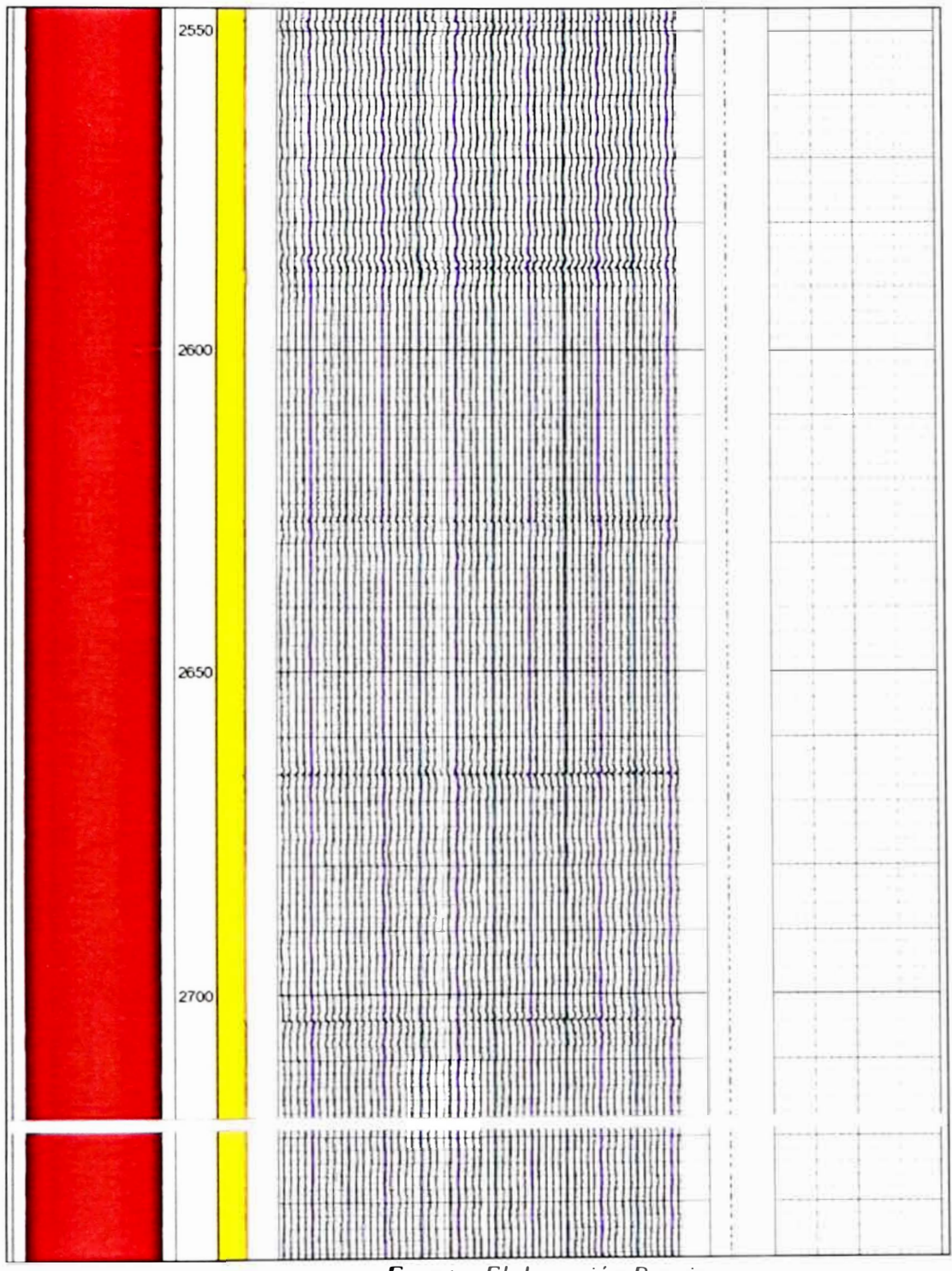


Figura 56 (continua). Impresión rápida en Campo – Pozo MO-01 (MFC-56).

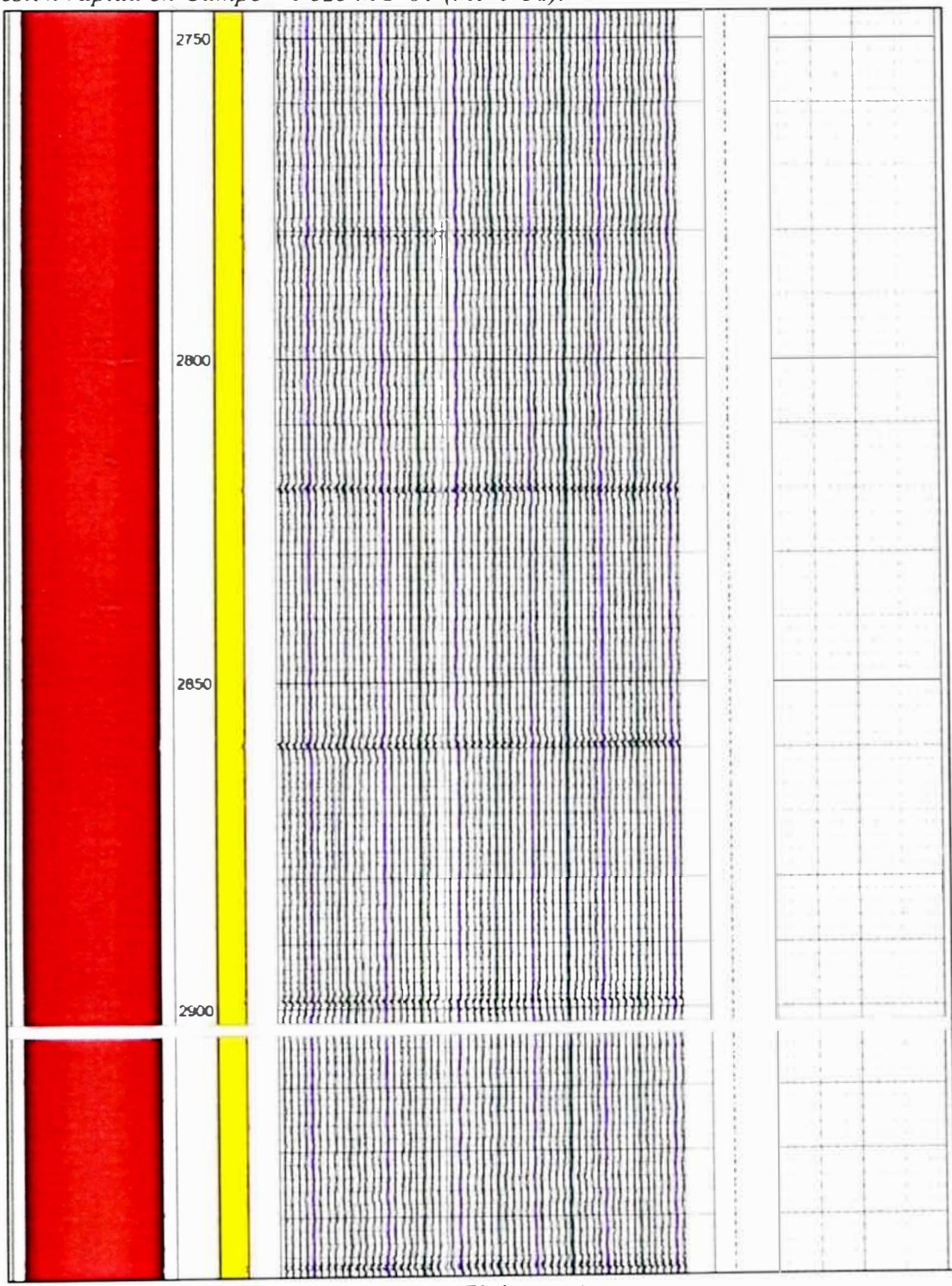


Figura 56 (continua). Impresión rápida en Campo – Pozo MO-01 (MFC-56).

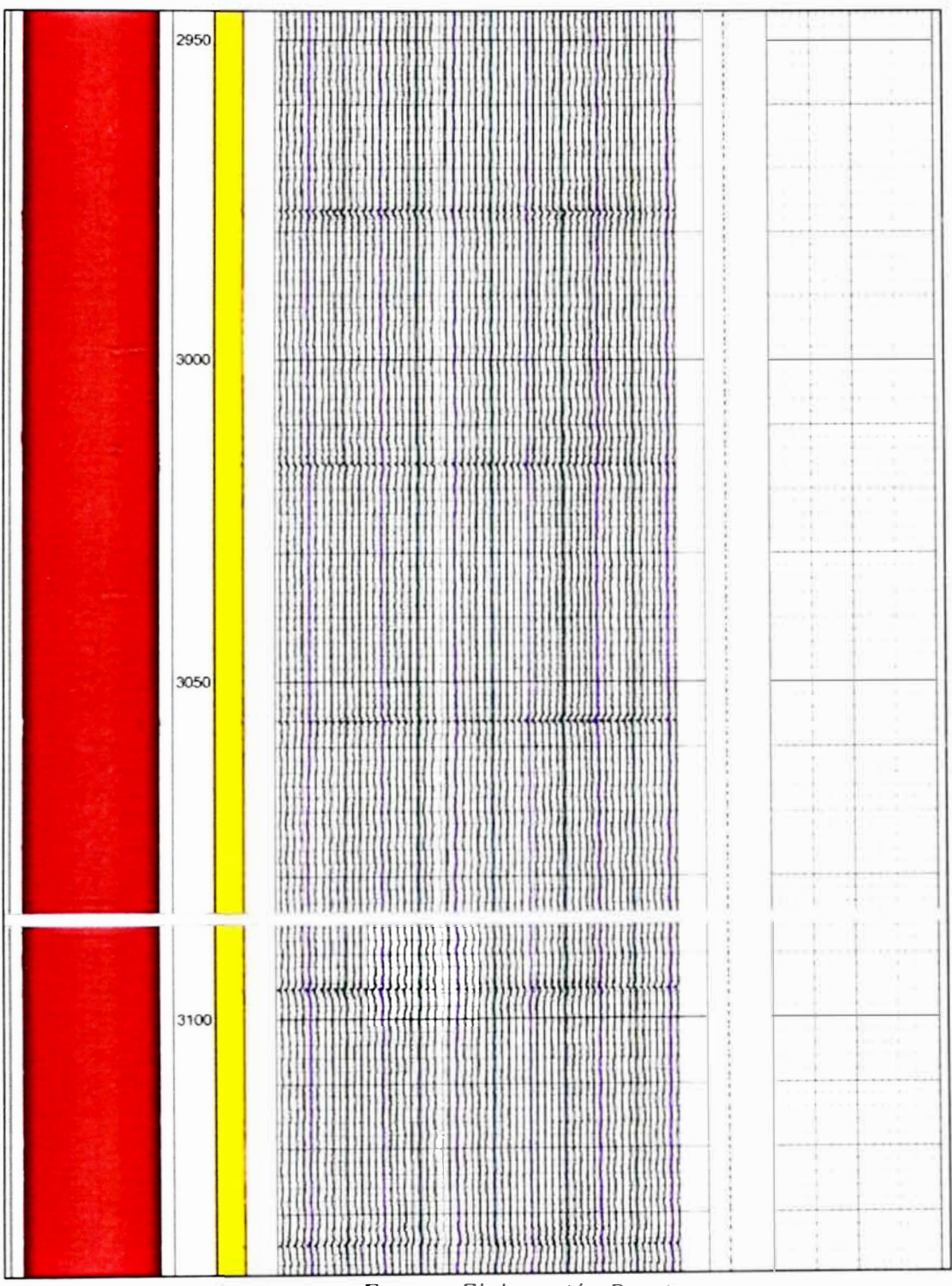


Figura 56 (continua). Impresión rápida en Campo – Pozo MO-01 (MFC-56).

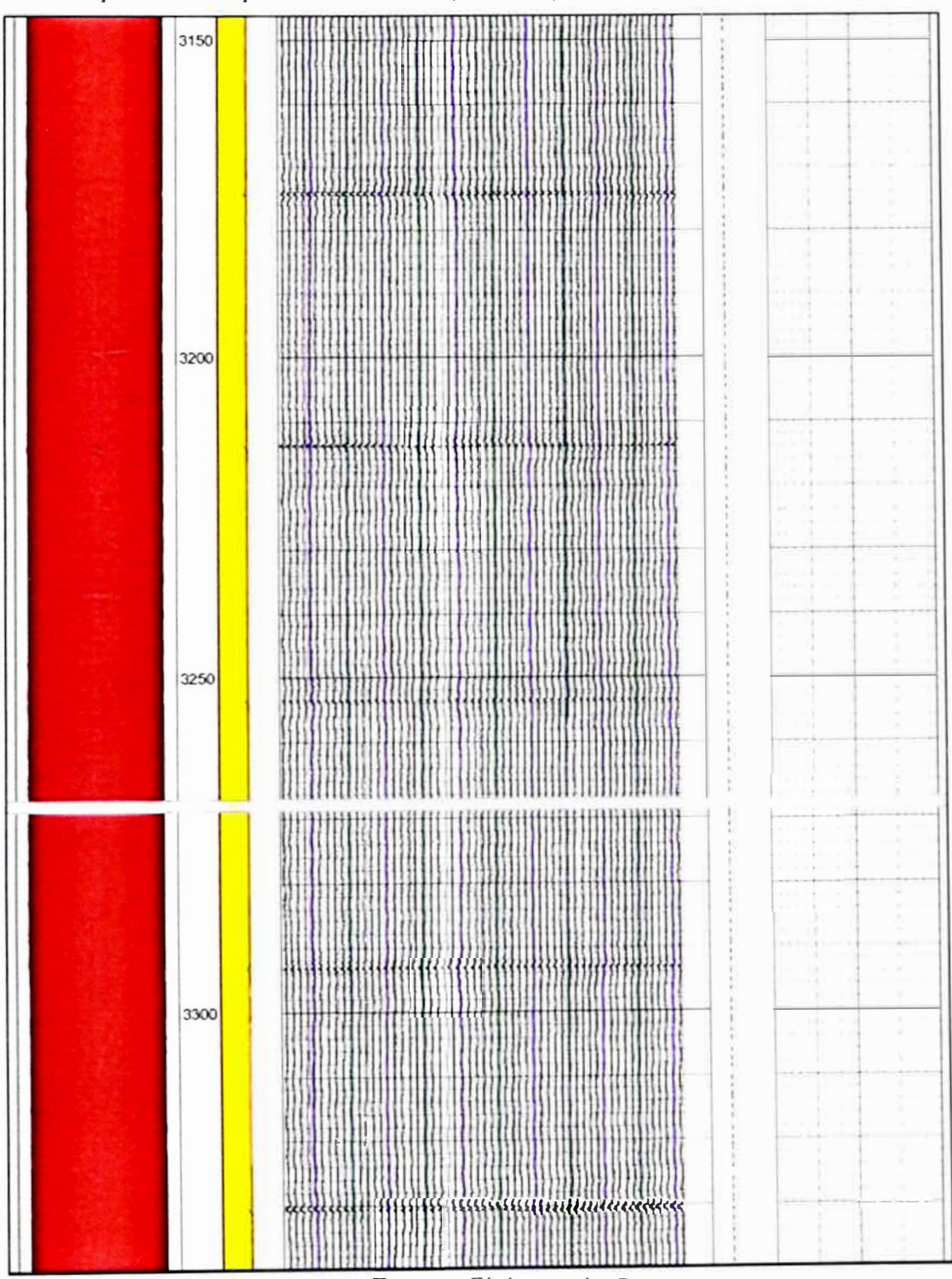


Figura 56 (continua). Impresión rápida en Campo – Pozo MO-01 (MFC-56).

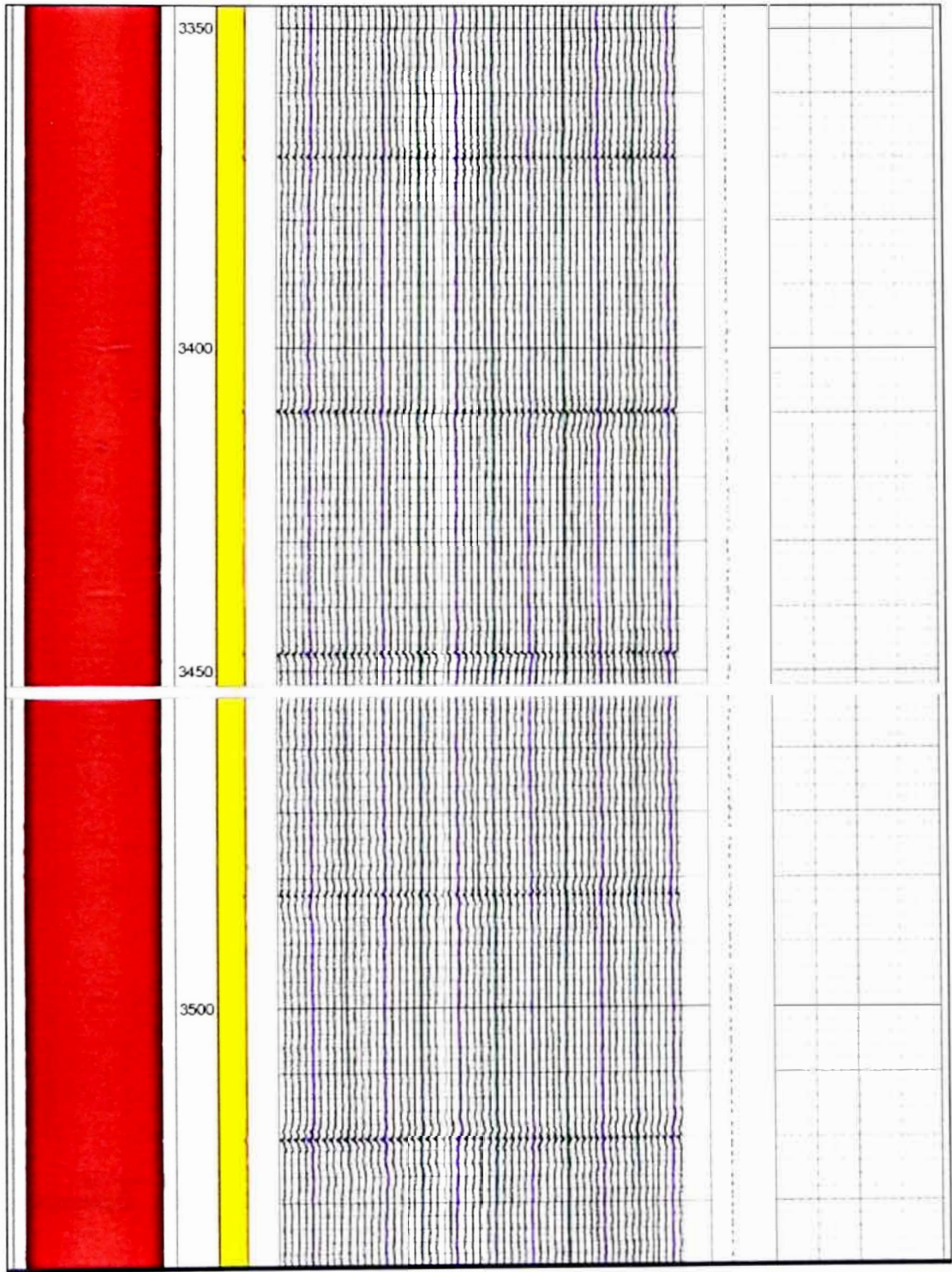
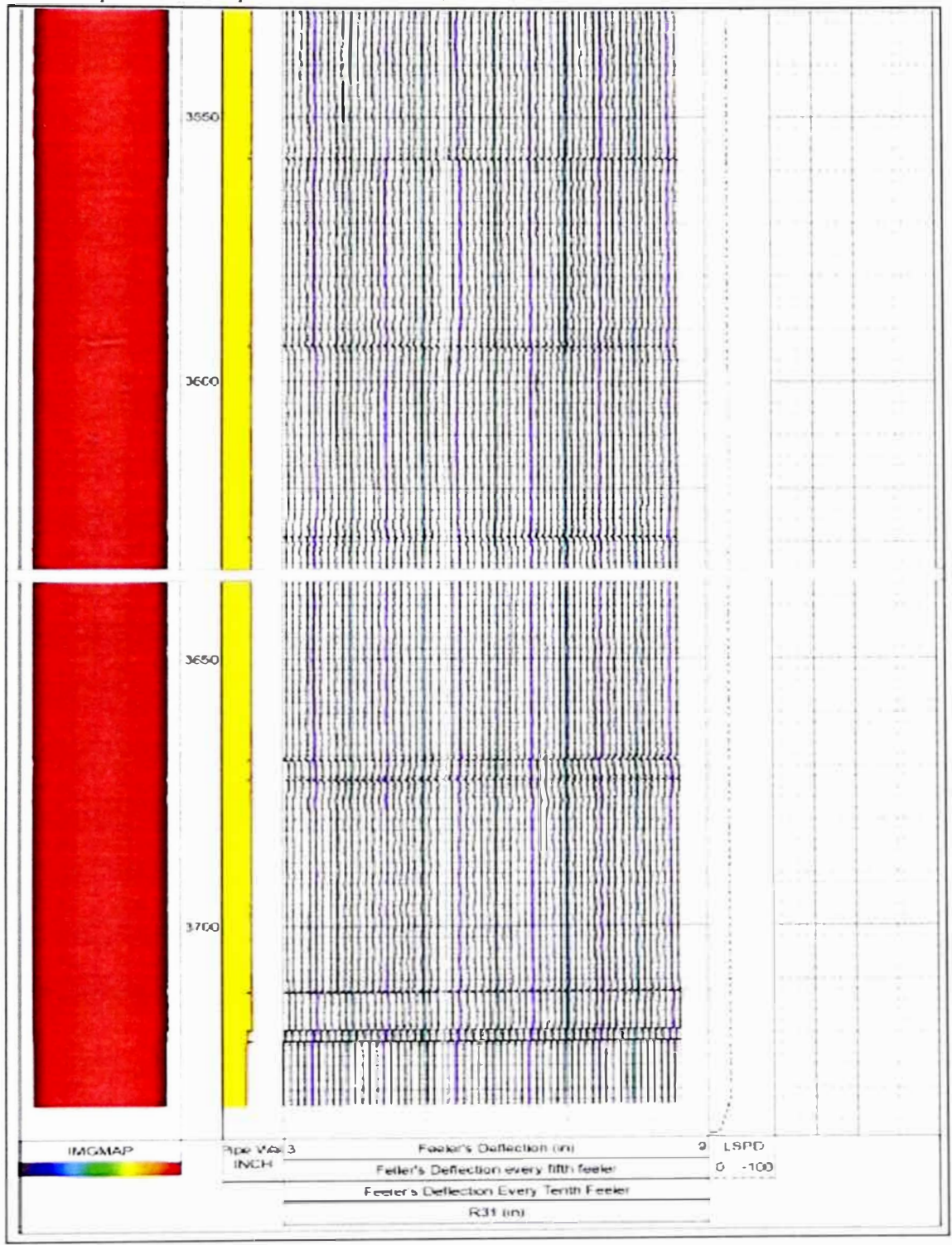


Figura 56 (continua). Impresión rápida en Campo – Pozo MO-01 (MFC-56).



**Tabla 30.** *Tabla completa de tubos en tubería de 7 pulgadas con MFC56.* 

Tope(m)	0()	Largo(m)	Max Pen	Max	Max	Max Pérd	Max Pérd	Min Diam	Min ·
rope(m)	Base(m)	Largo(m)	Prof.(m)	Pen(in)	Pen(%)	Prof.(m)	(%)	Prof(m)	Diam(in)
1.97	2.20	0.23	2.14	6.192	1.0	1.99	0.0	2.17	6.163
2.35	4.25	1.90	4.13	6.221	4.5	2.43	1.3	4.19	6.143
4.40	15.40	11.00	13.38	6.25	8.1	13.44	2.2	11.56	6.143
15.55	18.40	2.85	17.10	6.246	7.6	15.69	2.8	17.16	6.163
18.55	30.43	11.88	23.91	6.257	8.9	19.20	4.7	24.68	6.159
30.58	42.50	11.92	30.81	6.253	8.5	30.68	4.9	39.99	6.163
42.65	54.54	11.89	43.11	6.255	8.7	43.08	5.0	49.70	6.166
54.69	57.63	2.93	56.35	6.249	8.0	55.02	3.7	54.69	6.124
60.59	62.55	1.96	62.15	6.232	5.9	61.52	2.2	61.32	6.165
62.70	74.62	11.92	62.70	6.232	5.9	63.17	2.6	66.36	6.160
74.77	86.49	11.72	82.32	6.24	6.9	74.90	3.4	84.22	6.165
86.64	98.56	11.92	87.33	6.245	7.5	98.21	3.0	86.65	6.147
98.71	110.62	11.92	98.86	6.236	6.4	99.15	3.2	98.71	6.139
110.77	122.73	11.96	110.97	6.237	6.5	111.38	3.2	119.90	6.157
122.88	134.78	11.90	122.93	6.247	7.7	123.48	2.8	128.99	6.162
134.93	146.24	11.31	135.30	6.232	5.9	146.17	2.5	138.70	6.149
146.39	157.59	11.21	155.90	6.225	5.0	155.50	2.1	150.85	6.144
157.74	169.05	11.31	158.01	6.228	5.4	166.95	2.0	161.24	6.145
169.20	180.47	11.27	171.64	6.236	6.4	179.04	2.6	175.57	6.149
180.62	191.96	11.35	181.62	6.232	5.9	181.65	2.4	180.62	6.139
192.11	203.38	11.27	192.60	6.243	7.2	201.57	1.9	196.21	6.148
203.53	215.43	11.90	205.96	6.254	8.6	205.29	3.3	203.54	6.138
215.58	227.46	11.88	226.93	6.267	10.2	226.70	3.7	224.48	6.149
227.61	239.46	11.86	239.25	6.249	8.0	239.33	3.6	236.22	6.150
239.61	251.51	11.90	250.07	6.257	8.9	250.36	2.9	244.76	6.148
251.66	263.58	11.92	252.38	6.233	6.0	262.43	2.9	251.66	6.127
263.73	275.65	11.92	264.34	6.238	6.6	264.36	2.9	270.46	6.136
275.80	287.72	11.92	276.42	6.234	6.1	286.45	3.0	281.46	6.144
287.87	299.79	11.92	296.29	6.243	7.2	298.61	2.8	291.77	6.148
299.94	311.80	11.86	310.75	6.242	7.1	300.60	3.3	307.30	6.142
311.95	323.86	11.92	312.67	6.237	6.5	312.61	3.2	320.83	6.169
324.01	335.83	11.82	326.80	6.24	6.9	324.63	3.1	333.09	6.161

**Tabla 30 (continua).** *Tabla completa de tubos en tuberia de 7 pulgadas con MFC*56.

Tonalm	Basa(m)	( argolm)	Max Pen	Max	Max	Max Pérd	Max Pérd	Min Diam	Min
Tope(m)	Base(m)	Largo(m)	Prof.(m)	Pen(in)	Pen(%)	Prof.(m)	(%)	Prof(m)	Diam(in)
335.98	347.90	11.92	345.49	6.261	9.4	337.76	3.1	336.01	6.141
348.05	359.95	11.90	351.13	6.254	8.6	359.43	3.1	359.95	6.149
360.10	371.97	11.87	371.54	6.251	8.2	371.89	3.0	369.23	6.155
372.12	383.43	11.31	373.70	6.223	4.8	373.67	2.0	379.74	6.142
383.58	394.89	11.30	393.21	6.232	5.9	393.29	2.8	391.02	6.143
395.04	406.93	11.90	395.06	6.236	6.4	405.53	3.2	397.51	6.157
407.08	418.98	11.90	407.08	6.248	7.8	407.73	3.1	413.27	6.164
419.13	430.50	11.36	429.94	6.249	8.0	419.77	3.5	425.32	6.154
430.65	441.96	11.31	440.83	6.247	7.7	440.86	2.3	437.86	6.147
442.11	453.38	11.28	453.17	6.238	6.6	443.67	1.5	448.80	6.139
453.53	464.88	11.34	455.11	6.227	5.3	455.24	1.5	453.54	6.134
465.03	476.32	11.29	465.39	6.241	7.0	475.70	1.6	472.52	6.148
476.47	487.20	10.73	485.57	6.229	5.5	485.63	2.5	480.61	6.151
487.35	498.64	11.29	498.41	6.224	4.9	489.14	1.6	491.70	6.155
498.79	510.06	11.27	509.86	6.231	5.8	508.88	2.0	504.79	6.145
510.33	521.57	11.24	520.96	6.232	5.9	511.86	2.6	517.08	6.151
521.72	532.97	11.24	523.49	6.23	5.6	523.48	2.3	528.68	6.144
533.22	544.54	11.33	536.75	6.34	19.1	534.75	2.4	544.54	6.123
544.69	555.94	11.25	555.58	6.251	8.2	555.27	2.5	551.18	6.145
556.09	567.39	11.29	564.78	6.234	6.1	565.22	2.8	563.16	6.135
567.62	578.83	11.21	577.84	6.233	6.0	577.10	2.1	574.84	6.147
579.07	590.34	11.27	590.21	6.22	4.4	588.72	1.6	583.03	6,128
590.49	601.73	11.24	600.58	6.228	5.4	600.45	1.9	597.61	6.151
602.00	613.22	11.22	603.16	6.242	7.1	603.14	2.3	607.23	6.148
613.44	624.74	11.29	613.48	6.244	7.4	613.49	2.9	619.34	6.143
624.89	636.30	11.41	626.10	6.235	6.3	625.05	3.3	630.33	6.158
636.45	647.75	11.30	645.79	6.246	7.6	645.78	4.6	643.70	6.149
647.90	659.12	11.22	658.51	6.264	9.8	658.28	6.2	654.93	6.157
659.27	670.57	11.30	668.50	6.245	7.5	668.53	4.5	666.02	6.135
670.81	682.03	11.22	680.26	6.282	12.0	680.27	8.8	677.11	6.140
682.28	694.08	11.80	682.33	6.247	7.7	682.87	2.4	689.86	6.131
694.23	706.22	11.99	705.22	6.235	6.3	694.93	3.4	703.46	6.154
706.37	717.68	11.30	716.97	6.26	9.3	716.96	6.4	712.67	6.139
717.83	729.06	11.23	727.22	6.264	9.8	727.21	6.4	724.84	6.151

**Tabla 30 (continua).** *Tabla completa de tubos en tubería de 7 pulgadas con MFC56.* 

-			Max Pen	Max	Max	Max Pérd	Max Pérd	Min Diam	Min
Tope(m)	Base(m)	Largo(m)	Prof.(m)	Pen(in)	Pen(%)	Prof.(m)	(%)	Prof(m)	Diam(in)
729.30	740.88	11.58	735.67	6.252	8.3	730.82	2.9	739.83	6.153
741.22	752.86	11.64	741.71	6.242	7.1	752.67	3.1	747.09	6.148
753.04	764.74	11.70	764.16	6.251	8.2	754.65	3.1	763.96	6.144
764.92	776.69	11.77	764.97	6.244	7.4	765.11	3.5	768.95	6.156
776.87	788.52	11.65	788.43	6.229	5.5	777.36	2.0	784.49	6.143
788.70	800.50	11.81	788.88	6.251	8.2	789.25	3.6	797.56	6.158
800.68	812.48	11.79	801.15	6.233	6.0	801.28	2.3	804.72	6.133
812.66	824.06	11.40	813.42	6.233	6.0	813.41	2.5	820.16	6.140
824.24	835.69	11.46	824.80	6.234	6.1	824.84	2.2	831.26	6.135
835.87	847.53	11.65	846.57	6.251	8.2	836.38	2.9	842.20	6.148
847.71	859.42	11.71	847.88	6.236	6.4	848.21	2.7	854.49	6.149
859.71	871.48	11.77	860.26	6.248	7.8	860.31	2.7	866.95	6.146
871.75	883.48	11.73	873.18	6.243	7.2	872.18	3.4	879.32	6.156
883.66	895.27	11.61	884.22	6.239	6.7	883.97	2.6	895.16	6.135
895.55	907.20	11.65	895.56	6.251	8.2	896.16	3.2	903.47	6.146
907.38	919.27	11.89	907.42	6.253	8.5	918.03	2.6	911.41	6.147
919.45	931.40	11.95	930.33	6.239	6.7	920.05	3.0	926.60	6.146
931.58	943.40	11.83	935.80	6.238	6.6	942.24	3.1	940.21	6.148
943.58	955.41	11.83	944.37	6.241	7.0	944.18	2.9	950.72	6.144
955.59	967.47	11.87	955.65	6.237	6.5	956.20	2.5	957.92	6.139
967.65	979.52	11.87	967.67	6.238	6.6	968.25	2.5	973.33	6.150
979.70	991.59	11.89	991.16	6.231	5.8	991.04	2.5	988.98	6.156
991.77	1003.65	11.88	997.02	6.253	8.5	993.48	2.7	1000.84	6.148
1003.83	1015.09	11.25	1014.95	6.241	7.0	1005.37	1.9	1010.44	6.144
1015.27	1027.13	11.87	1016.00	6.24	6.9	1015.95	3.5	1022.78	6.159
1027.31	1039.21	11.89	1027.79	6.243	7.2	1027.96	3.1	1035.17	6.146
1039.39	1050.64	11.25	1049.94	6.239	6.7	1040.92	2.0	1046.26	6.137
1050.82	1061.43	10.61	1060.48	6.253	8.5	1051.09	3.2	1054.91	6.128
1061.61	1072.90	11.29	1063.30	6.243	7.2	1063.27	2.8	1065.81	6.133
1073.08	1084.34	11.27	1074.23	6.254	8.6	1074.70	3.0	1077.28	6.121
1084.52	1095.17	10.65	1093.31	6.254	8.6	1093.11	3.4	1086.57	6.132
1095.35	1106.10	10.74	1104.73	6.257	8.9	1095.43	3.4	1099.88	6.129
1106.28	1118.18	11.91	1117.71	6.249	8.0	1106.93	2.8	1111.20	6.162
1118.36	1119.33	0.96	1119.09	6.238	6.6	1119.19	2.4	1118.38	6.154
1119.51	1131.39	11.89	1130.94	6.239	6.7	1130.98	2.8	1125.69	6.157
1131.57	1133.59	2.01	1133.23	6.257	8.9	1133.25	4.2	1132.61	6.174

## Anexos 3

Impresión rápida en Campo - Pozo MO-02, MFC24

Figura 57. Impresión rápida en campo – Pozo MO-02 (MFC-24).

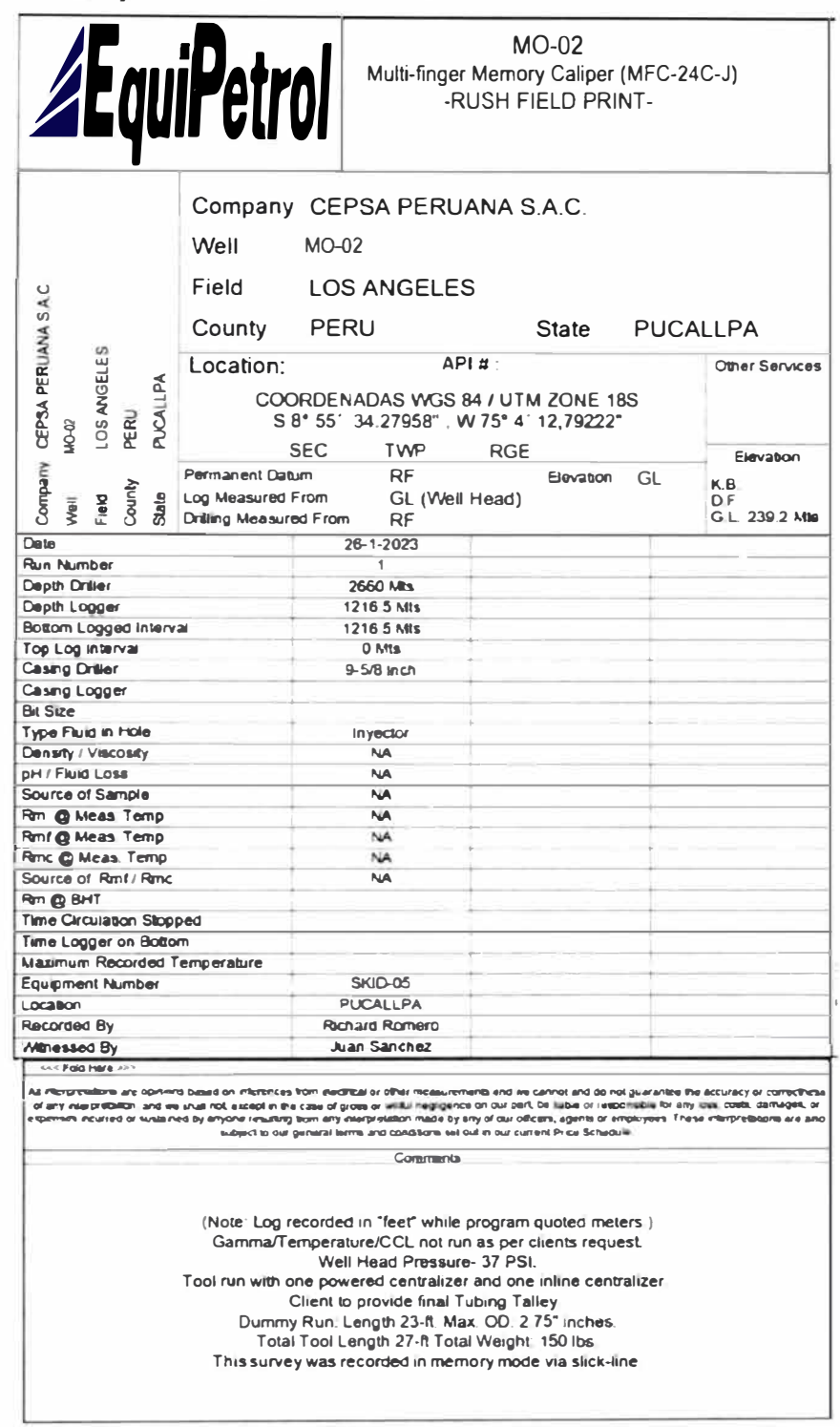


Figura 57 (continua). Impresión rápida en campo – Pozo MO-02 (MFC-24).

Sensor	Offset (ft)	Schematic	Description	Length (ft)	Length (ft) O.D. (in) Weight (				
			- BPU-43C-J (20430)		1.69	15.43			
BATTCURR BATTVOLT	1 1/		MRL-43C-E (20486) GOWel Memory Controller Sub (GOWel 13-Pin connection) - Pegasus	1.77	1.69	8.82			
			CTL-43C-K (20231) GOWell Roller Centralizer (GOWell 13-Pin corraction)	3.10	1 69	15.43			
ECENTSTAT ECENTI ECENTV Meas Aux1	6.07 6.07 6.07 6.07 6.05		MFC-24C-J (20085) —GOWel 24 Arms Caliper (GOWel 13-Pin correction) - Pagasus	4.94	1.69	12.00			
			CTL-43C-K (20225) —GOWell Roller Centralizer (GOWell 13-Pvn contralizer)	3.10	1.69	15.43			
			BNT-43C-B (20356)GOWell Bull Nose (GOWell 13-Pin connection) Pegists	0.58	1 69	2.20			
	Tota	al length: 15.80 al weight 69.32	lb	/pass2					

Figura 57 (continua). Impresión rápida en campo – Pozo MO-02 (MFC-24).

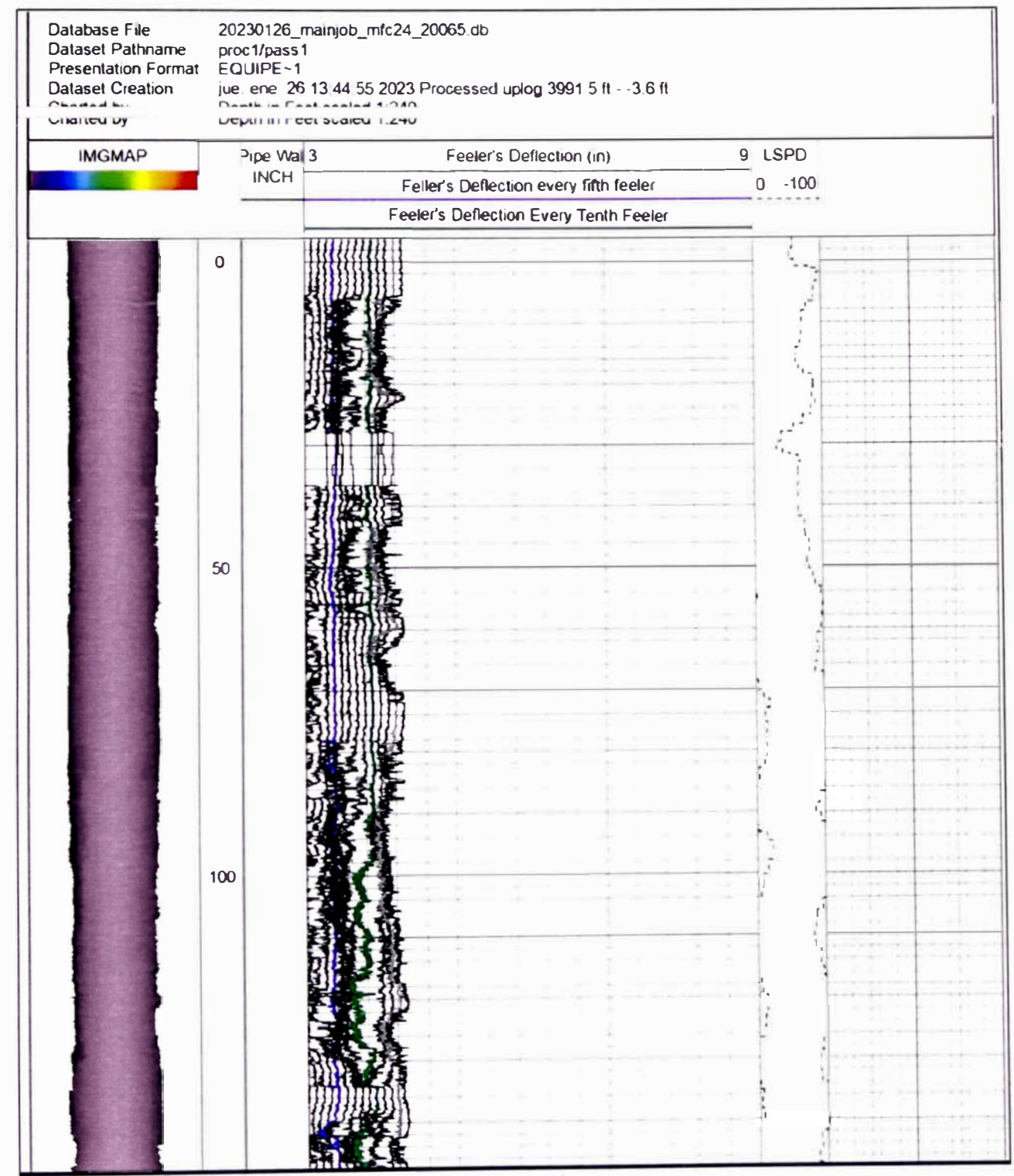


Figura 57 (continua). Impresión rápida en campo – Pozo MO-02 (MFC-24).

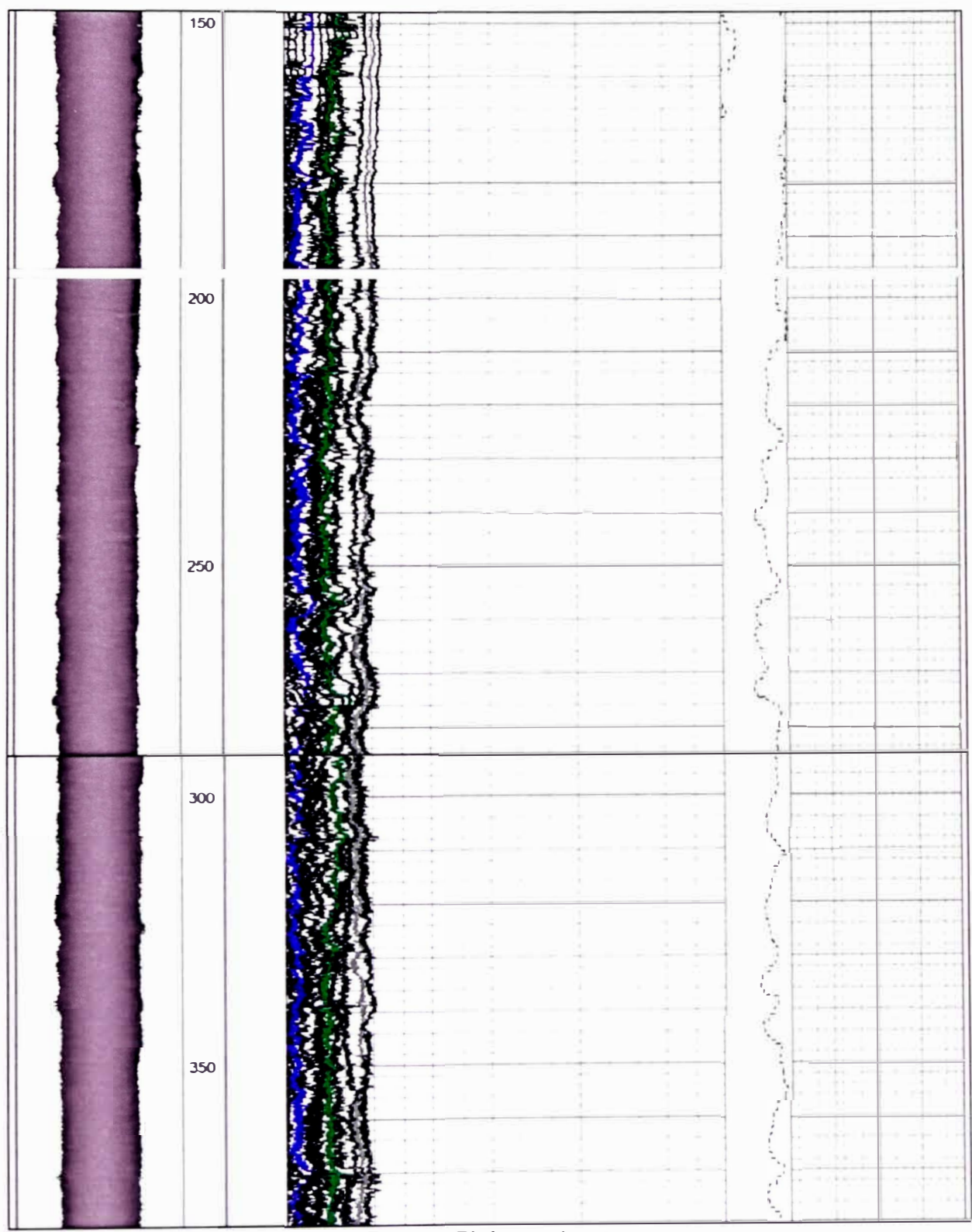


Figura 57 (continua). Impresión rápida en campo – Pozo MO-02 (MFC-24).

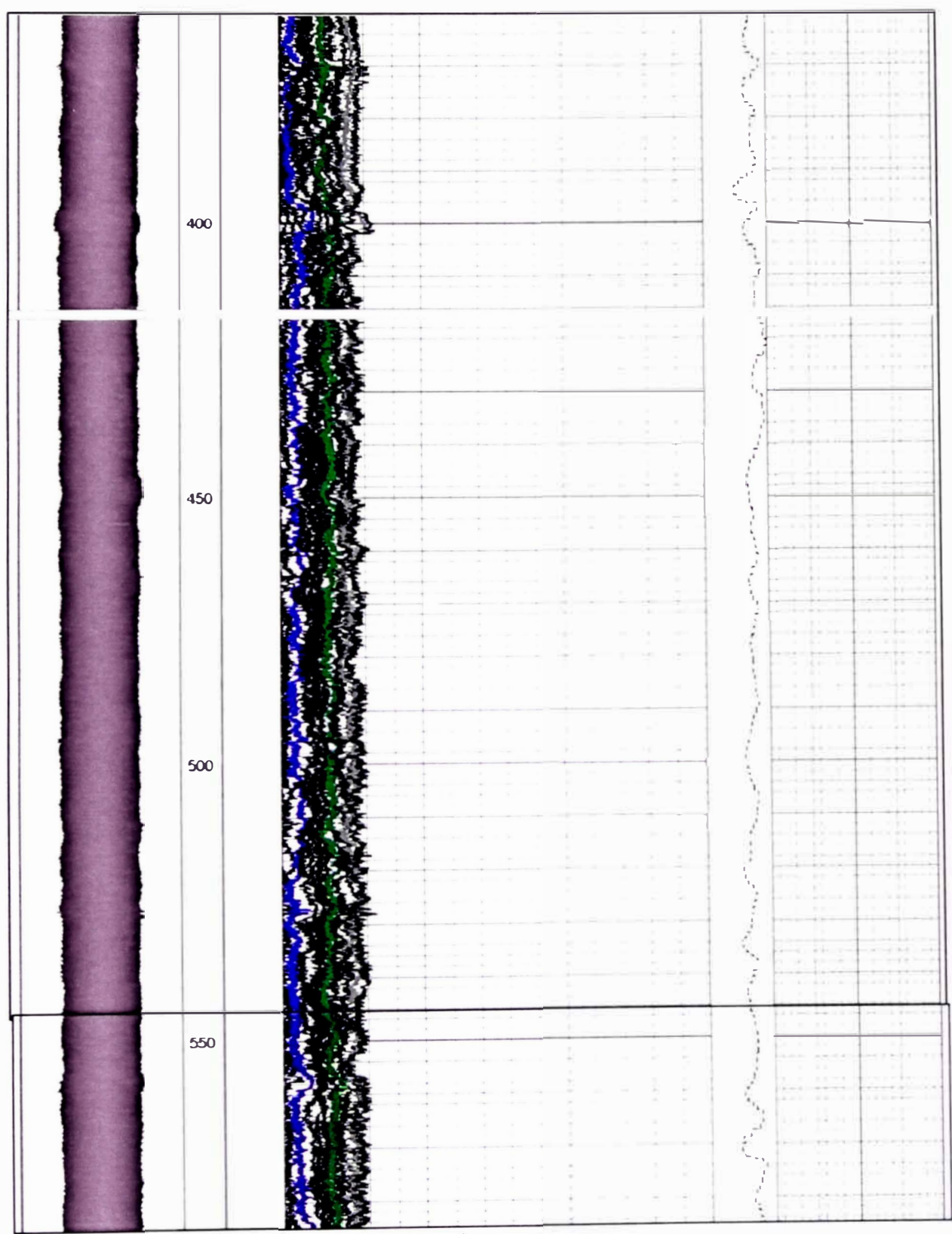


Figura 57 (continua). Impresión rápida en campo – Pozo MO-02 (MFC-24).

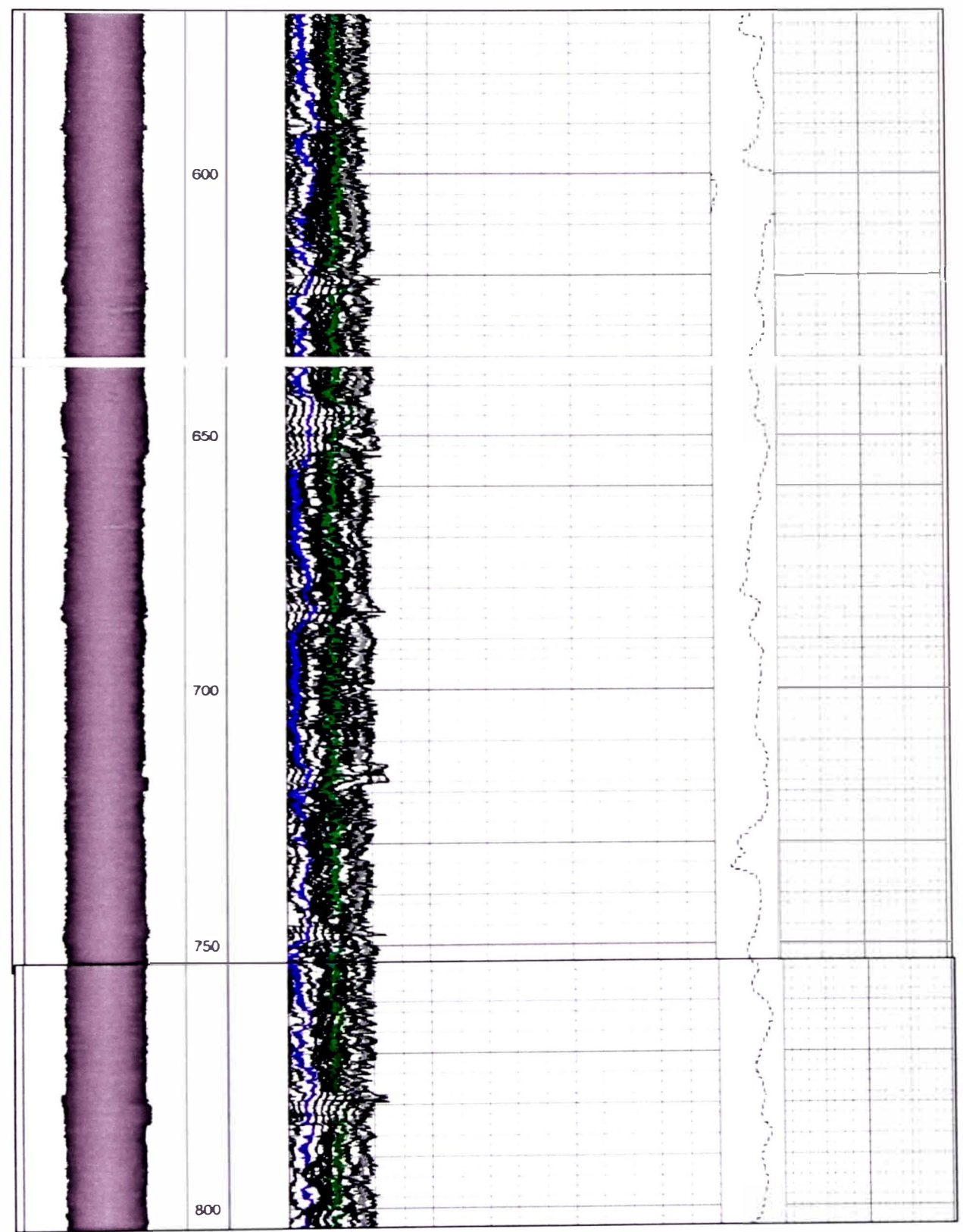


Figura 57 (continua). Impresión rápida en campo – Pozo MO-02 (MFC-24).

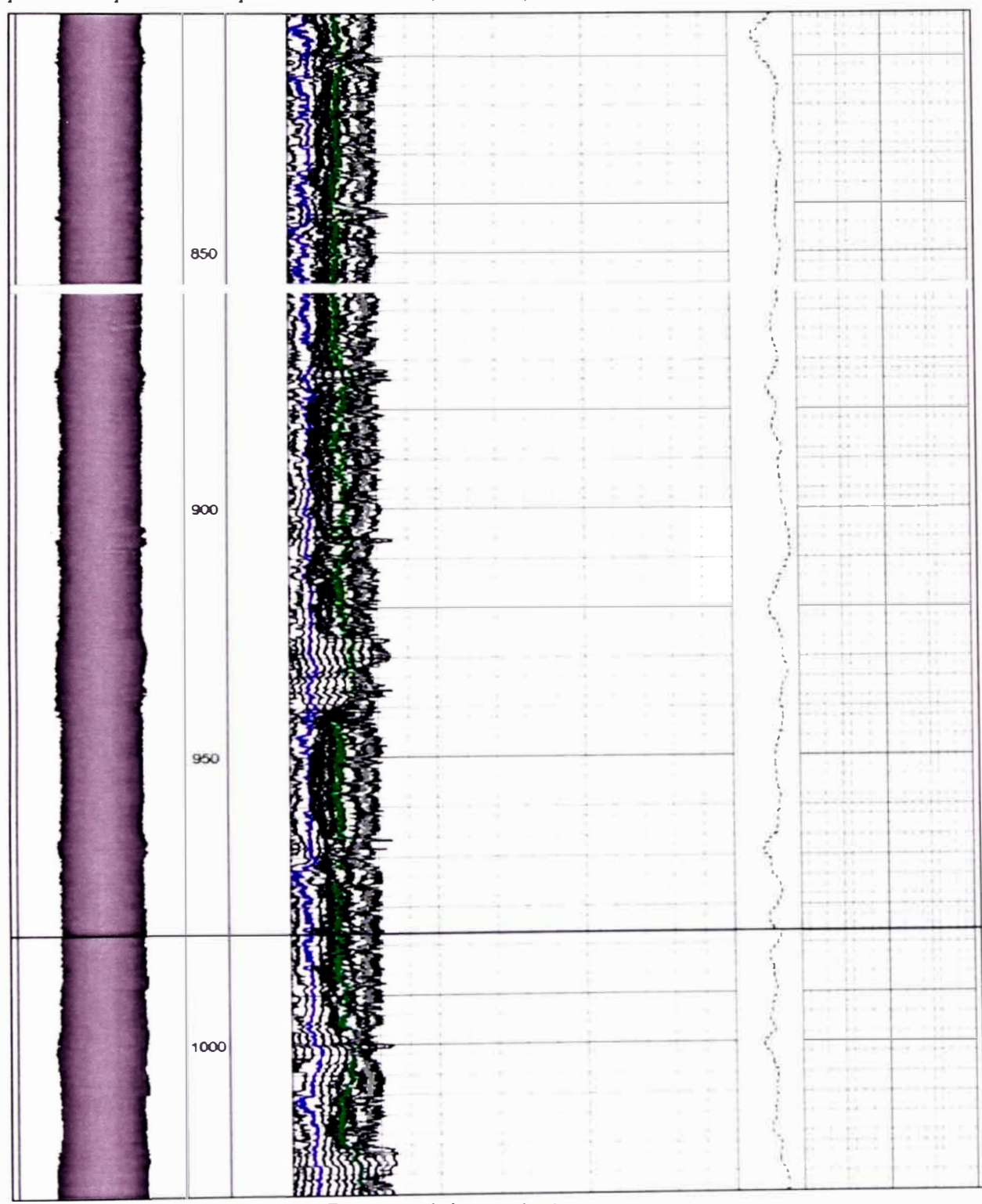


Figura 57 (continua). Impresión rápida en campo – Pozo MO-02 (MFC-24).

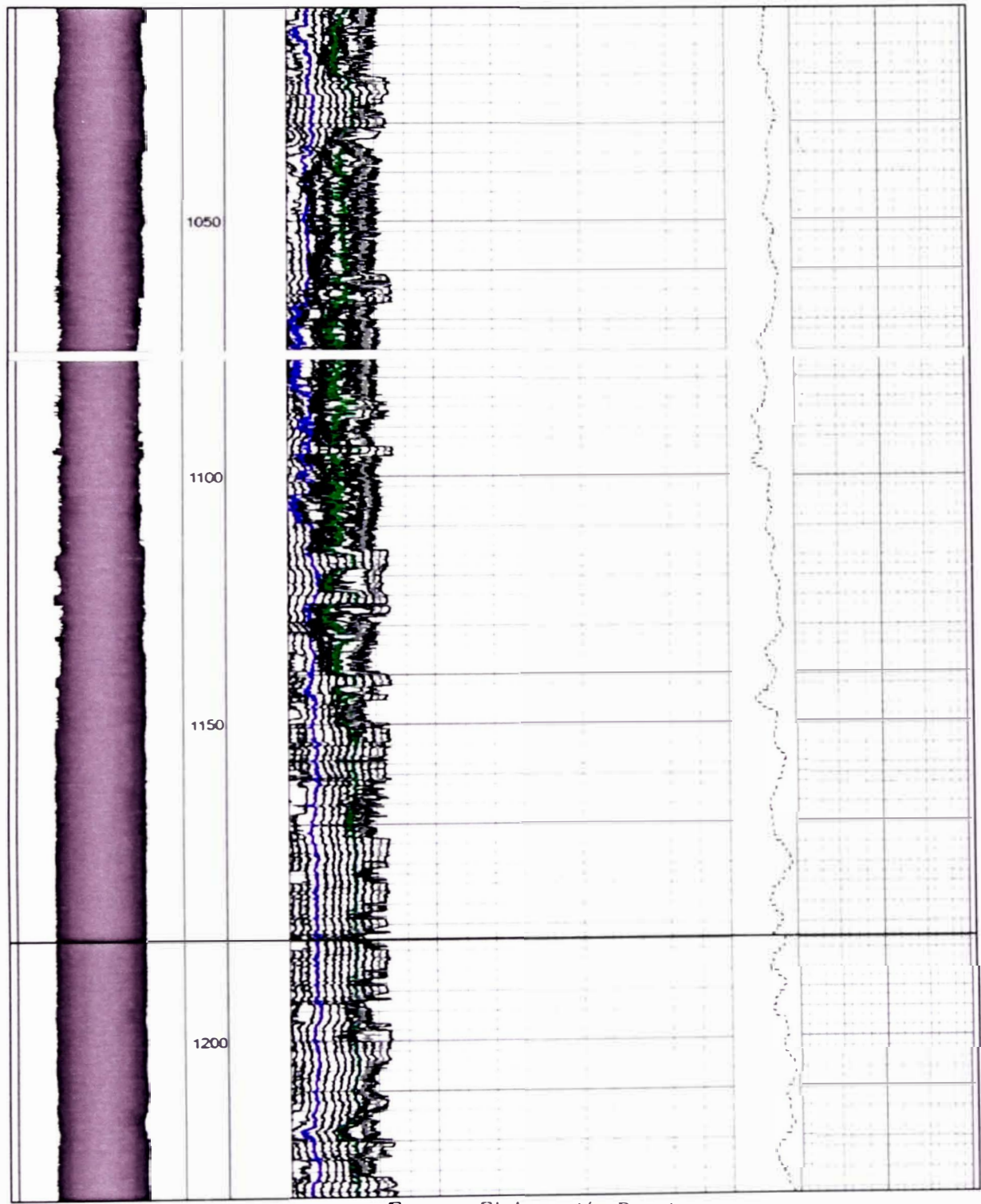


Figura 57 (continua). Impresión rápida en campo – Pozo MO-02 (MFC-24).

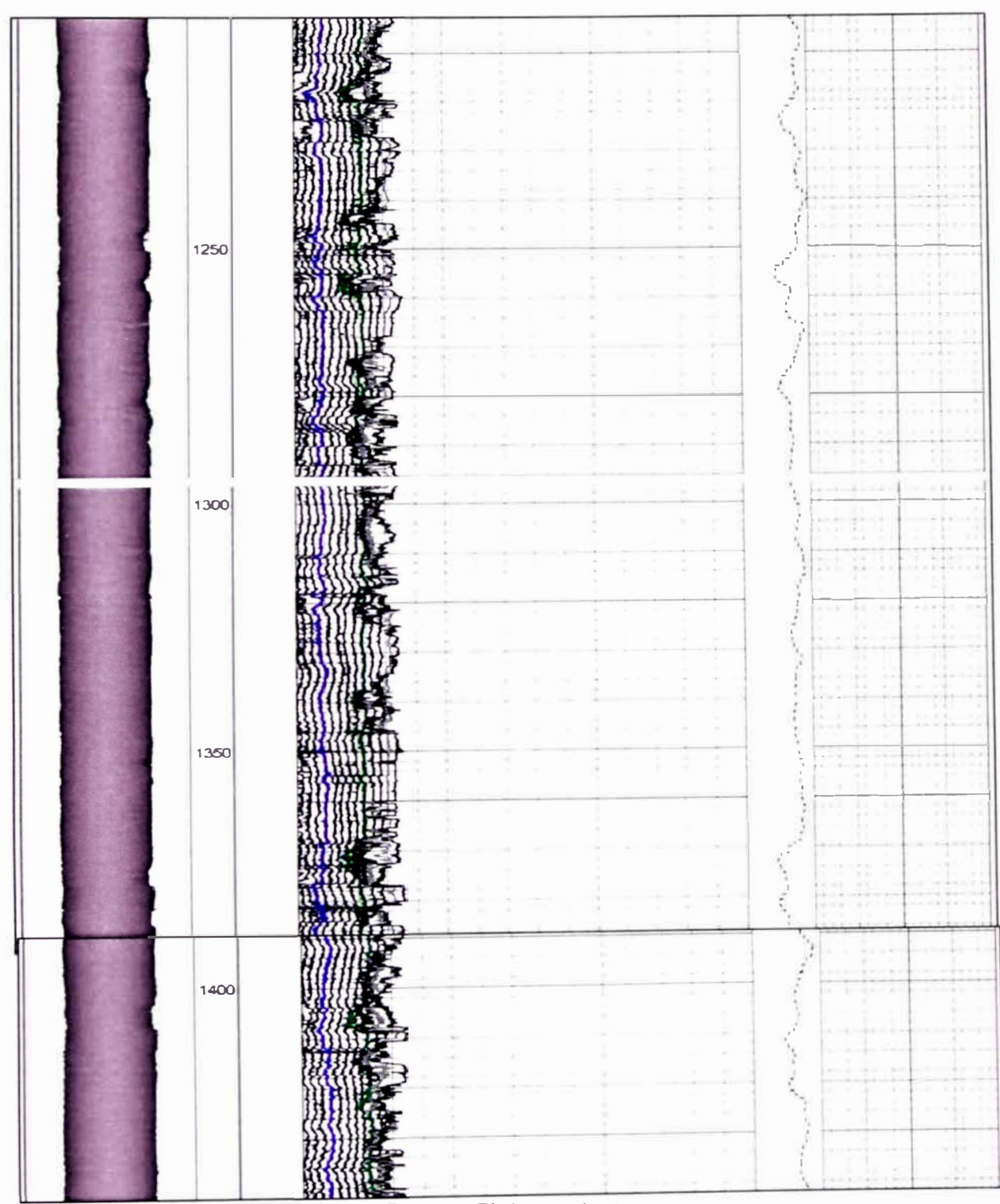


Figura 57 (continua). Impresión rápida en campo – Pozo MO-02 (MFC-24).

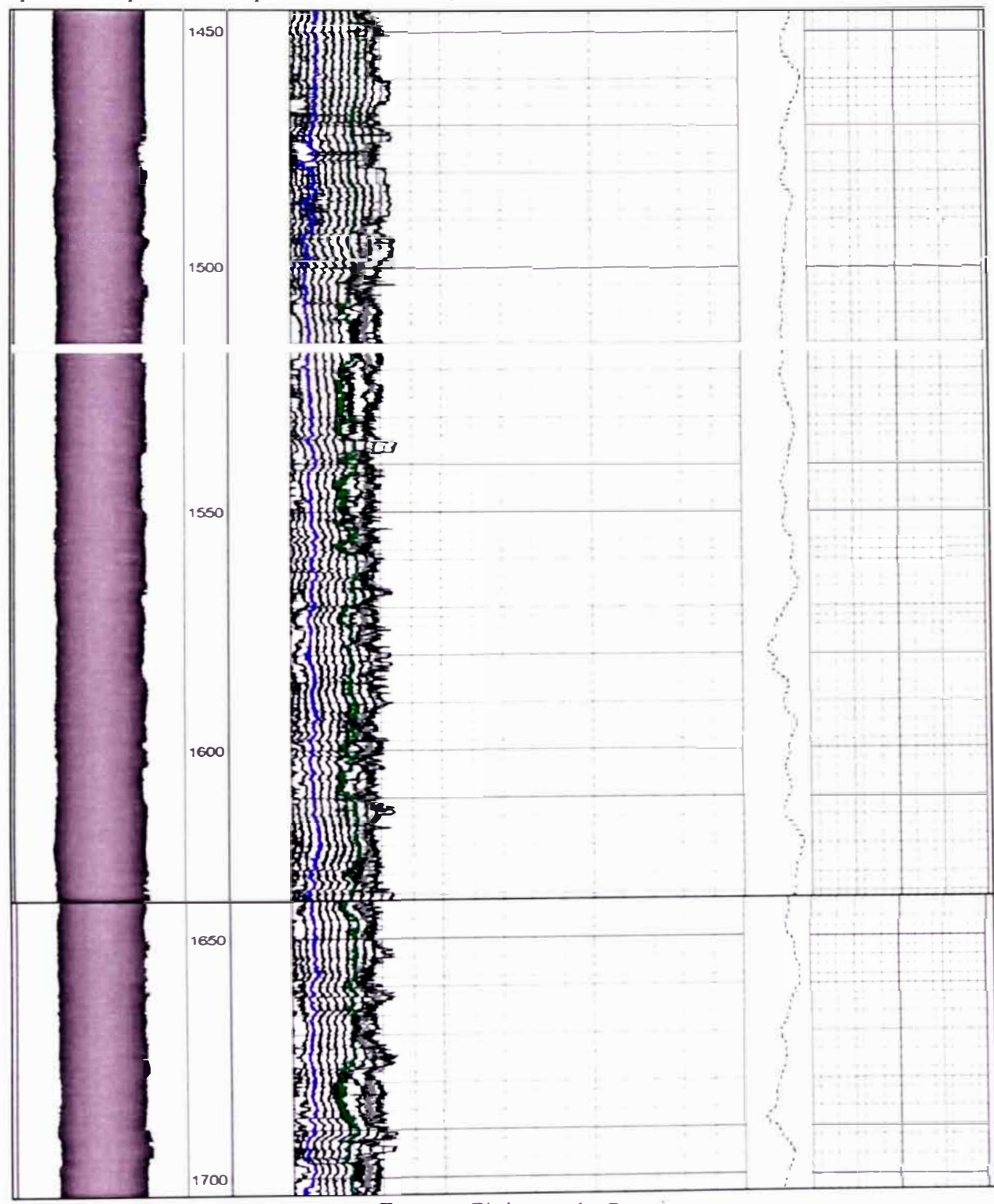


Figura 57 (continua). Impresión rápida en campo – Pozo MO-02 (MFC-24).

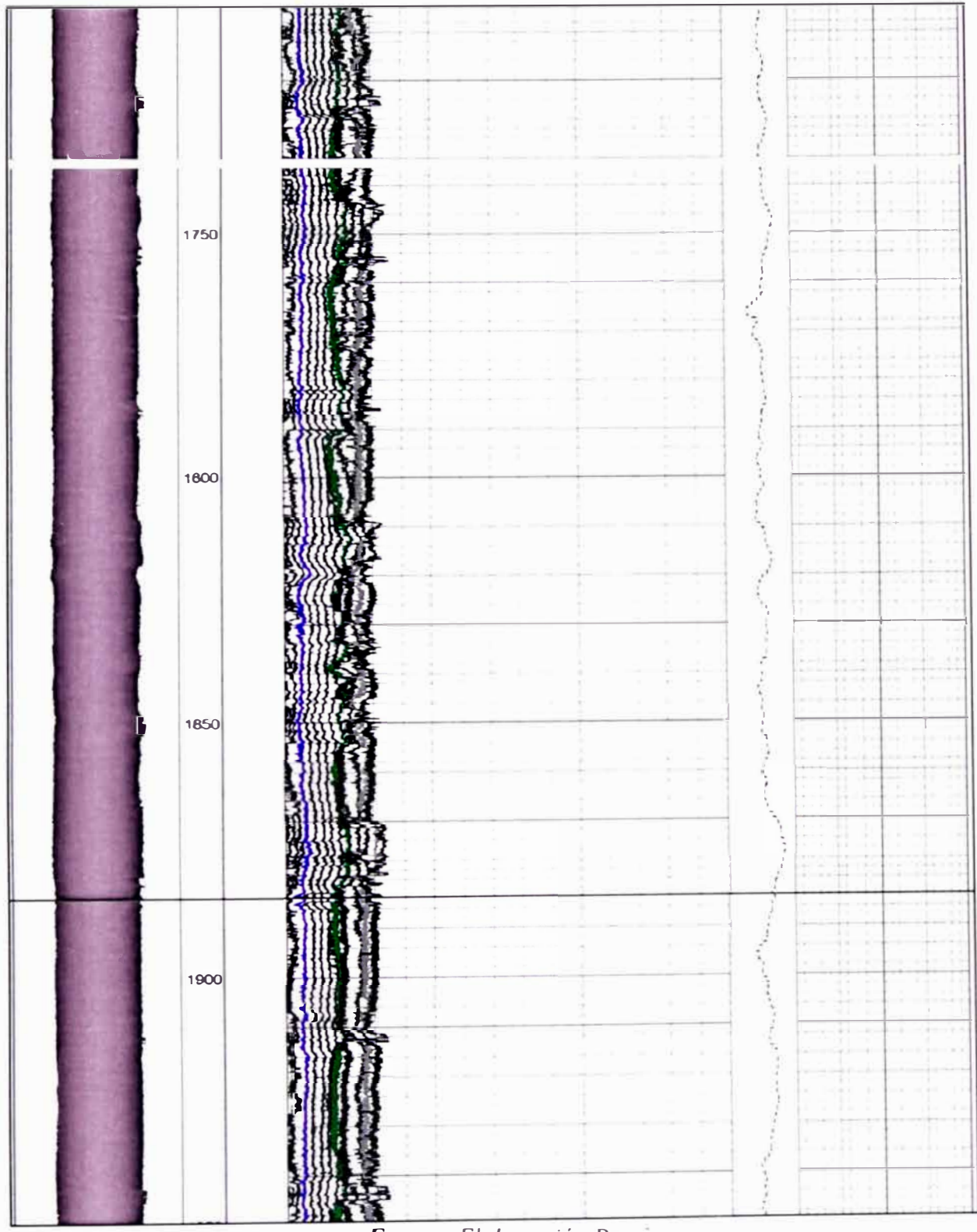


Figura 57 (continua). Impresión rápida en campo – Pozo MO-02 (MFC-24).

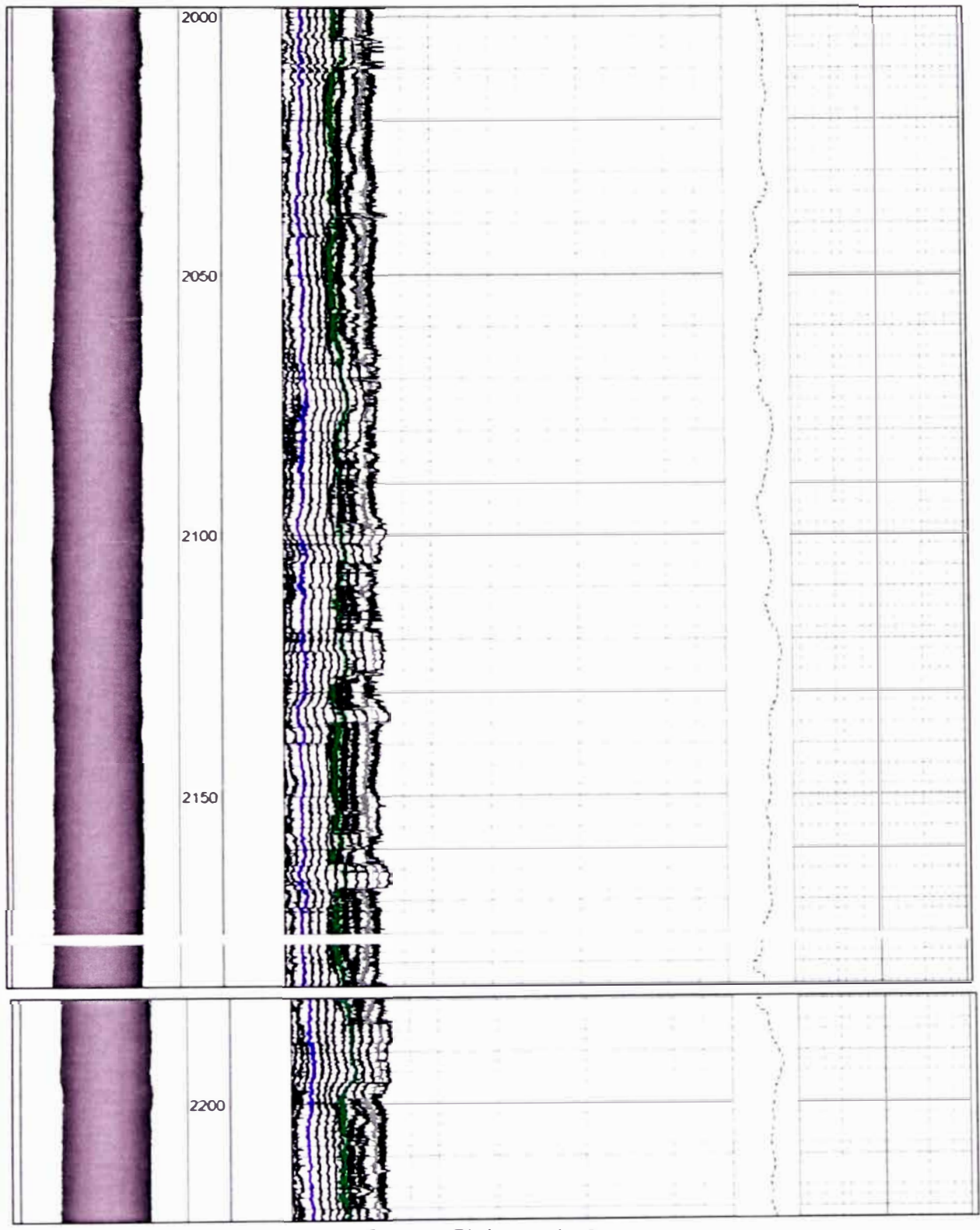


Figura 57 (continua). Impresión rápida en campo – Pozo MO-02 (MFC-24).

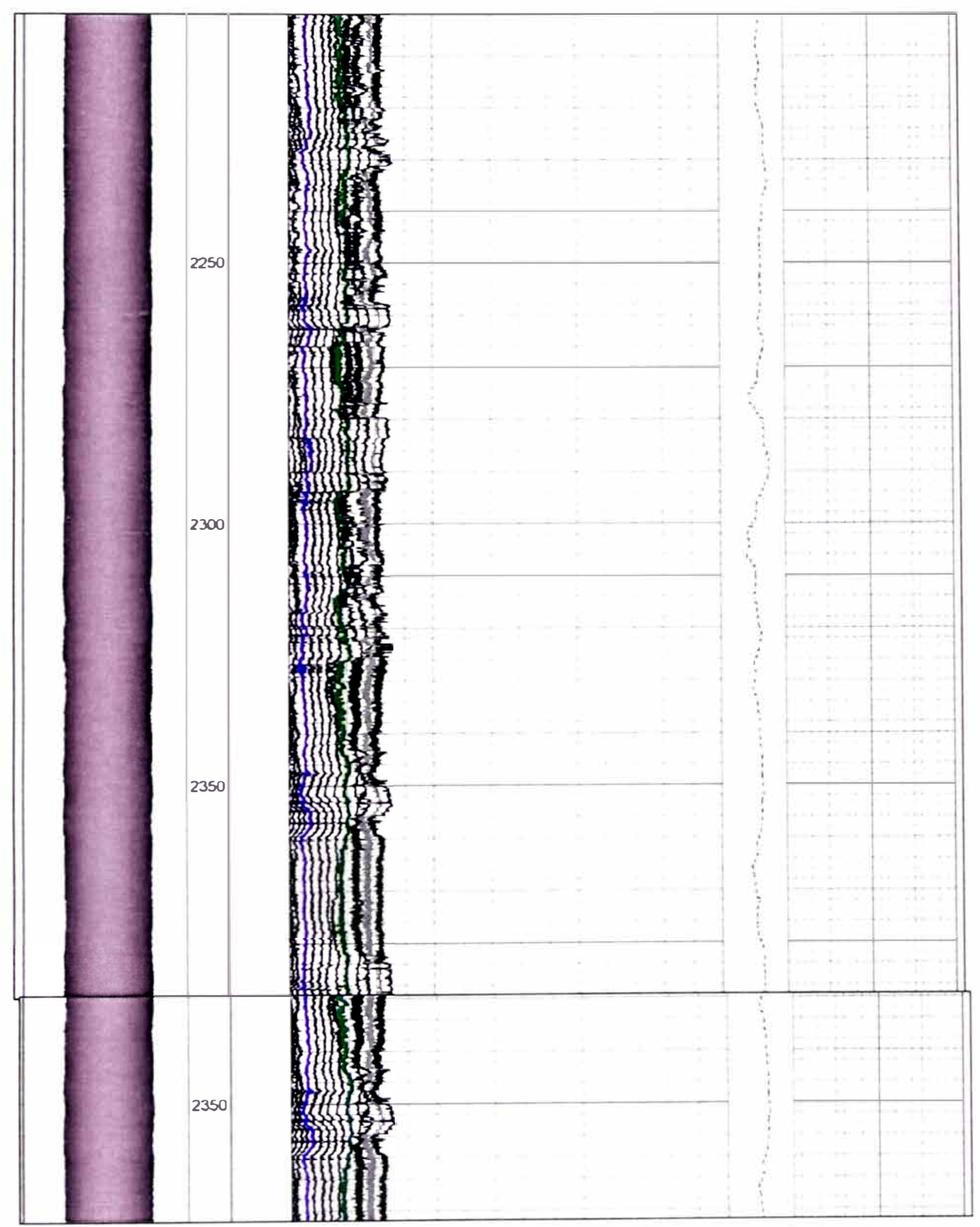


Figura 57 (continua). Impresión rápida en campo – Pozo MO-02 (MFC-24).

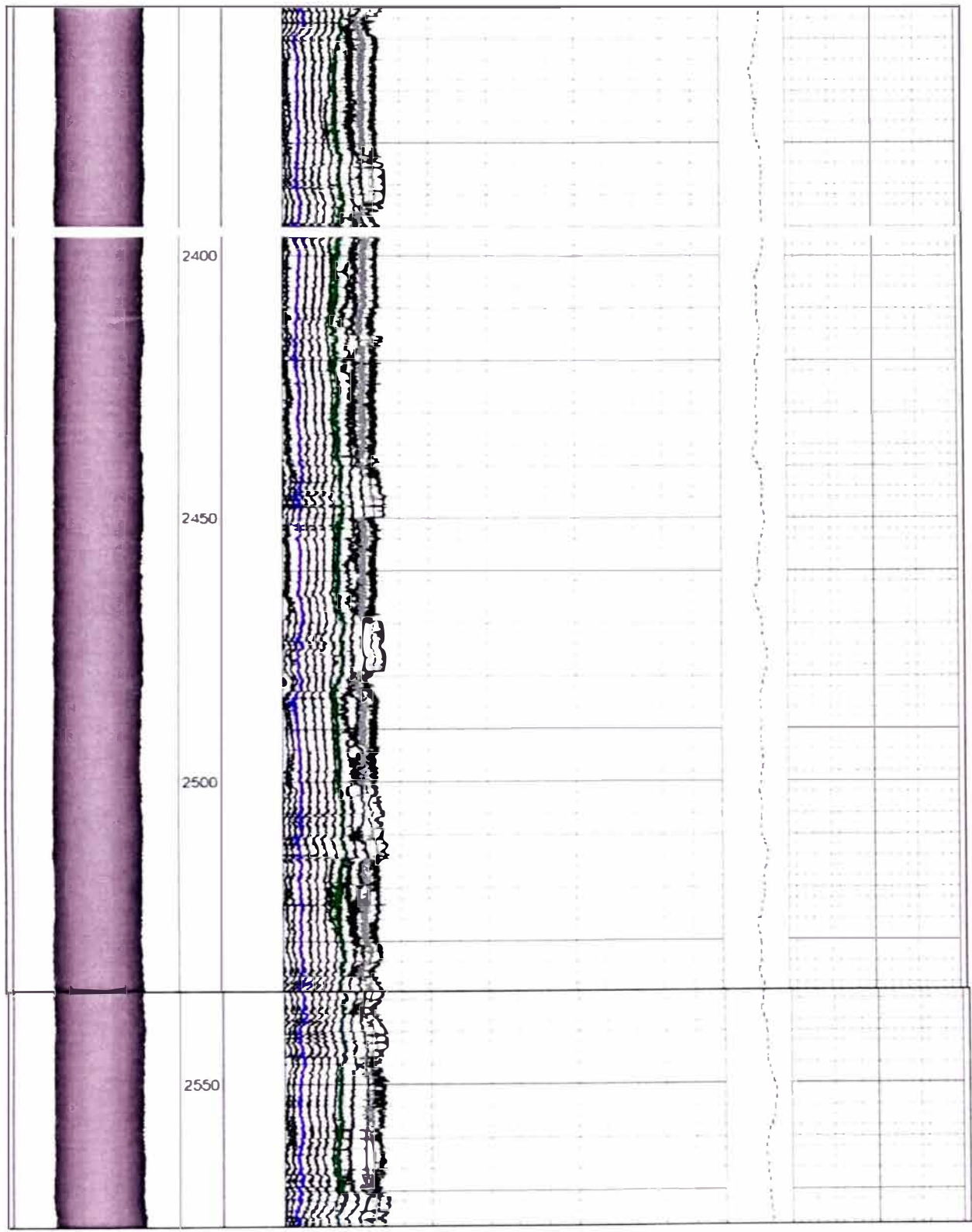


Figura 57 (continua). Impresión rápida en campo – Pozo MO-02 (MFC-24).

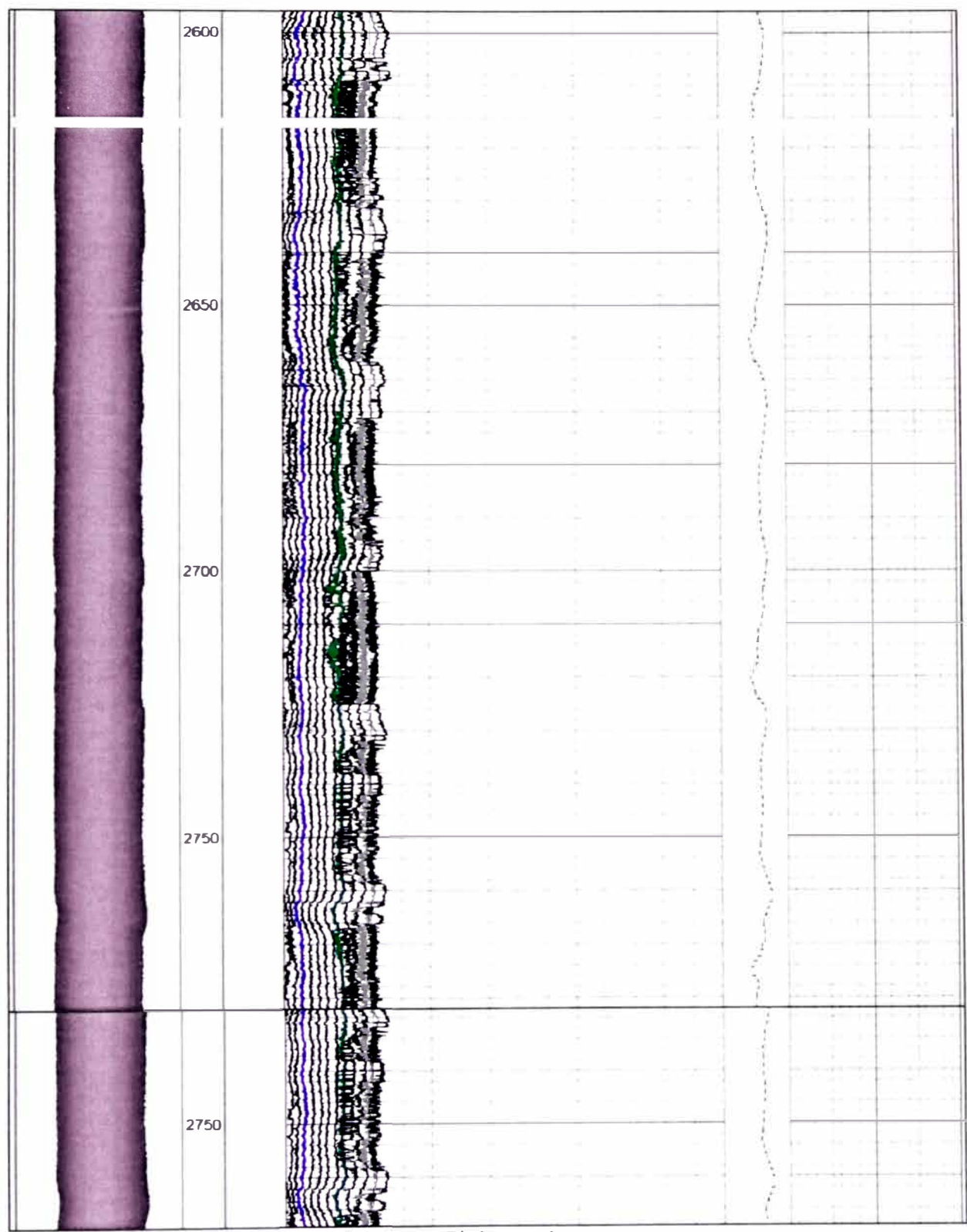


Figura 57 (continua). Impresión rápida en campo – Pozo MO-02 (MFC-24).

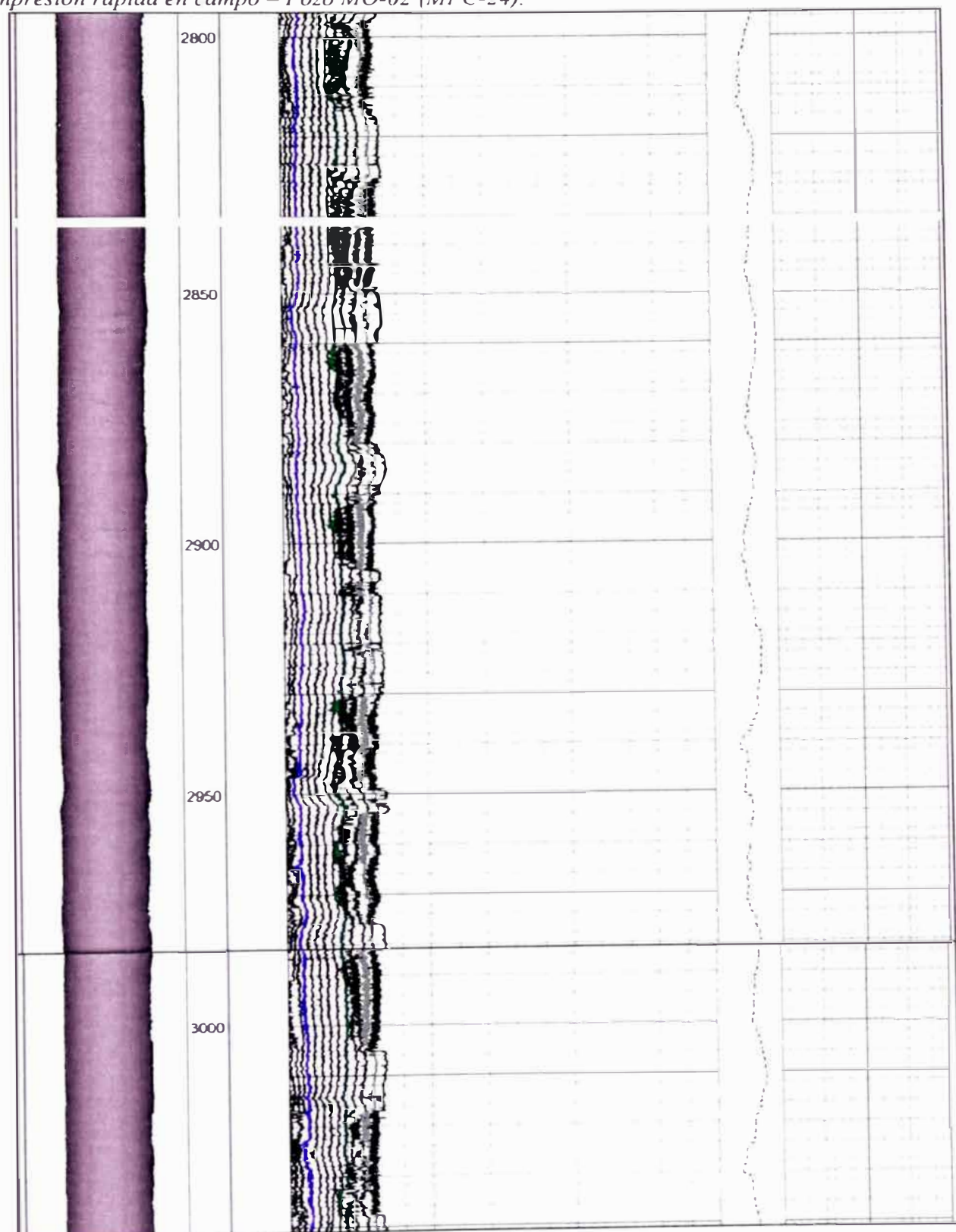


Figura 57 (continua). Impresión rápida en campo – Pozo MO-02 (MFC-24).

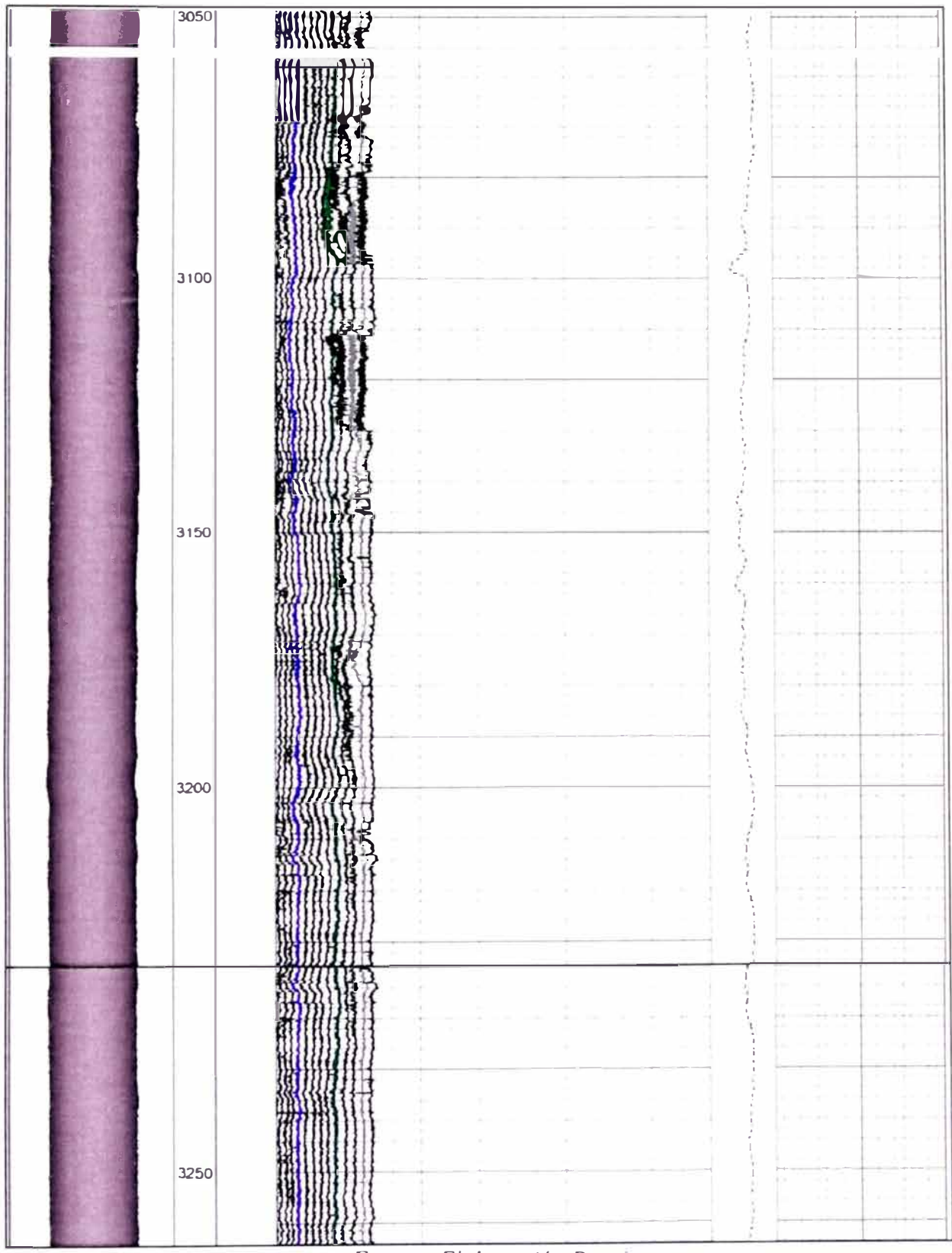


Figura 57 (continua). Impresión rápida en campo – Pozo MO-02 (MFC-24).

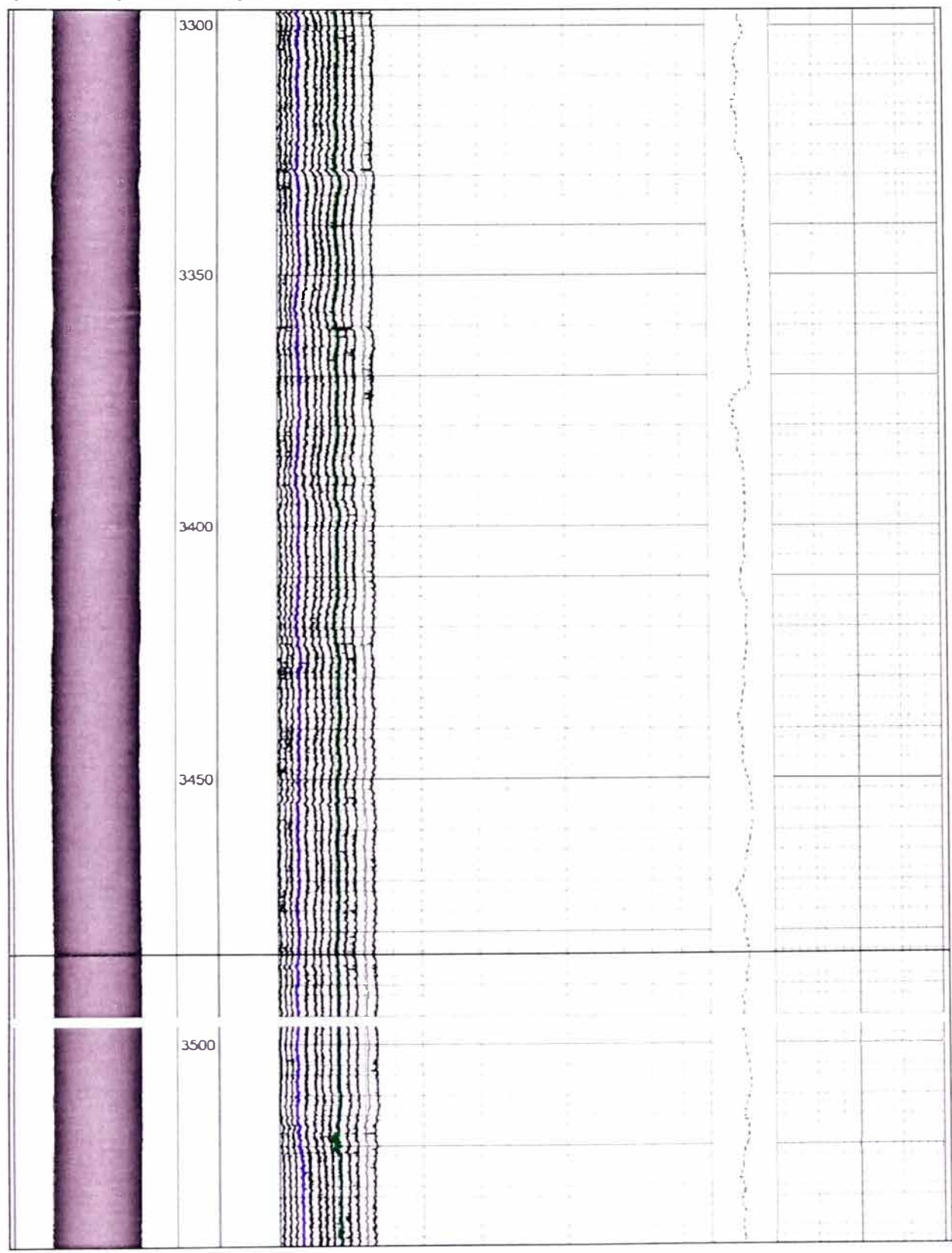


Figura 57 (continua). Impresión rápida en campo – Pozo MO-02 (MFC-24).

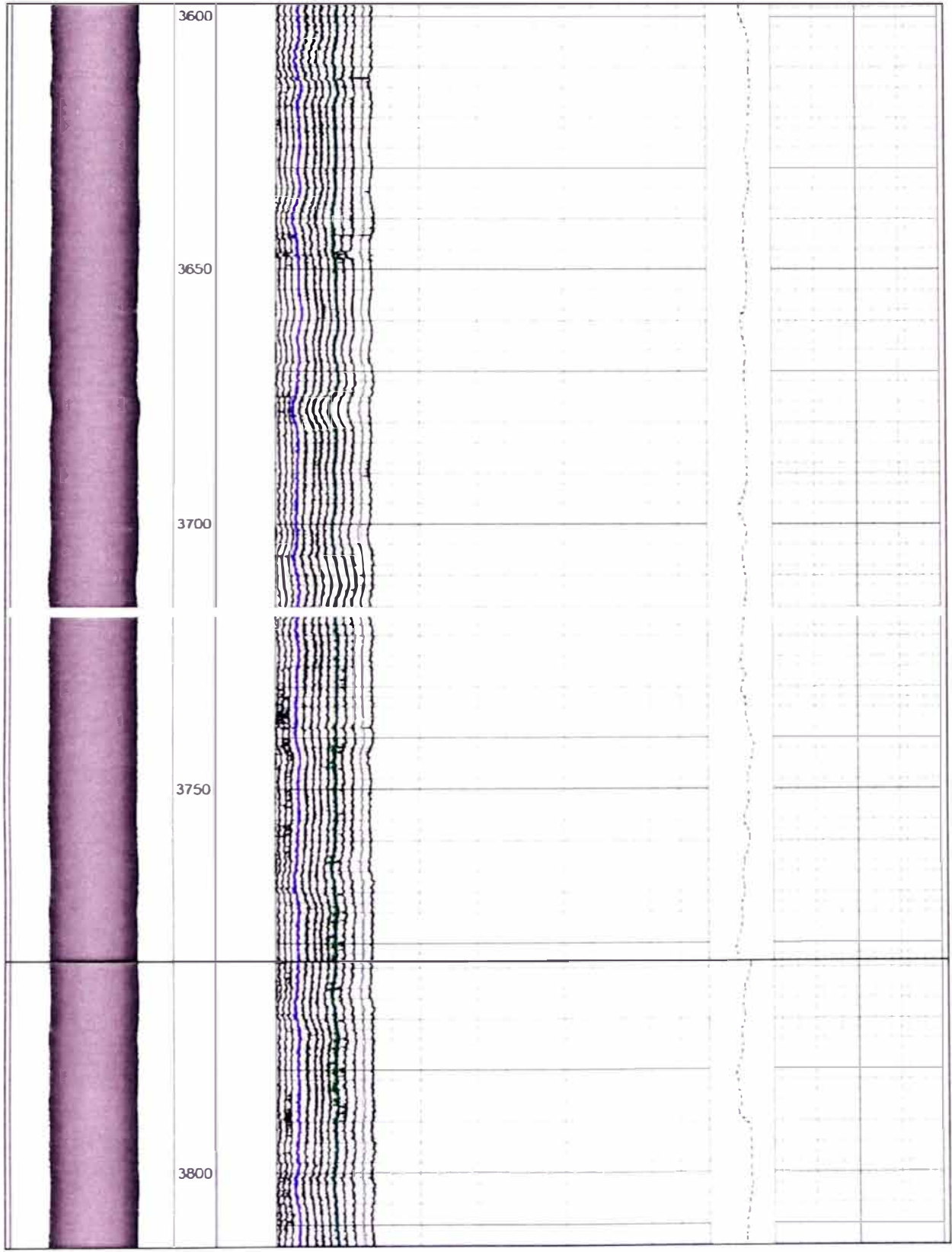
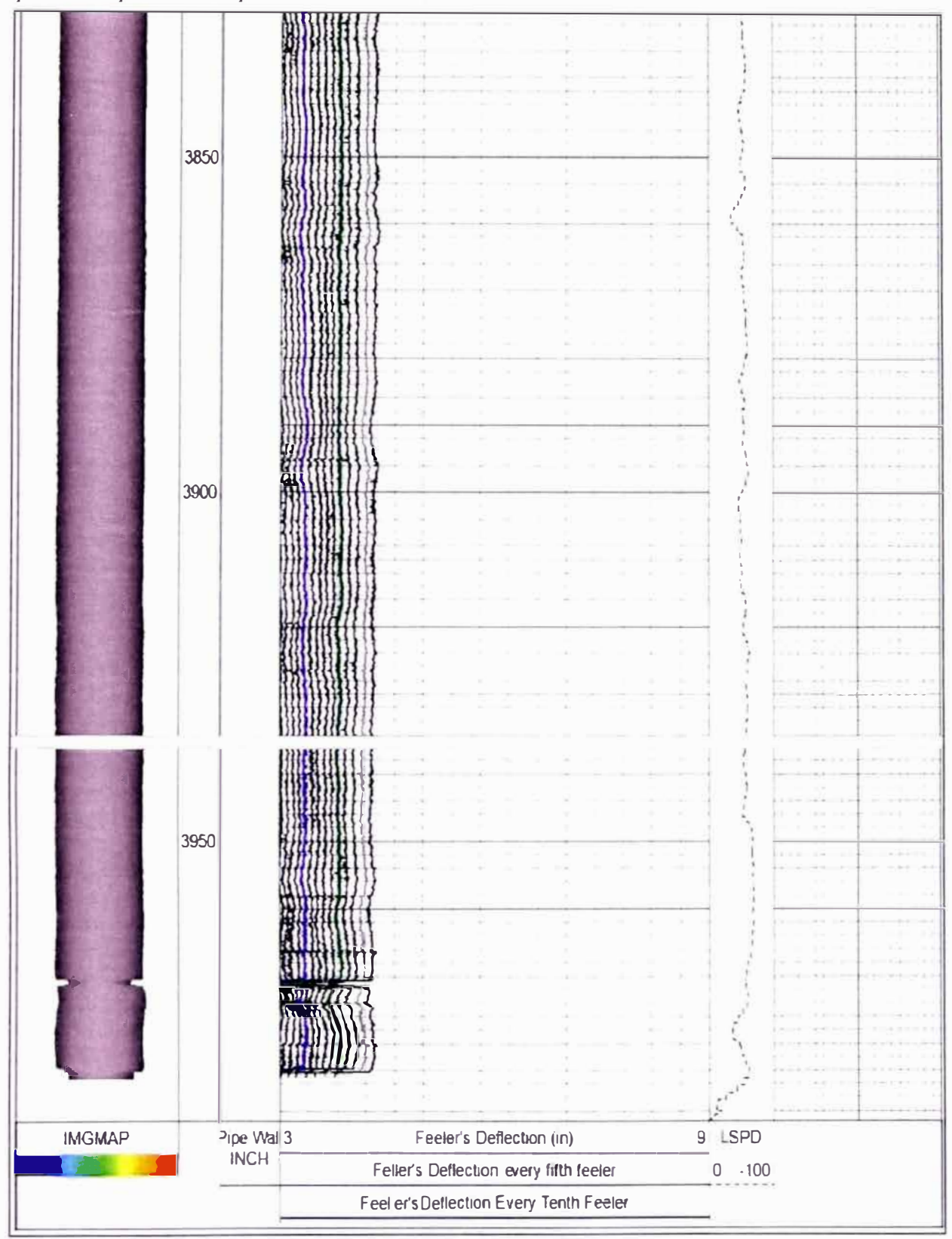


Figura 57 (continua). Impresión rápida en campo – Pozo MO-02 (MFC-24).



**Tabla 31.** *Tabla completa de tubos en tubería de 4.5 pulgadas con MFC24.* 

	Tope(pies)	Base(pies)	Largo(pies)	Max Pen Prof.(pies)	Max Pen(pulg)	Max Pen(%)	Pen Grado	Max Pérd Prof.(pies)	Max Pérd (%)	PM Grado	Min Diam Prof (pies)	Min Diam (pulg)
1	-3.49	24.03	27.52	12.26	4.205	45.6	С	4.39	5.9	В	19.08	3.389
2	24.41	55.61	31.20	42.68	4.214	47.2	С	55.50	5.9	В	25.04	3.378
3	56.31	86.97	30.67	59.23	4.159	37.1	В	72.34	6.5	В	81.94	3.228
4	87.67	118.57	30.90	90.92	4.215	47.4	С	87. <b>77</b>	5.1	В	96.91	3.308
5	119.27	150.33	31.06	141.97	4.208	46.1	С	137.12	7.7	В	123.32	3.266
6	151.03	181.48	30.45	181.35	4.241	52.2	С	152.19	7.6	В	176.75	2.912
7	182.18	213.70	31.52	182_35	4.184	41.7	С	182.19	4.3	A	187.66	2.931
8	214.33	244.20	29.87	228.41	4.097	25.6	В	228.63	1.7	A	234.55	2.946
9	244.90	275.69	30.79	275.38	4.157	36.7	В	274.87	3.0	A	245 55	3.001
10	276.39	307.38	3100	292.68	4.141	33.8	В	289.28	3.9	A	284.69	3.073
11	308.08	338.43	30.35	308.09	4.130	31.7	В	337.88	1.8	A	330.48	2.957
12	339.13	370.13	31.00	339.13	4.140	33.6	В	339.13	2.1	A	351.41	2.966
13	370.83	401.53	30.70	401.50	4.143	34.1	В	400.18	5.6	В	384.02	2.876
14	402.04	433.08	31.05	409.98	3 991	6.1	A	409.98	0.2	A	428.97	2.939
15	433.78	464.41	30.63	446.13	4.024	12.2	A	446.13	0.5	A	453.72	3.065
16	465.11	495.57	30.47	495.57	4.015	10.5	A	495.57	1.0	A	473.11	3.008
17	496.27	527.25	30.97	527.25	4.070	20.7	В	527.25	4.1	A	498.46	3.043
18	527.95	558 64	30.70	528.33	4.111	28.2	В	528.08	2.3	A	529.73	2.985
19	559.34	590.45	31_11	590.44	4.103	26.8	В	590.44	2.8	A	570.02	3.016
20	591.15	621.92	30.77	621.30	4.175	40.0	С	591.15	3.6	A	593.22	3.062
21	622.62	653.18	30.56	648.82	4.149	35.2	В	652.69	4.9	A	641.60	3.050
22	653.88	684.67	30.79	683.52	4.152	35.8	В	683.96	5.2	В	672.31	2.924
23	685.37	716.13	30.77	685.49	4.135	32.7	В	685.51	4.5	A	690.87	2.864
24	716.83	747.83	31.00	746.56	4.151	35.6	В	717.96	4.9	A	723.11	3.005
25	748.53	778.81	30.28	77 8.45	4.080	22.5	В	778.81	1.4	A	753.43	3.094
26	779.51	810.32	30.81	782.82	4 111	28.2	В	<b>779</b> .77	4.7	A	796.56	3.143
27	811.02	841.26	30.24	811.41	4.133	32.3	В	811.24	4.9	A	839.42	3.125
28	841.96	873.39	31.43	872.93	4.145	34.5	В	872.80	4.1	A	853.70	3.085
29	874.09	905.27	31.18	874.27	4.105	27.1	В	874.22	4.8	A	877.68	3.213
30	905.97	936.60	30.63	907.07	4.156	36.5	В	906.49	5.0	В	910.45	3.249
31	937.30	967.74	30.44	938.01	4.141	33.8	В	937.34	3.8	A	941.85	3 081
32	968.44	999.30	30.86	968.50	4.158	36.9	В	968.50	5.4	В	972.76	3.158
33	1000.00	1030.79	30.79	1020.38	4.142	33.9	В	1030.63	5.9	В	1010.42	3.231
34	1031.49	106234	30.86	1031.53	4.155	36.3	В	1032.73	5.3	В	1033.63	3.186
35	1063.04	1093.39	30.35	1092.63	4.144	34.3	В	1064.56	3.5	A	1069.81	3.027
36	1094.09	1125.50	31.41	1121.80	4.151	35.6	В	1095.17	4.8	A	1104.96	3.138
37	1126.20	1156.99	30.79	1133.77	4.174	39.9	В	1127.41	5.0	В	1147.72	3.286

**Tabla 31 (continua).** *Tabla completa de tubos en tubería de 4.5 pulgadas con MFC24.* 

	Tope(pies)	Base(pies)	Largo(pies)	Max Pen Prof.(pies)	Max Pen(pulg)	Max Pen(%)	Pen Grado	Max Pérd Prof.(pies)	Max Pérd (%)	PM Grado	Min Diam Prof (pies)	Min Diam (pulg)
38	1157.69	1188.43	30.74	1167.88	4.175	40.0	С	1160.72	5.8	В	1168.74	3.248
39	1189.13	1219.60	30.47	1191.88	4.159	37.1	В	1191.88	6.4	В	1214.35	3.242
40	1220.30	1250.88	30.58	1246.55	4.168	38.7	В	1231.24	6.2	В	1226.93	3.343
41	1251.58	1282.69	31.11	1257.59	4.180	41.0	С	1261.54	6.7	В	1256.13	3.222
42	1283.39	1314.41	31.02	1286.48	4.164	38.0	В	1297.93	6.1	В	1289.61	3.437
43	1315.11	1345.78	30.67	1322.82	4.201	44.8	С	1343.73	5.5	В	1319.89	3.287
44	1346.48	1376.98	30.49	1376.38	4.172	39.5	В	1356.56	4.7	A	1361.70	3.325
45	1377.35	1408.25	30.91	1397.36	4.219	48.2	С	1385.53	5.5	В	1404.34	3.289
46	1408.95	1440.30	31.34	1414.00	4.168	38.7	В	1414.00	5.9	В	1412.50	3.447
47	1441.00	1471.65	30.65	1446.19	4.163	37.8	В	1447 56	5.1	В	1445.55	3.375
48	1472.35	1503.09	30.74	1501.26	4.257	55.2	С	1487.58	5.0	A	1473.75	3.211
49	1503.79	1534.60	30.81	1531.31	4.166	38.4	В	1531.31	3.2	A	1519.59	3.314
50	1535.30	1566.00	30.70	1558.02	4.175	40.0	С	1565.03	4.6	A	1538.26	3.336
51	1566.70	1597.39	30.70	1582.47	4.149	35.2	В	1597.37	3.5	A	1577.48	3.313
52	1598.09	1629.11	31.02	1601.50	4.101	26.4	В	1624.93	4.0	A	1606.66	3.302
53	1629.81	1660.58	30.77	1655.67	4.213	47.0	С	1629.99	4.1	A	1660.19	3.329
54	1661.28	1691.95	30.67	1666.67	4.171	39.3	В	1661.28	3.5	A	1662.91	3.294
55	1693.43	1723.39	29.96	1695.82	4.178	40.6	С	1695.14	4.0	A	1695.78	3.293
56	1724.09	1754.81	30.72	1749.52	4.105	27.1	В	1724.57	3.7	A	1725.92	3.395
57	1755.51	1786.30	30.79	1785.42	4.175	40.0	С	1755.99	4.1	A	1760.03	3.344
58	1787.00	1817.77	30.77	1787.50	4.166	38.4	В	1787.12	4.1	A	1807.92	3.388
59	1818.37	1849.28	30.92	1836.72	4.179	40.8	С	1847.87	3.4	A	1833.75	3.375
60	1849.78	1880.95	31.17	1851.05	4.170	39.1	В	1880.39	5.5	В	1868.30	3.416
61	1881.64	1912.28	30.64	1882.50	4.211	46.7	С	1882.50	4.1	A	1910.50	3.377
62	1912.78	1943.45	30.67	1942.36	4.093	24.9	В	1943.16	3.1	A	1925.70	3.244
63	1943.95	1975.14	31.19	1973.10	4.151	35.6	В	1968.59	5.0	В	1957.92	3.348
64	1975.77	2005.41	29.64	1984.71	4.120	29.9	В	1980.90	2.2	A	2003.79	3.444
65	2006.29	2038.01	31.72	2037.26	4.156	36.5	В	2038.01	3.1	A	2018.22	3.480
66	2038.51	2069.47	30.97	2040.32	4.091	24.5	В	2068.54	4.0	A	2044.51	3.504
67	2069.97	2101.38	31.40	2083.86	4.082	22.9	В	2071.48	4.1	A	2097.41	3.589
68	2101.88	2132.80	30.92	2105.65	4.077	22.0	В	2102.97	3.6	A	2131.27	3.514
69	2133.30	2164.08	30.78	2162.49	4.117	29.3	В	2134.78	4.3	A	2160.62	3.536
70	2164.58	2195.73	31.15	2171.90	4.130	31.7	В	2195.33	4.6	A	2180.19	3.435
71	2196.23	2227.26	31,03	2222.56	4.108	27.7	В	2227.12	4.7	<b>A</b>	2211.56	3.568
72	2227.76	2258.52	30.76	2238.92	4.098	25.8	В	2230.61	3.8	A	2238.68	3.570
73	2259.02	2290.17	31.15	2262.65	4.108	27.7	В	2261.78	4.1	A	2271.37	3.578
74	2290.67	2321.43	30.76	2300.09	4.101	26.4	В	2314.34	3.4	A	2310.63	3.577
75	2321.93	2352.82	30.90	2331.55	4.081	22.7	В	2351.57	3.6	A	2342.39	3.549
76	2353.32	2384.61	31.29	2356.98	4.077	22.0	В	2384.20	3.8	A	2357.92	3.543

**Tabla 31 (continua).** *Tabla completa de tubos en tubería de 4.5 pulgadas con MFC24.* 

	Tope(pies)	Base(pies)	Largo(pies)	Max Pen Prof.(pies)	Max Pen(pulg)	Max Pen(%)	Pen Grado	Max Pérd Prof.(pies)	Max Pérd (%)	PM Grado	Min Diam, Prof (pies)	Min Diam (pulg)
77	2385.11	2415.85	30.73	2393.40	4.100	26.2	В	2385.62	4.6	A	2411.33	3.565
78	2416.35	2447.40	31.06	2418.87	4.091	24.5	В	2447.26	4.5	A	2431.82	3.534
79	2447.90	2478.94	31.03	2476.14	4.125	30.8	В	2449.45	5.2	В	2451.04	3.522
80	2479.44	2510.50	31.06	2498.40	4.063	19.4	A	2509 58	4.6	A	2488.96	3.545
81	2511.00	2541.94	30.94	2526.93	4.087	23.8	В	2541.35	4.0	A	2527.48	3.577
82	2542.44	2573.50	31.06	2566.21	4.096	25.5	В	2542.96	4.6	A	2558.49	3.600
83	2574.00	2604.71	30.71	2600.09	4.118	29.5	В	2599.91	4.9	A	2587.27	3.557
84	2605.21	2636.43	31.22	2612.62	4.080	22.5	В	2636.17	4.1	A	2616.27	3.540
85	2636.93	2667.87	30.94	2653.29	4.050	17.0	A	2637.97	2.0	A	2651.94	3.535
86	2 66837	2699.13	30.76	2693.95	4.068	20.3	В	2670.14	3,2	A	2689.00	3.526
87	2699.63	2730.75	31.13	2720.09	4.118	29.5	В	2729.29	4.0	A	2723.62	3.567
88	2731.25	2762.06	30.80	2735.84	4.104	26.9	В	2761.97	4.7	A	2756.28	3.550
89	2762.56	2793.73	31.17	2778.67	4.107	27.5	В	2764.60	3.4	A	2773.55	3.555
90	2794.23	2825.29	31.06	2798.31	4.145	34.5	В	2824.48	5.7	В	2808.93	3.586
91	2825.79	2856.64	30.85	2829.79	4.078	22.1	В	2826.74	5.6	В	2846.80	3.551
92	2857.14	2888.19	31.05	2873.37	4.090	24.4	В	2887.79	5.4	В	2879.59	3.518
93	2888.69	2919.70	31.02	2900.82	4.111	28.2	В	2889.48	4.5	A	2909.60	3.567
94	2920.20	2950.88	30.68	2946.57	4.084	23.2	В	2920.54	4.1	A	2933.24	3.520
95	2951.38	2982.61	31.23	2971.89	4.092	24.7	В	2982.34	4.6	A	2972.28	3.520
96	2983.11	3013.98	30.87	2983.51	4.090	24.4	В	2983.51	5.6	В	2991.26	3.557
97	3014.48	3045.63	31.15	3026.17	4.094	25.1	В	3015.67	4.4	A	3020.70	3.431
98	3046.13	3076.89	30.76	3064.13	4.139	33.4	В	3064.13	5.0	В	3069.84	3.669
99	3077.39	3108.33	30.95	3085.87	4.084	23.2	В	3100.52	4.2	A	3091.07	3.547
100	3108.83	3139.46	30.62	3118.22	4.120	29.9	В	3132.94	5.3	В	3121.00	3.605
101	3139.96	3171.12	31.16	3140.35	4.091	24.5	В	3152.61	6.3	В	3145.80	3.613
102	3171.62	3202.74	31.12	3200 28	4.087	23.8	В	3195.60	5.7	В	3202.57	3.658
103	3203.24	3234.30	31.06	3206.97	4.097	25.6	В	3206.28	4.6	A	3208.73	3.660
104	3234.80	3265.37	30.57	3238.79	4.063	19.4	A	3235.46	5.5	В	3264.90	3.859
105	3265.87	3297.15	31.29	3280.96	4.095	25.3	В	3276.75	5.4	В	3279.01	3.849
106	3297.65	3328.63	30.97	3319.81	4.101	26.4	В	3328.22	6.9	В	3305.19	3.803
107	3329.13	3360.23	31.10	3332.08	4.076	218	В	3353.63	3.7	A	3329.18	3.728
108	3360.73	3391.52	30.80	3379.62	4.045	16.1	A	3370.54	5.1	В	3373.43	3.826
109	3392.02	3423.04	31.02	3418.10	4.096	25.5	В	3402.05	6.0	В	3412.66	3.877
110	3423.54	3454.60	31.06	3427.08	4.099	26.0	В	3454.37	5.3	В	3431.44	3.834
111	3455.10	3485.93	30.84	3460.15	4.085	23.4	В	3485.56	5.9	В	3475.99	3.881
112	3486.43	3517.29	30.85	3506.12	4.072	21.0	В	3491.65	6.3	В	3486.80	3.866
113	3517.79	3548.88	31 10	3525.18	4.088	24.0	В	3539.96	5.8	В	3536.23	3.881
114	3549.38	3580.26	30.88	3560.34	4.066	19.9	A	3555.62	5.8	В	3563.50	3.885
115	3580.76	3612,00	31.23	3584,21	4.079	22,3	В	3592,51	4.2	A	3599.86	3.881

**Tabla 31 (continua).** *Tabla completa de tubos en tubería de 4.5 pulgadas con MFC24.* 

	Tope(pies)	Base(pies)	Largo(pies)	Max Pen Prof.(pies)	Max Pen(pulg)	Max Pen(%)	Pen Grado	Max Pérd Prof.(pies)	Max Pérd (%)	PM Grado	Min Diam' Prof (pies)	Min Diam (pulg)
116	3612.50	3643.06	30.57	3627.35	4.063	19.4	A	3618.64	5.1	В	3620.64	3.895
117	3643.56	3674.78	31.22	3654.98	4.062	19.2	A	3648.73	5.5	В	3646.67	3.849
118	3675.28	3706.05	30.77	3688.46	4.104	26.9	В	3705.68	5.9	В	3690.58	3.881
119	3706.55	3737.84	31.29	3733.73	4.065	19.7	A	3733.79	6.0	В	3737.15	3.876
120	3738.34	3768.88	30.54	3751.40	4.057	18.3	A	3751.62	5.8	В	3757.04	3.886
121	3769.38	3800.60	31.22	3773.26	4.116	29.2	В	3778.40	6.3	В	3789.68	3.869
122	3801.10	3831.97	30.87	3818.00	4.059	18.6	A	3821.77	5.5	В	3820.47	3.881
123	3832.47	3863.29	30.83	3833.00	4.072	21.0	В	3862.78	4.9	A	3839.97	3.855
124	3863.79	3894.96	31.16	3880.91	4.073	21.2	В	3894.77	6.2	В	3864.81	3.891
125	3895.46	3926.32	30.87	3909.65	4.071	20.8	В	3900.80	6.6	В	3896.63	3.885
126	3926.82	3957.94	31.12	3939.57	4.081	22.7	В	3939.14	6.1	В	3948.39	3.884
127	3958.44	3970.53	12.08	3968.65	4.058	18.5	A	3965.12	6.0	В	3961.48	3.884
128	3971.72	3982.91	11.18	3978.80	4.069	20.5	В	3978.80	7.5	В	3971.96	3.800